



ใบรับรองวิทยานิพนธ์
บัณฑิตวิทยาลัย มหาวิทยาลัยเกษตรศาสตร์

วิทยาศาสตร์สิ่งแวดล้อม (วิทยาศาสตร์สิ่งแวดล้อม)

ปริญญา

วิทยาศาสตร์สิ่งแวดล้อม

สาขาวิชา

วิทยาลัยสิ่งแวดล้อม

ภาควิชา

เรื่อง การใช้ไคโตซานจากเปลือกหุ้งและไคโตซานเชิงพาณิชย์ในการกำจัดฟอร์มัลดีไฮด์ในสารละลาย

The Utilization of Chitosan from Shrimp Shell and Commercial Chitosan to Remove Formaldehyde from Aqueous Solution

นามผู้วิจัย นางสาวสิริพร เกณม ใจดีพัฒนา

ได้พิจารณาที่นี่ชอบโดย

อาจารย์ที่ปรึกษาวิทยานิพนธ์หลัก

(รองศาสตราจารย์คณิตา ตั้งคณานุรักษ์, วท.ม.)

อาจารย์ที่ปรึกษาวิทยานิพนธ์ร่วม

(รองศาสตราจารย์นิพนธ์ ตั้งคณานุรักษ์, Ph.D.)

ประธานสาขาวิชา

(ศาสตราจารย์เกณม จันทร์แก้ว, Ph.D.)

บัณฑิตวิทยาลัย มหาวิทยาลัยเกษตรศาสตร์รับรองแล้ว

(รองศาสตราจารย์กัญจนा ชีระกุล, D.Agr.)

คณบดีบัณฑิตวิทยาลัย

วันที่ เดือน พ.ศ.

สิงหาคม มหาวิทยาลัยเกษตรศาสตร์

วิทยานิพนธ์

เรื่อง

การใช้ไคโตซานจากเปลือกกุ้งและไคโตซานเชิงพาณิชย์ในการกำจัดฟอร์มัลดีไฮด์ในสารละลาย

The Utilization of Chitosan from Shrimp Shell and Commercial Chitosan to Remove Formaldehyde
from Aqueous Solution

โดย

นางสาวสิริพร เกษมโขติพัฒน์

เสนอ

บัณฑิตวิทยาลัย มหาวิทยาลัยเกษตรศาสตร์

เพื่อความสมบูรณ์แห่งปริญญาวิทยาศาสตร์มหาบัณฑิต (วิทยาศาสตร์สิ่งแวดล้อม)

สิงหาคม พ.ศ. 2554

สิริพร เกณฑ์พัฒนา 2554: การใช้ไคโตซานจากเปลือกหุ่งและไคโตซานเชิงพาณิชย์ในการกำจัดฟอร์มัลดีไฮด์ในสารละลาย ปริญญาวิทยาศาสตร์บัณฑิต (วิทยาศาสตร์สิ่งแวดล้อม) สาขาวิทยาศาสตร์สิ่งแวดล้อม วิทยาลัยสิ่งแวดล้อม อาจารย์ที่ปรึกษาวิทยานิพนธ์หลัก: รองศาสตราจารย์คณิตา ตั้งคณานุรักษ์, วท.ม. 101 หน้า

งานวิจัยนี้มีวัตถุประสงค์เพื่อศึกษาการใช้ไคโตซานในการดูดซับฟอร์มัลดีไฮด์ การศึกษานี้ใช้ไคโตซาน 2 ชนิด คือ ไคโตซานจากเปลือกหุ่งและไคโตซานเชิงพาณิชย์ ปัจจัยที่มีผลต่อการดูดซับฟอร์มัลดีไฮด์ที่ทำการศึกษา ได้แก่ พีอช (3-9) ความเร็วรอบการเบ่า (50-200 รอบต่อนาที) ระยะเวลาเบ่า (10-120 นาที) ระยะเวลาเข้าสู่สภาวะสมดุล (10-120 นาที) และปริมาณตัวดูดซับ (10-50 กรัมต่อลิตร) พบว่า สภาวะที่เหมาะสมของไคโตซานจากเปลือกหุ่ง 5 กรัม คือ ที่พีอชในช่วง 3-9 ความเร็วรอบการเบ่า 50 รอบต่อนาที ระยะเวลาเบ่า 10 นาที ระยะเวลาเข้าสู่สภาวะสมดุล 10 นาที สามารถดูดซับฟอร์มัลดีไฮด์ ในสารละลามาตรฐานฟอร์มัลดีไฮด์ได้ร้อยละ 48.34 และไคโตซานเชิงพาณิชย์ 3 กรัม พบว่า ที่พีอช ในช่วง 3-8 ความเร็วรอบการเบ่า 150 รอบต่อนาที ระยะเวลาเบ่า 60 นาที ระยะเวลาเข้าสู่สภาวะสมดุล 30 นาที สามารถดูดซับฟอร์มัลดีไฮด์ในสารละลามาตรฐานฟอร์มัลดีไฮด์ได้ร้อยละ 53.10 วิธีการดูดซับแบบแบตช์ของไคโตซานทั้งสองชนิดสอดคล้องกับไออกโซเทอร์มของแลงเมียร์ จากการทดลองการดูดซับด้วยวิธีแบบการให้ลดต่อเนื่องโดยใช้อัตราการไหลที่ 80, 120 และ 160 มิลลิลิตรต่อนาที พบว่า ทั้งไคโตซานจากเปลือกหุ่งและไคโตซานเชิงพาณิชย์มีประสิทธิภาพในการดูดซับดีที่สุด ที่อัตราการไหล 80 มิลลิลิตรต่อนาที ไคโตซานจากเปลือกหุ่งและไคโตซานเชิงพาณิชย์เริ่ม慢ดประสิทธิภาพการดูดซับที่ปริมาตรของสารละลามาตรฐานฟอร์มัลดีไฮด์เท่ากับ 2.40 และ 3.20 ลิตรตามลำดับ และ慢ดประสิทธิภาพการดูดซับที่ปริมาตรน้ำทึบเท่ากับ 8.80 และ 9.60 ลิตรตามลำดับ นอกจากนี้ไคโตซานจากเปลือกหุ่งสามารถกำจัดฟอร์มัลดีไฮด์ในน้ำทึบของบริษัท ทีโอซี ไกลคอล จำกัด ได้อย่างมีประสิทธิภาพ (ร้อยละการดูดซับเท่ากับ 97.80)

Siriporn Kasemchotipat 2011: The Utilization of Chitosan from Shrimp Shell and Commercial Chitosan to Remove Formaldehyde from Aqueous Solution. Master of Science (Environmental Science), Major Field: Environmental Science, College of Environment. Thesis Advisor: Associate Professor Kanita Tungkananurak, M.Sc. 101 pages.

The objective of this research is to study the use of chitosan to adsorb formaldehyde. In this study, chitosan from shrimp shell and commercial chitosan have been investigated. Factors influencing formaldehyde adsorption were optimized including pH (3-9), mixing speed (50-200 rpm), shaking time (10-120 min), contact time (10-120 min) and amount of adsorbent (10-50 g/L). Under the optimal condition by 5 g. of chitosan from shrimp shell, pH 3-9, 50 rpm of mixing speed, 10 min of shaking time, 10 min of contact time, 48.34% of the formaldehyde was absorbed and 3 g. of commercial chitosan pH 3-8, 150 rpm of mixing speed, 60 min of shaking time, 30 min of contact time, 53.10% of the formaldehyde was adsorbed. The adsorption of formaldehyde in batch process by both types of chitosan followed Langmuir isotherm. Continuous flow experiment of both chitosan were conducted having wastewater flow rate of 80, 120 and 160 ml/min, respectively on both chitosan. It was found that at flow rate of 80 ml/min. was the best condition to remove formaldehyde by both chitosan. The break through point and exhaustion point of chitosan from shrimp shell and commercial chitosan were found at 2.4 and 3.2 L respectively and 8.80 and 9.60 L respectively. In addition, chitosan from shrimp shell can remove formaldehyde in TOC Glycol Co.,Ltd wastewater effectively (97.80 % adsorption).

Student's signature

Thesis Advisor's signature

/ /

กิตติกรรมประกาศ

วิทยานิพนธ์เล่มนี้สำเร็จลุล่วงด้วยดี ผู้วิจัยขอกราบขอบพระคุณรองศาสตราจารย์คณิตา ตั้งคณาธุรักษ์ ประธานกรรมการที่ปรึกษาที่ได้สละเวลาช่วยเหลือในการวางแผนงานวิจัย ตลอดจนให้ คำปรึกษา คำแนะนำ และตรวจแก้ไขข้อบกพร่องวิทยานิพนธ์จนเสร็จสมบูรณ์ ขอขอบพระคุณรองศาสตราจารย์ ดร. นิพนธ์ ตั้งคณาธุรักษ์ กรรมการร่วมที่ได้กรุณากำหนด คำแนะนำ และตรวจแก้ไขวิทยานิพนธ์ จนสำเร็จลุล่วงด้วยดี

ขอขอบคุณวิทยาลัยสิ่งแวดล้อม มหาวิทยาลัยเกษตรศาสตร์ ที่ได้ให้ความอนุเคราะห์สถานที่ ห้องปฏิบัติการเคมี พร้อมทั้งอุปกรณ์เครื่องมือในการทำวิจัย ขอขอบคุณ โครงการศึกษาวิจัยและพัฒนา สิ่งแวดล้อมแหล่งผักเบี้ย อันเนื่องมาจากพระราชดำริ และบริษัท ทีโอซี ไกลอโอล จำกัด ที่ได้ให้การสนับสนุนด้านทุนในการวิจัยครั้งนี้ ขอขอบคุณ คุณวัชระพงษ์ วรารัมย์ ผู้ช่วยนักวิจัยที่ได้ให้ คำแนะนำ ช่วยเหลือ และอำนวยความสะดวกในการทำวิจัย รวมถึงขอบคุณเพื่อนๆ สิ่งแวดล้อมรุ่น 32 ที่ให้ ความช่วยเหลือและให้กำลังใจในการทำวิจัยครั้งนี้

สุดท้ายนี้ ความดีและประโยชน์อันเนื่องมาจากการวิทยานิพนธ์เล่มนี้ ผู้วิจัยขอขอบคุณพ่อวิทย์ คุณแม่จามาย เกษม โชคพัฒน์ ซึ่งเป็นผู้ที่มีพระคุณอย่างสูงสุดและเป็นนุคคลสำคัญ ที่อยู่เบื้องหลังความสำเร็จในครั้งนี้ ตลอดจนญาติพี่น้องที่เคยเป็นกำลังใจให้กับผู้วิจัยเสมอมา และครูอาจารย์ทุกท่านผู้ที่ประสิทธิ์ประสาทวิชาความรู้มาโดยตลอด

สิริพร เกษม โชคพัฒน์

มีนาคม 2554

สารบัญ

หน้า

สารบัญ	(1)
สารบัญตาราง	(2)
สารบัญภาพ	(5)
คำอธิบายสัญลักษณ์และคำย่อ	(8)
คำนำ	1
วัตถุประสงค์	2
การตรวจเอกสาร	3
อุปกรณ์และวิธีการ	37
อุปกรณ์	37
วิธีการ	38
ผลและวิจารณ์	50
สรุปและข้อเสนอแนะ	86
สรุป	86
ข้อเสนอแนะ	87
เอกสารและสิ่งอ้างอิง	88
ภาคผนวก	90
ประวัติการศึกษา และการทำงาน	101

สารบัญตาราง

ตารางที่	หน้า
1 สมบัติทางกายภาพและทางเคมีของฟอร์มัลดีไฮด์	3
2 อิทธิพลของปริมาณตัวคูดซับต่อร้อยละการดูดซับฟอร์มัลดีไฮด์ด้วยไก่โตชานจากเปลือกถุงและไก่โตชานเชิงพาณิชย์	52
3 อิทธิพลของพีเอชต่อร้อยละการดูดซับฟอร์มัลดีไฮด์ด้วยไก่โตชานจากเปลือกถุงและไก่โตชานเชิงพาณิชย์	53
4 อิทธิพลของความเร็วของการเบ่าต่อร้อยละการดูดซับฟอร์มัลดีไฮด์ด้วยไก่โตชานจากเปลือกถุงและไก่โตชานเชิงพาณิชย์	55
5 อิทธิพลของระยะเวลาเบ่าต่อร้อยละการดูดซับฟอร์มัลดีไฮด์ด้วยไก่โตชานจากเปลือกถุงและไก่โตชานเชิงพาณิชย์	56
6 อิทธิพลของระยะเวลาเข้าสู่ภาวะสมดุลต่อร้อยละการดูดซับฟอร์มัลดีไฮด์ด้วยไก่โตชานจากเปลือกถุงและไก่โตชานเชิงพาณิชย์	58
7 อิทธิพลของความเข้มข้นของสารละลามาตรฐานฟอร์มัลดีไฮด์ที่มีต่อร้อยละการดูดซับฟอร์มัลดีไฮด์ด้วยไก่โตชานจากเปลือกถุงและไก่โตชานเชิงพาณิชย์	59
8 อิทธิพลของปริมาณตัวคูดซับที่มีต่อร้อยละการดูดซับฟอร์มัลดีไฮด์ด้วยไก่โตชานจากเปลือกถุงและไก่โตชานเชิงพาณิชย์	61
9 ความสัมพันธ์ระหว่างปริมาตรสารละลามาตรฐานฟอร์มัลดีไฮด์ที่ไหลแบบต่อน้ำกับร้อยละความเข้มข้นฟอร์มัลดีไฮด์ที่เหลือหลังการดูดซับด้วยไก่โตชานจากเปลือกถุงที่อัตราการไหล 80, 120 และ 160 มิลลิลิตรต่อน้ำที่	68
10 ความสัมพันธ์ระหว่างปริมาตรสารละลามาตรฐานฟอร์มัลดีไฮด์ที่ไหลแบบต่อน้ำกับร้อยละความเข้มข้นที่เหลือของฟอร์มัลดีไฮด์หลังการดูดซับด้วยไก่โตชานเชิงพาณิชย์ที่อัตราการไหล 80, 120 และ 160 มิลลิลิตรต่อน้ำที่	71
11 ประสิทธิภาพการดูดซับฟอร์มัลดีไฮด์ด้วยไก่โตชานจากเปลือกถุงและไก่โตชานเชิงพาณิชย์หลังผ่านการใช้งาน	73
12 ประสิทธิภาพการดูดซับฟอร์มัลดีไฮด์ด้วยไก่โตชานจากเปลือกถุงและไก่โตชานเชิงพาณิชย์หลังผ่านการใช้งาน	74
13 ผลการวิเคราะห์คุณภาพน้ำทึ้งจากบริษัท ทีโอซี ไกลคอล จำกัด	76
14 การดูดซับฟอร์มัลดีไฮด์ในน้ำทึ้งจากท่อชุด 1 (G970) และ ชุด 2 (F1801A) ด้วยไก่โตชานจากเปลือกถุง โดยการทดลองแบบทดสอบ	77

สารบัญตาราง (ต่อ)

ตารางที่	หน้า
15 คุณภาพน้ำเสียจากการดูดซับฟอร์มัลดีไฮด์ในน้ำทึ้งจากห่อจุด 1 (G970) และ จุด 2 (F1801A) หลังการดูดซับด้วยไก่โตชานจากเปลือกถุง โดยทำการทดลองแบบแบบทช'	77
16 การดูดซับฟอร์มัลดีไฮด์ในน้ำทึ้งจากห่อจุด 1 (G970) และ จุด 2 (F1801A) จังหวัดระยอง ด้วยไก่โตชานเชิงพาณิชย์ โดยทำการทดลองแบบแบบทช'	78
17 คุณภาพน้ำเสียจากการดูดซับฟอร์มัลดีไฮด์ในน้ำทึ้งจากห่อจุด 1 (G970) และ จุด 2 (F1801A) หลังการดูดซับด้วยไก่โตชานเชิงพาณิชย์ โดยทำการทดลองแบบแบบทช'	79
18 คุณภาพน้ำทึ้งจากบริษัท ทีไอซี ไกลคอล จำกัด หลังการดูดซับด้วยไก่โตชานจากเปลือกถุง โดยทำการทดลองแบบคลัมมน์ต่อเนื่องที่อัตราการไหล 80 มิลลิลิตรต่อนาที	84
19 คุณภาพน้ำทึ้งจากบริษัท ทีไอซี ไกลคอล จำกัด หลังการดูดซับด้วยไก่โตชานเชิงพาณิชย์ โดยทำการทดลองแบบคลัมมน์ต่อเนื่องที่อัตราการไหล 80 มิลลิลิตรต่อนาที	85

ตารางผนวกที่

1 ความสัมพันธ์ระหว่างร้อยละการดูดซับสารละลายน้ำตราชูนฟอร์มัลดีไฮด์ของไก่โตชานจากเปลือกถุงและค่าพีเอช	91
2 ความสัมพันธ์ระหว่างร้อยละการดูดซับสารละลายน้ำตราชูนฟอร์มัลดีไฮด์ของไก่โตชานเชิงพาณิชย์และค่าพีเอช	91
3 ความสัมพันธ์ระหว่างร้อยละการดูดซับฟอร์มัลดีไฮด์ของไก่โตชานจากเปลือกถุงและ ความเร็วของการเขย่า	92
4 ความสัมพันธ์ระหว่างร้อยละการดูดซับฟอร์มัลดีไฮด์ของไก่โตชานเชิงพาณิชย์และความเร็วของการเขย่า	92
5 ความสัมพันธ์ระหว่างร้อยละการดูดซับฟอร์มัลดีไฮด์ของไก่โตชานจากเปลือกถุง และระยะเวลาเขย่า	93
6 ความสัมพันธ์ระหว่างร้อยละการดูดซับฟอร์มัลดีไฮด์ของไก่โตชานเชิงพาณิชย์ และระยะเวลาเขย่า	93
7 ความสัมพันธ์ระหว่างร้อยละการดูดซับฟอร์มัลดีไฮด์ของไก่โตชานจากเปลือกถุงและระยะเวลาเข้าสู่ภาวะสมดุล	94
8 ความสัมพันธ์ระหว่างร้อยละการดูดซับฟอร์มัลดีไฮด์ของไก่โตชานเชิงพาณิชย์ และระยะเวลาเข้าสู่ภาวะสมดุล	94

สารบัญตาราง (ต่อ)

ตารางผนวกที่	หน้า
9 ความสัมพันธ์ระหว่างร้อยละการคูดซับฟอร์มัลเดี้ยอด์ของไก่โตชา南จากเปลือกถุงและความเข้มข้นของฟอร์มัลเดี้ยอด์	95
10 ความสัมพันธ์ระหว่างร้อยละการคูดซับฟอร์มัลเดี้ยอด์ของไก่โตชา南เชิงพาณิชย์และความเข้มข้นของฟอร์มัลเดี้ยอด์	95
11 ความสัมพันธ์ระหว่างร้อยละการคูดซับฟอร์มัลเดี้ยอด์ของไก่โตชา南จากเปลือกถุง และปริมาณไก่โตชา南	96
12 ความสัมพันธ์ระหว่างร้อยละการคูดซับฟอร์มัลเดี้ยอด์ของไก่โตชา南เชิงพาณิชย์และปริมาณไก่โตชา南	96
13 ไอโซเทอร์์มการคูดซับของไก่โตชา南จากเปลือกถุง	97
14 ไอโซเทอร์์มการคูดซับของไก่โตชา南เชิงพาณิชย์	97
15 การคูดซับฟอร์มัลเดี้ยอด์ในน้ำทึบบริษัท ทีไอซี ไกลคอล จำกัด จังหวัดระยองด้วยไก่โตชา南จากเปลือกถุง	98
16 การคูดซับฟอร์มัลเดี้ยอด์ในน้ำทึบบริษัท ทีไอซี ไกลคอล จำกัด จังหวัดระยองด้วยไก่โตชา南เชิงพาณิชย์	98
17 ความสัมพันธ์ระหว่างร้อยละความเข้มข้นฟอร์มัลเดี้ยอด์ในน้ำทึบจากบริษัท ทีไอซี ไกลคอล จำกัด ณ จุดเก็บน้ำที่ 1 (G 970) และจุดเก็บน้ำที่ 2 (F 1801A) กับปริมาตรน้ำทึบหลังการคูดซับด้วยไก่โตชา南จากเปลือกถุง และไก่โตชา南เชิงพาณิชย์แบบคล้มน์ต่อเนื่อง	100

สารบัญภาพ

ภาพที่	หน้า
1 ปฏิกริยาการเตรียมสารละลายฟอร์มัลดีไฮด์จากเมทานอล	5
2 กลไกการเปลี่ยนรูปของฟอร์มัลดีไฮด์	7
3 ขั้นตอนการเคลื่อนย้ายโมเลกุลของตัวถูกคุณชับไปยังตัวคุณชับ	12
4 แรงดึงดูดระหว่างโมเลกุลไม่มีข้าวที่ถูกเหนี่ยวนำให้มีข้าวชั่วคราว	13
5 แรงดึงดูดระหว่างโมเลกุลมีข้าวกับโมเลกุลไม่มีข้าวที่ถูกเหนี่ยวนำให้มีข้าวชั่วคราว	14
6 แรงดึงดูดระหว่างโมเลกุลมีข้าว	14
7 การคุณชับของตัวถูกคุณชับบนพื้นผิวตัวคุณชับแบบขั้นเดียว สองขั้น สามขั้น และสี่ขั้น	16
8 การขึ้นเหนี่ยวด้วยแรงกายภาพ	16
9 การเคลื่อนย้ายโมเลกุลตัวถูกคุณชับไปยังตัวคุณชับ	19
10 ไอโซเทอร์มการคุณชับแบบพื้นฐาน	21
11 ไอโซเทอร์มการคุณชับแบบเส้นตรง	22
12 กราฟความชันระหว่าง $\log q$ และ $\log C$	23
13 ไอโซเทอร์มของการคุณชับแบบไม่เชิงเส้นของฟรุนดิช	24
14 แบบจำลองพื้นผิวตัวคุณชับของสมการแลงเมียร์	25
15 การคุณชับของแลงเมียร์เมื่อตัวถูกคุณชับถูกคุณชับจนอิ่มตัว	25
16 ไอโซเทอร์มการคุณชับแบบเชิงเส้นของแลงเมียร์	26
17 ไอโซเทอร์มการคุณชับแบบไม่เชิงเส้นของเบท	27
18 ไอโซเทอร์มการคุณชับแบบเชิงเส้นของเบท	28
19 ลักษณะของ break through point	29
20 โครงสร้างทางเคมีของเซลลูโลส ไกติน และ ไคโตซาน	31
21 ไคโตซานเชิงพาณิชย์	41
22 ปฏิกริยาระหว่างฟอร์มัลดีไฮด์กับกรดโคลโนมิทริก	42
23 สารละลายสีม่วงที่ได้จากการเตรียมสารละลายน้ำตาลฟอร์มัลดีไฮด์	43
24 ศึกษาอิทธิพลของพิออกซิเจนต้านทานสารละลายน้ำตาลฟอร์มัลดีไฮด์	44
25 ศึกษาอิทธิพลของความเร็วของการเขย่า	45
26 ศึกษาอิทธิพลของปริมาณของไคโตซานที่เหมาะสม	46
27 การเก็บตัวอย่างน้ำบริษัท ทีไอซี ไกลคอล จำกัด จังหวัดระยอง	48
28 ไคโตซานจากเปลือกหุ้ง	50

สารบัญภาพ (ต่อ)

ภาพที่	หน้า
29 ภาพมาตราฐานของสารละลายฟอร์มัลดีไฮด์	51
30 ความสัมพันธ์ระหว่างปริมาณไคโตซานจากเปลือกหุ้งและไคโตซานเชิงพาณิชย์กับร้อยละการดูดซับฟอร์มัลดีไฮด์	54
31 ความสัมพันธ์ระหว่างค่าพีเอชกับร้อยละการดูดซับฟอร์มัลดีไฮด์ด้วยไคโตซานจากเปลือกหุ้งและไคโตซานเชิงพาณิชย์	54
32 ความสัมพันธ์ระหว่างความเร็วของการเบี่ยงกับร้อยละการดูดซับฟอร์มัลดีไฮด์ด้วยไคโตซานจากเปลือกหุ้งและไคโตซานเชิงพาณิชย์	56
33 ความสัมพันธ์ระหว่างระยะเวลาเข้าสู่ภาวะสมดุลกับร้อยละการดูดซับฟอร์มัลดีไฮด์ด้วยไคโตซานจากเปลือกหุ้งและไคโตซานเชิงพาณิชย์	57
34 ความสัมพันธ์ระหว่างระยะเวลาเข้าสู่สภาวะสมดุลกับร้อยละการดูดซับฟอร์มัลดีไฮด์ด้วยไคโตซานจากเปลือกหุ้งและไคโตซานเชิงพาณิชย์	58
35 ความสัมพันธ์ระหว่างความเข้มข้นของสารละลายน้ำฟอร์มัลดีไฮด์กับร้อยละการดูดซับฟอร์มัลดีไฮด์ด้วยไคโตซานจากเปลือกหุ้งและไคโตซานเชิงพาณิชย์	60
36 ความสัมพันธ์ระหว่างปริมาณไคโตซานกับร้อยละการดูดซับฟอร์มัลดีไฮด์ด้วยไคโตซานจากเปลือกหุ้งและไคโตซานเชิงพาณิชย์	62
37 ไอโซเทอร์มการดูดซับฟอร์มัลดีไฮด์ของแลงเมียร์ด้วยไคโตซานจากเปลือกหุ้ง	63
38 ไอโซเทอร์มการดูดซับฟอร์มัลดีไฮด์ของฟรุนดิชด้วยไคโตซานจากเปลือกหุ้ง	63
39 ไอโซเทอร์มการดูดซับฟอร์มัลดีไฮด์ของแลงเมียร์ด้วยไคโตซานเชิงพาณิชย์	66
40 ไอโซเทอร์มการดูดซับฟอร์มัลดีไฮด์ของฟรุนดิชด้วยไคโตซานเชิงพาณิชย์	66
41 ความสัมพันธ์ระหว่างปริมาตรสารละลายน้ำฟอร์มัลดีไฮด์ที่ไหลผ่านแบบต่อเนื่องกับร้อยละความเข้มข้นที่เหลือของฟอร์มัลดีไฮด์หลังการดูดซับด้วยไคโตซานจากเปลือกหุ้งที่อัตราการไหล 80, 120 และ 160 มิลลิลิตรต่อนาที	70
42 ความสัมพันธ์ระหว่างปริมาตรสารละลายน้ำฟอร์มัลดีไฮด์ที่ไหลผ่านแบบต่อเนื่องกับร้อยละความเข้มข้นที่เหลือของฟอร์มัลดีไฮด์หลังการดูดซับด้วยไคโตซานเชิงพาณิชย์ที่อัตราการไหล 80, 120 และ 160 มิลลิลิตรต่อนาที	73
43 ประสิทธิภาพการดูดซับฟอร์มัลดีไฮด์ด้วยไคโตซานจากเปลือกหุ้งและไคโตซานเชิงพาณิชย์หลังผ่านการใช้งาน	75

สารบัญภาพ (ต่อ)

ภาพที่	หน้า
44 ความสัมพันธ์ระหว่างร้อยละความเข้มข้นฟอร์มัลดีไฮด์ในน้ำทึ้งจากบริษัท ทีโอซี ไกล คอล จำกัด ที่จุดเก็บที่ 1 ในท่อ (G970) กับปริมาตรน้ำทึ้งหลังการดูดซับด้วยไกโคตชาน จากเปลือกถุงแบบคลุมน์ต่อเนื่อง	80
45 ความสัมพันธ์ระหว่างร้อยละความเข้มข้นฟอร์มัลดีไฮด์ในน้ำทึ้งจากบริษัท ทีโอซี ไกล คอล จำกัด ที่จุดเก็บที่ 2 ในท่อ (F1801A) กับปริมาตรน้ำทึ้งหลังการดูดซับด้วยไกโคต ชานจากเปลือกถุงแบบคลุมน์ต่อเนื่อง	81
46 ความสัมพันธ์ระหว่างร้อยละความเข้มข้นฟอร์มัลดีไฮด์ในน้ำทึ้งจากบริษัท ทีโอซี ไกล คอล จำกัด ที่จุดเก็บที่ 1 ในท่อ (G970) กับปริมาตรน้ำทึ้งหลังการดูดซับด้วยไกโคตชาน เชิงพาณิชย์แบบคลุมน์ต่อเนื่อง	82
47 ความสัมพันธ์ระหว่างร้อยละความเข้มข้นฟอร์มัลดีไฮด์ในน้ำทึ้งจากบริษัท ทีโอซี ไกล คอล จำกัด ที่จุดเก็บที่ 2 ในท่อ (F1801A) กับปริมาตรน้ำทึ้งหลังการดูดซับด้วยไกโคต ชานเชิงพาณิชย์แบบคลุมน์ต่อเนื่อง	83
 ภาพผนวกที่	
1 ภาพมาตราฐานของสารละลายฟอร์มัลดีไฮด์ที่ระดับความเข้มข้น 0.5 – 10 มิลลิกรัมต่อลิตร	99

คำอธิบายสัญลักษณ์และคำย่อ

DO	=	Dissolve Oxygen
TDS	=	Total Dissolve Solution
TSS	=	Total Suspended Solids
COD	=	Chemical Oxygen Demand
BOD	=	Biological Oxygen Demand
EC	=	Electrical Conductivity

การใช้ไคโตซานจากเปลือกกุ้งและไคโตซานเชิงพาณิชย์

ในการกำจัดฟอร์มัลดีไฮด์ในสารละลาย

The Utilization of Chitosan from Shrimp Shell and Commercial Chitosan to Remove Formaldehyde from Aqueous Solution

คำนำ

นำทึ้งจากการกระบวนการผลิตของบริษัท ทีโอซี ไกลคอล จำกัด เป็นนำทึ้งที่มีฟอร์มัลดีไฮด์ปนเปื้อนอยู่ ซึ่งเกิดจากการผลิตเอทิลีนออกไซด์ และสารพากเอทิลีนไกลคอล เพื่อใช้เป็นวัตถุดิบในการผลิตพลาสติก เส้นใยสังเคราะห์ และพอลีเอสเทอร์ในอุตสาหกรรมขั้นอื่นๆ ต่อไป ซึ่งในกระบวนการผลิตจะได้ฟอร์มัลดีไฮด์เป็นผลผลอยได้ ดังนั้นในการที่จะปล่อยนำทึ้งลงสู่แหล่งน้ำธรรมชาติจึงจำเป็นที่จะต้องมีการนำบัดนำทึ้งให้ออกในเกณฑ์มาตรฐานก่อน เพราะเนื่องจากฟอร์มัลดีไฮด์ที่ปนเปื้อนนั้นจะมีผลกระทบต่อสิ่งมีชีวิตหลายชนิด ดังนั้นถ้าหากมีการปล่อยนำทึ้งที่มีฟอร์มัลดีไฮด์ลงสู่แหล่งน้ำธรรมชาติจะก่อให้เกิดอันตรายต่อสัตว์น้ำ พืชนาivar และยังเป็นอันตรายต่อมนุษย์ โดยเมื่อสูดดมจะเสบจมูกและหากสัมผัสผิวน้ำจะเป็นระยะเวลานานจะก่อให้เกิดมะเร็งผิวน้ำได้ หากเข้าตาจะทำให้แสบตาและปวดศรีษะ (กรมควบคุมมลพิษ, 2541)

กระบวนการดูดซับเป็นวิธีการหนึ่งที่นิยมนำมาประยุกต์ในการนำบัดนำทึ้ง เนื่องจากเป็นวิธีการที่ง่ายและไม่ต้องมีเทคโนโลยีซับซ้อนมาใช้ในการควบคุมระบบ ทำให้ช่วยลดต้นทุนในการนำบัดอีกด้วย

ในการศึกษาวิจัยครั้งนี้ได้ทำการศึกษาการนำบัดนำทึ้งที่มีสารฟอร์มัลดีไฮด์ปนเปื้อนด้วยวิธีการดูดซับ โดยเลือกใช้วัสดุดูดซับชีวภาพ ได้แก่ ไคโตซาน เพราะเนื่องจากไคโตซาน เป็นวัสดุชีวภาพที่มีสมบัติในการดูดซับ และสามารถนำบัดนำทึ้งได้ โดยไคโตซานที่นำมาใช้ในการศึกษารั้งนี้คือไคโตซานที่เตรียมได้จากเปลือกกุ้ง ซึ่งเป็นของเหลือทั้งจากการผลิตและบริโภคกุ้ง โดยในภาพรวมของประเทศไทยถือได้ว่าประเทศไทยมีความพร้อมและความได้เปรียบด้านวัตถุดิบเปลือกกุ้ง เพราะเนื่องจากประเทศไทยมีศักยภาพในการส่งออกกุ้งแท้แข็งเป็นสินค้าส่งออกอันดับต้นๆ ของโลก ซึ่งถือว่าเป็นการนำทรัพยากรที่มีอย่างล้นเหลือของประเทศไทยมาใช้ประโยชน์ โดยที่การศึกษารั้งนี้มุ่งเน้นศึกษาความเป็นไปได้ในการนำบัดนำทึ้งที่มีฟอร์มัลดีไฮด์ปนเปื้อนโดยใช้ไคโตซานจากเปลือกกุ้งและไคโตซานเชิงพาณิชย์ในการศึกษาสภาพว่าที่เหมาะสมในการดูดซับ โดยวิธีการแบบแบ่งเขต์ในระดับห้องปฏิบัติการและเพื่อเป็นแนวทางในการนำไปประยุกต์ใช้กับนำทึ้งที่มีฟอร์มัลดีไฮด์ปนเปื้อนในระบบนำบัดต่อไป

วัตถุประสงค์

1. เพื่อศึกษาสภาวะที่เหมาะสมในการคัดซับฟอร์มัลดีไซด์ของไก่โตชานจากเปลือกถุงและไก่โตชานเชิงพาณิชย์ในสารละลายฟอร์มัลดีไซด์มาตรฐาน
2. เพื่อเปรียบเทียบประสิทธิภาพในการคัดซับฟอร์มัลดีไซด์ของไก่โตชานจากเปลือกถุงและไก่โตชานเชิงพาณิชย์
3. เพื่อนำสภาวะที่เหมาะสม ในการคัดซับฟอร์มัลดีไซด์ของไก่โตชานจากเปลือกถุงและไก่โตชานเชิงพาณิชย์ที่ได้ มาประยุกต์ใช้ในการคัดซับฟอร์มัลดีไซด์ในน้ำทึ้งจากบริษัทที่โซซี ไกลคอล จำกัด
4. เพื่อศึกษาประสิทธิภาพการคัดซับสารละลายฟอร์มัลดีไซด์มาตรฐาน น้ำทึ้งจากบริษัทที่โซซี ไกลคอล จำกัด โดยผ่านชุดเครื่องกรองประดิษฐ์ที่บรรจุไก่โตชานจากเปลือกถุงและไก่โตชาน เชิงพาณิชย์พร้อมกับการพื้นฟูไก่โตชานจากเปลือกถุงและไก่โตชานเชิงพาณิชย์หลังผ่านการคัดซับ ผ่านชุดเครื่องกรองประดิษฐ์ เพื่อนำกลับมาใช้ใหม่

การตรวจเอกสาร

1. ฟอร์มัลดีไฮด์ (formaldehyde)

1.1 สมบัติทางกายภาพและเคมี (physical and chemical properties)

ฟอร์มัลดีไฮด์เป็นอัลดีไฮด์ตัวหนึ่ง อยู่ในกลุ่มของสารอินทรีย์ที่ระเหยง่าย (volatile organic compounds; VOC_S) ที่อุณหภูมิและความดันปกติจะมีสถานะเป็นแก๊ส ไม่มีสี มีกลิ่นฉุน ซึ่งในทางการค้าส่วนใหญ่ฟอร์มัลดีไฮด์จะอยู่ในรูปของสารละลายน้ำที่เรียกว่า ฟอร์มาลิน ซึ่งมีฟอร์มัลดีไฮด์เป็นองค์ประกอบร้อยละ 37-50 โดยนำน้ำนักสารละลายฟอร์มัลดีไฮด์ไม่เสียหายเมื่อเก็บไว้เป็นเวลานาน โดยจะเกิดกรดฟอร์มิกเพิ่มขึ้นตลอดเวลา ทั้งนี้ขึ้นอยู่กับอุณหภูมิ เมื่อเวลาผ่านไป สารฟอร์มัลดีไฮด์จะลดลง แต่ทำให้เกิดพาราฟอร์มัลดีไฮด์เพิ่มขึ้น ซึ่งจะตกลงกันออกมาน้ำ ดังนั้นจึงมีการเติมสารป้องกันการตกลงกัน โดยใช้เมทานอลในปริมาณร้อยละ 10-15 โดยนำน้ำนักสารละลายฟอร์มัลดีไฮด์ดังนั้นการเติมสารป้องกันการตกลงกันจึงสามารถเก็บสารละลายฟอร์มัลดีไฮด์ได้ที่อุณหภูมิต่ำลง โดยที่สมบัติทางกายภาพและเคมีของฟอร์มัลดีไฮด์ ดังแสดงในตารางที่ 1

ตารางที่ 1 สมบัติทางกายภาพและทางเคมีของฟอร์มัลดีไฮด์

สมบัติ	กายภาพและทางเคมี
สูตรโมเลกุล (molecular form)	CH ₂ O
สูตรโครงสร้าง (structure formula)	
แบบจำลอง (model)	
น้ำหนักโมเลกุล (molecular weight)	30.03 กรัมต่อมोล

ตารางที่ 1 (ต่อ)

สมบัติ	กายภาพและทางเคมี
ลักษณะทั่วไป (characteristic)	แก๊ส ไม่มีสี มีกลิ่นฉุน
การระเบิด (explosion)	lower explosive limit 7.0 % upper explosive limit 73.0 %
ความหนาแน่น (density)	1.0 กรัมต่อลิตร
จุดเดือด (boiling point)	-19.1 องศาเซลเซียส
จุดหลอมเหลว (melting point)	-92 องศาเซลเซียส
จุดวาบไฟ (flash point)	62 องศาเซลเซียส
ชื่ออื่นๆ (synonyms)	Formalin, Formalith, Methaldehyde, Morbicid, Oxomethane, Paraform, Methanal, Methylene oxide, Oxymethylene

ที่มา: Office of Environmental Health Hazard Assessment (2007)

จากตารางที่ 1 จะเห็นได้ว่าฟอร์มัลดีไฮด์มีจุดเดือดที่อุณหภูมิ -19.1 องศาเซลเซียส และจุดหลอมเหลวที่อุณหภูมิ -92 องศาเซลเซียส ซึ่งทำให้เห็นว่าที่อุณหภูมิห้องฟอร์มัลดีไฮด์จะมีสถานะเป็นแก๊ส

1.2 แหล่งกำเนิดฟอร์มัลดีไฮด์

แหล่งกำเนิดฟอร์มัลดีไฮด์แบ่งออกเป็น 2 ประเภท ดังนี้

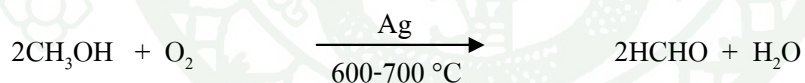
1.2.1 แหล่งกำเนิดฟอร์มัลดีไฮด์จากธรรมชาติ

ฟอร์มัลดีไฮด์เกิดกระบวนการทางธรรมชาติ โดยเกิดขึ้นชั้นบรรยากาศชั้นโตรโพสเพียร์ ระหว่างการเกิดออกซิเดชันของสารประกอบไฮドราต์บน ปฏิกิริยาเกิดขึ้นโดย OH เรติเกิด และโอโซน เกิดเป็นฟอร์มัลดีไฮด์ขึ้น และสุดท้ายจะกลายเป็น CO, CO₂, H₂ และ H₂O ส่วนในน้ำฟอร์มัลดีไฮด์เกิดจากการย่อยสลายของสารอิวมิก (humic) จากการไดร์บแสลงอาทิตย์

1.2.2 แหล่งกำเนิดฟอร์มัลดีไฮด์จากการกิจกรรมของมนุษย์

ฟอร์มัลดีไฮด์ถูกผลิตโดยการออกซิไดซ์เมทานอล ซึ่งเกิดขึ้น 2 วิธี ได้แก่

1) เกิดจากการออกซิไดซ์โดยตัวเร่งปฏิกิริยาที่นิยมใช้ ได้แก่ เงิน (Ag) และทองแดง (Cu) เป็นตัวเร่งปฏิกิริยา ที่อุณหภูมิ 600-700 องศาเซลเซียส ดังแสดงในภาพที่ 1



ภาพที่ 1 ปฏิกิริยาการเตรียมสารละลายฟอร์มัลดีไฮด์จากเมทานอล

ที่มา: Salman *et al.* (2008)

2) เกิดจากการออกซิไดซ์โดยตัวเร่งปฏิกิริยา ซึ่งได้แก่ โลหะออกไซด์ผสมกับโมลิบดินัม(Mo) และวนาเดียม (V) ที่อุณหภูมิ 270-380 องศาเซลเซียส

1.3 การนำฟอร์มัลดีไฮด์ไปใช้ประโยชน์

ฟอร์มัลดีไฮด์สามารถนำไปใช้ประโยชน์ได้หลากหลายด้าน ทำให้ผลิตภัณฑ์ที่ได้จากการใช้ฟอร์มัลดีไฮด์ในกระบวนการผลิตมีมากมาย ดังต่อไปนี้

1.3.1 ใช้ในทางอุตสาหกรรม เช่น การสำหรับผลิตไม้อัด แผ่นผงไม้อัด การผลิตยาง พิล์ม ถ่ายรูป หนัง วัสดุระเบิด สีข้อม เป็นต้น

1.3.2 ใช้ในทางการแพทย์ เช่น นำยาดองศพ ดองเนื้อเยื่อต่างๆ ใช้ในเวชภัณฑ์ ม่าเชื้อโรค เป็นต้น

1.3.3 ใช้ในด้านการเกษตร เช่น ม่าเชื้อโรคในดิน ป้องกันจุลินทรีย์และโรคในพืช เคลือบ ผลผลิตทางการเกษตรเพื่อป้องกันการเน่าเสีย

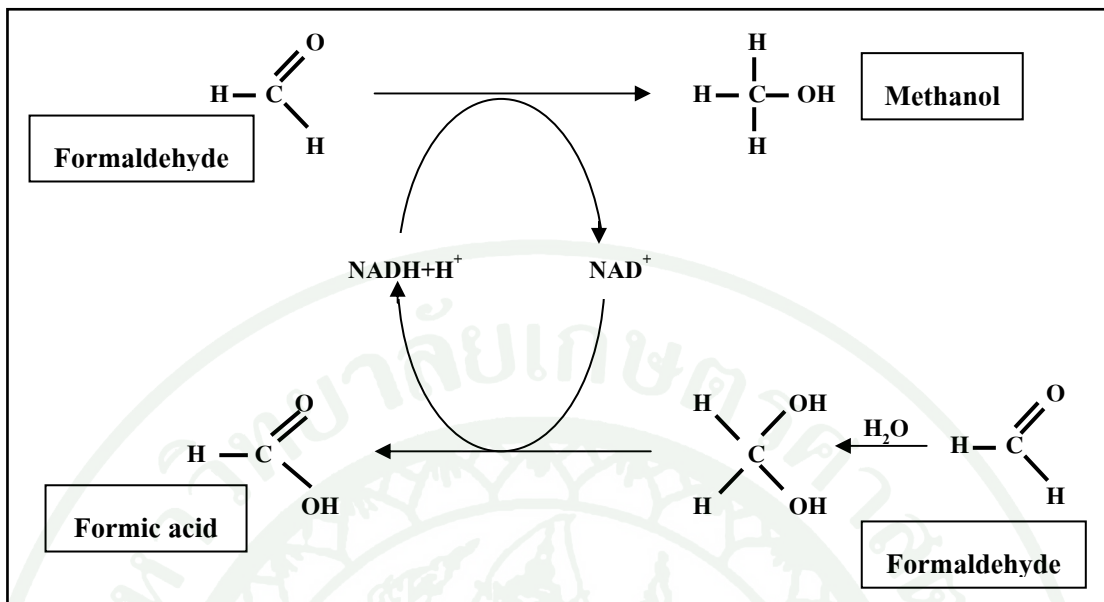
1.3.4 ใช้ผสมวัสดุก่อสร้าง และสิ่งตกแต่งภายใน เช่น ไม้อัดและผลิตภัณฑ์ที่ทำจากไม้อัด ผลิตภัณฑ์กระดาษไฟเบอร์กลาส โฟมที่ใช้ทำลิ้นกันความร้อน ผ้าม่านและพรมปูพื้น ใช้เป็นส่วนผสม ของสารเคลือบพิเศษอ่อนนุ่มนิ่งรักษาในบ้าน เป็นต้น

1.3.5 ใช้เป็นส่วนประกอบในเครื่องสำอางค์ เช่น สารประทินผิว น้ำยาทาเล็บ เป็นต้น

1.3.6 ใช้ประโยชน์ภายในอาหาร โดยทั่วไปจะอยู่ในรูปของฟอร์มาลินที่ใส่ในอาหารสดเพื่อ ป้องกันและยับยั้งความสุดของสัตว์น้ำลดลงอย่างรวดเร็ว โดยเฉพาะอาหารทะเล เนื่องจากชาวประมง บางกลุ่มจะนิยมใช้แซ่สัตว์ทะเลที่จับได้แทนการแซ่เบี้ง เพราะทำให้ประหยัดต้นทุนกว่า นอกจาคนี้ยังพบ ในผักสดและผลไม้ชนิดต่างๆ

1.4 ปฏิกริยาการเปลี่ยนรูปของฟอร์มัลดีไฮด์

ฟอร์มัลดีไฮด์ในน้ำทึ้งจากที่เกิดขึ้นจากโรงงานพลาสติกเรซิโน่ลูกกำจัดด้วยกระบวนการ ทางชีวภาพแบบในสภาวะไม่ใช้ออกซิเจนโดยแบคทีเรีย ผลิตภัณฑ์ที่ได้ คือ เมทานอล และกรดฟอร์มิก ปฏิกริยาที่เกิดขึ้น ดังแสดงในภาพที่ 2



ภาพที่ 2 กลไกการเปลี่ยนรูปของฟอร์มัลดีไฮด์

ที่มา: Chen and Shieh (1985)

1.5 ผลของฟอร์มัลดีไฮด์ต่อมนุษย์

ฟอร์มัลดีไฮด์จะถูกออกซิไดซ์เป็นกรดฟอร์มิกโดยสุดท้ายจะกลายเป็นคาร์บอนไดออกไซด์ ฟอร์มัลดีไฮด์จะทำปฏิกิริยากับโปรตีนและกรดนิวคลีอิก โดยปฏิกิริยาขับกับดีเอ็นเอสายเดี่ยว การออกซิไดซ์ฟอร์มัลดีไฮด์เป็นกรดฟอร์มิกจะมีผลให้มีความเป็นตัวเร่งให้เกิดปฏิกิริยา

ฟอร์มัลดีไฮด์สามารถเข้าสู่ร่างกายได้ 3 ทาง ได้แก่

1.5.1 ทางการหายใจ

การได้รับทางการหายใจโดยสูดลม ที่เข้มข้นฟอร์มัลดีไฮด์ 2-3 มิลลิกรัมต่อลิตร จะเริ่มก่อให้เกิดอาการระคายเคืองของเยื่อบุทางเดินหายใจ มีผลให้เกิดหลอดลม และปอดอักเสบเนื่องจากฟอร์มัลดีไฮด์มีสมบัติในการละลายนำได้ดี จะเกิดการระคายเคือง粘膜 และทางเดินหายใจของมนุษย์

1.5.2 ทางป่าก

เมื่อได้รับฟอร์มัลดีไซด์โดยการรับประทาน จะทำให้เกิดอาการปวดท้องอย่างรุนแรง คลื่นไส้อาเจียน ปัสสาวะไม่ออกทันท่วงที่ กระเพาะส่วนกลาง จนกระแทกทำให้หมดสติและเสียชีวิตได้ภายใน 24-48 ชั่วโมง เมื่อได้รับฟอร์มัลดีไซด์ขนาดปริมาณ 60-90 มิลลิกรัมต่อลิตร เพียงครั้งเดียวทำให้เสียชีวิตได้ในทันที

1.5.3 ทางผิวนัง

การสัมผัสถกับฟอร์มัลดีไซด์ทางผิวนัง จะมีผลทำให้เกิดอาการดังต่อไปนี้

1) อาการเนื้ยบพลัน จะเกิดอาการผิวนังอักเสบ เป็นผื่นแดง จนอาจเป็นพุพอง เมื่อสัมผัสระรู้สึกแบบคันทันที

2) อาการเรื้อรัง ซึ่งจะเกิดหลังจากการที่สัมผัสนานเป็นปี

1.6 ผลกระทบต่อสิ่งมีชีวิตในสิ่งแวดล้อมของฟอร์มัลดีไซด์

ฟอร์มัลดีไซด์ในอากาศมีผลต่อกระบวนการสังเคราะห์แสงของพืช ซึ่งจะเกิดกระบวนการขับยั้งกระบวนการสังเคราะห์แสงของพืช ทำให้พืชมีการสังเคราะห์แสงได้ลดลง ความเข้มข้นของฟอร์มัลดีไซด์สูงสุดที่ยอมรับให้มีในอากาศมีค่าเท่ากับ 0.0016 มิลลิกรัมต่อลิตร

ฟอร์มัลดีไซด์มีผลต่อแบคทีเรียอย่างรุนแรง ทำให้ดินบริเวณโรงงานอุตสาหกรรมซึ่งปนเปื้อนฟอร์มัลดีไซด์ จะพนแบคทีเรียน้อยกว่าบริเวณอื่นๆ

ฟอร์มัลดีไซด์ในน้ำทึบมีความเข้มข้นของฟอร์มัลดีไซด์มากกว่า 0.001 มิลลิกรัมต่อลิตร ซึ่งจะไปยับยั้งการเจริญเติบโตของ microflor และถ้าฟอร์มัลดีไซด์ในน้ำทึบมีความเข้มข้นมากกว่า 500 มิลลิกรัมต่อลิตร จะยับยั้งกระบวนการใช้ออกซิเจนของสิ่งมีชีวิตในน้ำ พบว่าความเข้มข้นที่มีผลทำให้ปลาการ์พตายหมด (LC_{100}) เท่ากับ 0.2 กรัมต่อลิตร ตายร้อยละ 50 (LC_{50}) เท่ากับ 0.1 กรัมต่อลิตร ความเข้มข้นสูงสุดที่ปลาทนได้ เท่ากับ 0.06 กรัมต่อลิตร

1.7 ความเป็นพิษของฟอร์มัลดีไฮด์

1.7.1 การก่อภัยพันธุ์

ฟอร์มัลดีไฮด์เป็นสารที่ก่อให้เกิดการก่อภัยพันธุ์ หรือการเปลี่ยนแปลงทางพันธุกรรม ตัวหนึ่งในปัจจุบัน การทดลองในแมลงวันทองแบคทีเรียและพืชแสดงให้เห็นถึงความสัมพันธ์กัน ระหว่างความเข้มข้นของฟอร์มัลดีไฮด์และการก่อภัยพันธุ์

การที่ฟอร์มัลดีไฮด์มีผลต่อระบบพันธุกรรมของเซลล์ เกี่ยวข้องกับผลกระทบของสารที่เกิดจากปฏิกิริยาระหว่างฟอร์มัลดีไฮด์ และนิวคลีโอไทด์ และ depurination ของ DNA

1.7.2 การทำให้เกิดพิษ

จากการศึกษาความเป็นพิษเฉียบพลันของฟอร์มัลดีไฮด์ร่วมกับ dimethyl dioxane ต่อ คนงานชาย-หญิง จำนวน 8 คน อายุระหว่าง 19-36 ปี ซึ่งได้รับสารทั้ง 2 ชนิดระหว่างการทำงานพบว่ามีอาการอ่อนเพลีย ปวดหัว วิงเวียน อาเจียน ปวดท้อง และหลังจากนั้นเล็กน้อยจะเกิดอาการระคายเคือง และระบบทางเดินหายใจ

ในการทดลองในหนูหายใจ ฟีโนล และฟอร์มัลดีไฮด์แยกจากกัน โดยแต่ละชนิดมีความเข้มข้น 0.5 มิลลิกรัมต่อลูกบาศก์เมตร เป็นเวลา 4 ชั่วโมงทุกวัน และให้หายใจสารทั้ง 2 ชนิดร่วมกัน โดยแต่ละชนิดมีความเข้มข้น 0.25 มิลลิกรัมต่อลูกบาศก์เมตร เป็นเวลา 4 เดือน พบว่าหนูที่ได้รับสารแต่ละชนิดจะแสดงการได้รับพิษมากกว่าหนูที่ได้รับสาร 2 ชนิดรวมกัน

การทดลองให้สารฟอร์มัลดีไฮด์แก่หนูตัวผู้โดยทางน้ำและทางอากาศพร้อมกัน ที่ความเข้มข้น 2 ระดับ คือ ความเข้มข้นในน้ำ 0.1 และ 0.01 มิลลิกรัมต่อลิตร ความเข้มข้นในอากาศ 0.5 และ 0.025 มิลลิกรัมต่อลูกบาศก์เมตร โดยให้น้ำแก่หนูสัปดาห์ละ 5 ครั้ง เป็นเวลา 6 เดือน และให้อากาศอย่างต่อเนื่องวันละ 4 ชั่วโมง ผลการทดลองพบว่า ปริมาณกรดนิวคลีอิกลดลง

1.8 มาตรการทางกฎหมาย

1.8.1 มาตรฐานน้ำ ประเทศไทยโดยกรมโรงงานอุตสาหกรรมกำหนดความเข้มข้นของฟอร์มัลดีไฮด์ในน้ำทึ่งจากโรงงานอุตสาหกรรมมิค่าไม่เกิน 1.0 มิลลิกรัมต่อลิตร (กรมควบคุมมลพิษ, 2541)

1.8.2 ประเภทสหภาพแห่งสาธารณรัฐสังคมนิยมโซเวียต กำหนดมาตรฐานน้ำคือ

- 1) ปริมาณสูงสุดที่ยอมให้มีได้ในน้ำดื่มและน้ำใช้เพื่อการพักผ่อนหย่อนใจเท่ากับ 0.01 มิลลิกรัมต่อลิตร
- 2) ปริมาณสูงสุดที่ยอมให้มีในแหล่งน้ำที่ใช้ในการประมงเท่ากับ 0.25 มิลลิกรัมต่อลิตร
(กรมควบคุมมลพิษ, 2541)

2. กระบวนการดูดซับ

การดูดซับเป็นปรากฏการณ์ที่สำคัญของกระบวนการทางกายภาพ ชีวภาพ และเคมี การดูดซับได้ถูกนำมาใช้อย่างแพร่หลายในการบำบัดน้ำทิ้ง การดูดซับเป็นความสามารถของสารในการดึงโน้มเลกุล หรือคลออลอยด์ที่อยู่ในแก๊สหรือของเหลวให้มาเกาะจับและติดบนผิว ซึ่งเป็นปรากฏการณ์เคลื่อนย้ายจากของเหลวหรือแก๊สมาข้างผิวของของแข็งที่เป็นส่วนสำคัญของการน้ำ โดยโน้มเลกุล หรือคลออลอยด์ที่เคลื่อนย้ายมาเรียกว่า ตัวถูกดูดซับ (adsorbate) ส่วนของแข็งที่มีผิวเป็นที่เกาะจับของตัวถูกดูดซับ เรียกว่า ตัวดูดซับ (adsorbent) สมบัติที่สำคัญที่สุดของตัวดูดซับ คือ ความพรุน เพื่อเพิ่มพื้นที่สัมผัสภัยใน นอกจากนี้สมบัติอื่นๆ ของตัวดูดซับ เช่น โครงสร้าง การจัดเรียงตัว ขนาด และความสม่ำเสมอ ล้วนมีความสำคัญต่อประสิทธิภาพในการดูดซับ การเลือกตัวดูดซับที่เหมาะสม ทำให้สามารถแยกโน้มเลกุลที่เราต้องการออกมานะ โดยให้ตัวถูกดูดซับบนตัวดูดซับนั้นถูกดูดซับจนอิ่มตัวแล้ว จากนั้นนำมาไล่เอามโน้มเลกุลที่ถูกดูดซับไว้ออกโดยการเปลี่ยนสภาพสมดุล เช่น การเปลี่ยนอุณหภูมิ หรือเปลี่ยนความดัน ทำให้ตัวดูดซับกลับสู่สภาพเดิม และสามารถนำกลับมาใช้ใหม่ได้อีก

การดูดซับจึงเป็นกระบวนการเคลื่อนย้ายของตัวถูกดูดซับจากตัวกลางหนึ่งไปสะสมที่พื้นที่ผิวของตัวดูดซับ ซึ่งเกิดขึ้นเมื่อมีการสัมผัสภัยของพื้นผิวระหว่างตัวดูดซับกับตัวถูกดูดซับ โดยที่ตัวถูกดูดซับจะไปเกาะที่ผิวของตัวดูดซับ เช่น พื้นผิวระหว่างของเหลว กับของแข็ง พื้นที่ระหว่างของแข็ง กับแก๊ส พื้นที่ระหว่างของแข็ง กับของแข็ง และพื้นที่ระหว่างของเหลว กับของเหลว กระบวนการดูดซับเหล่านี้สามารถเกิดขึ้นเองตามธรรมชาติ เช่น สารอินทรีย์ หรือโลหะถูกดูดซับในดินหรือตะกอนดินในทะเล มหาสมุทร และแม่น้ำ กระบวนการดูดซับที่เกิดขึ้นโดยมนุษย์ เช่น การใช้ถ่านกัมมันต์ ในการดูดซับเพื่อกำจัดลิ่งปันเปื้อนจากอากาศและน้ำ กระบวนการดูดซับน้ำมีการนำไปประยุกต์ใช้ประโยชน์ ในด้านวิศวกรรมสิ่งแวดล้อมหลายด้านด้วยกัน เช่น การใช้ดินเหนียวดูดซับยาฆ่าแมลงในดิน หรือดูดซับโลหะหนักจากแหล่งฝังกลบ (landfill) เพื่อป้องกันการปนเปื้อนของสารพิษที่จะลงสู่ชั้นน้ำใต้ดิน

การดูดซับมีบทบาทที่สำคัญต่อการเคลื่อนย้าย และการเปลี่ยนรูปของสารเคมีในสิ่งแวดล้อม โดยที่ไม่เลกุลของสารที่ถูกดูดซับจะถูกจำกัดความอิสระในการเคลื่อนย้าย(จะตกร่องกับตัวดูดซับ) เทียบกับไม่เลกุลอิสระส่วนที่ไม่ถูกดูดซับ และไม่เลกุลที่ไม่ถูกดูดซับจะเกิดกระบวนการเปลี่ยนรูปของสารเคมี การย่อylexistyleด้วยแสง หรือการย่อylexistyleด้วยจุลินทรีย์ สามารถเกิดขึ้นได้ง่ายกว่าไม่เลกุลชนิดเดียวกัน แต่ถูกดูดซับบนตัวดูดซับ (นิพนธ์ และคณิตา, 2550)

2.1 กลไกการดูดซับ

กลไกการดูดซับแบ่งเป็น 3 ขั้นตอน ดังนี้

2.1.1 การแพร่ภายนอก (external diffusion) การแพร่ภายนอกเป็นกลไกที่ไม่เลกุลของตัวถูกดูดซับเข้าถึงตัวดูดซับ ซึ่งพื้นที่ผิวของตัวดูดซับมีของเหลวห่อหุ้มโดยไม่เลกุลแทรกผ่านชั้นของของเหลวเข้าถึงผิวน้ำของตัวดูดซับ

2.1.2 การแพร่ผ่านภายใน (internal diffusion) เป็นกลไกซึ่งไม่เลกุลของตัวถูกดูดซับแทรกตัวเข้าถึงช่องว่างตัวดูดซับ เพื่อให้เกิดการดูดซับ

2.1.3 ปฏิกิริยาพื้นผิว (surface reaction) ปฏิกิริยาพื้นผิวเป็นกลไกซึ่งไม่เลกุลของตัวถูกดูดซับดูดติดที่ผิวของตัวดูดซับซึ่งเป็นกระบวนการที่รวดเร็วมาก เมื่อเปรียบเทียบกับกระบวนการแพร่ ดังนั้น คำคำนึงถึงการด้านท่านจากปฏิกิริยาพื้นผิวด้วย

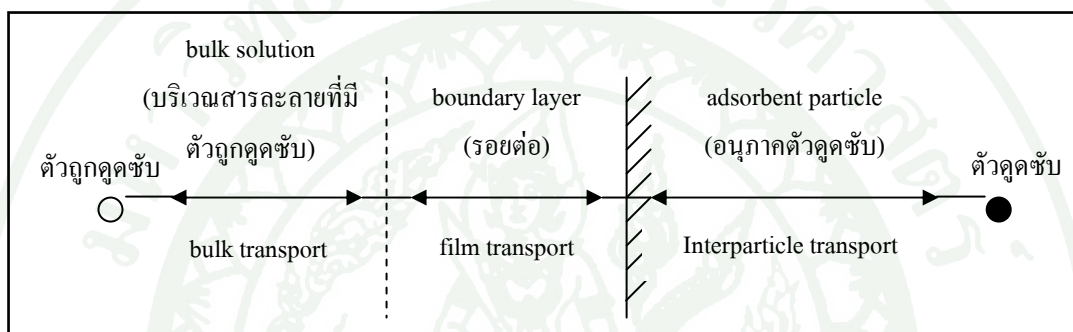
2.2 อัตราการเคลื่อนย้ายไม่เลกุลของตัวถูกดูดซับ

อัตราการดูดซับมีความสำคัญมาก อัตราการดูดซับที่เกิดขึ้นอย่างรวดเร็วจะทำให้ระบบเข้าสู่ภาวะสมดุล ได้เร็ว อัตราการดูดซับจะถูกควบคุมโดยขั้นตอนที่มีการด้านทามากที่สุดในการเคลื่อนย้ายไม่เลกุลซึ่งขั้นตอนที่ชาที่สุดจะเป็นขั้นตอนกำหนดอัตราการดูดซับ ขั้นตอนในการดูดซับแบ่งออกเป็น 3 ขั้นตอนย่อย ดังนี้ และดังภาพที่ 3

2.2.1 การขนส่งอนุภาคน้ำ (bulk transport) เป็นขั้นตอนที่เกิดขึ้นเร็วที่สุด ไม่เลกุลของตัวถูกดูดซับในของเหลวจะถูกส่งไปที่ผิวน้ำของชั้นของของเหลวบางๆ หรือผิวสัมผัสสำหรับที่ห่อหุ้มตัวดูดซับ

2.2.2 การขนส่งชั้นฟิล์ม (film transport) เป็นขั้นตอนที่ไม่เลกุลที่ผิวน้ำชั้นของเหลวบางๆ แทรกตัวเข้าสู่ผิวน้ำของสารคุณภาพ การขนส่งชั้นฟิล์มเป็นกระบวนการที่ตัวถูกคุณภาพแพร่ผ่านฟิล์มน้ำไปยังผิวของตัวคุณภาพ จัดเป็นขั้นตอนที่จำกัดอัตราการคุณิติคิพิวขั้นตอนหนึ่ง

2.2.3 การขนส่งภายในอนุภาค (interparticle transport) เป็นการแพร่ของไมเลกุลตัวถูกละลายเข้าสู่โพรงหรือรูพรุนของสารคุณภาพ (pore diffusion) และทำให้เกิดการคุณภาพขึ้นภายใน ขั้นตอนนี้จัดเป็นขั้นตอนที่จำกัดอัตราการคุณภาพเช่นเดียวกัน



ภาพที่ 3 ขั้นตอนการเคลื่อนย้ายไมเลกุลของตัวถูกคุณภาพไปยังตัวคุณภาพ

ที่มา: นิพนธ์ และคณิตา (2550)

การบีดติดของตัวคุณภาพบนพื้นที่ผิวของตัวคุณภาพจะมีแรงยึดเหนี่ยวเกิดขึ้น ซึ่งอาจเป็นแรงยึดเหนี่ยวทางกายภาพหรือทางเคมีหรือทั้งสองแบบ

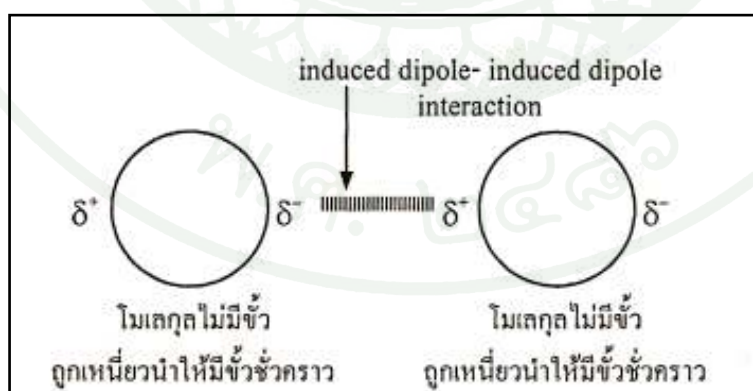
2.3 แรงยึดเหนี่ยวระหว่างไมเลกุล

แรงยึดเหนี่ยวระหว่างไมเลกุลของตัวถูกคุณภาพบนผิวของตัวคุณภาพนั้น อาจเป็นแรงยึดเหนี่ยวระหว่างไมเลกุลแบบทางกายภาพ (physical force) หรือแรงยึดเหนี่ยวระหว่างไมเลกุลแบบทางเคมี (chemical force) หรือในบางกรณีอาจเกิดแรงยึดเหนี่ยวระหว่างไมเลกุลทั้งสองแบบ

2.3.1 แรงยึดเหนี่ยวระหว่างไมเลกุลแบบทางกายภาพที่เกี่ยวกับตัวคุณภาพ ได้แก่ แรงแนวเครื่องวัลส์ (van der waal force) คือ แรงที่ยึดเหนี่ยวไมเลกุล (โควาเลนต์) ให้อยู่ด้วยกัน โดยไมเลกุล (โควาเลนต์) ทุกชนิดทั้งไมเลกุลเมือง และไมเลกุลไมเมือง ต่างมีแรงแนวเครื่องวัลส์ยึดเหนี่ยวระหว่างไมเลกุลกับไมเลกุล เมื่อมวลไมเลกุลเพิ่มขึ้นแรงแนวเครื่องวัลส์จะเพิ่มขึ้น แรงแนวเครื่องวัลส์มี 3 ประเภท ดังนี้

1) แรงแวนเดอร์วัลส์ระหว่างโมเลกุลไม่มีข้า ชื่ngeriy กว่าแรงлонดอน (London force) หรือแรงแผ่กระจาย (dispersion force) เกิดขึ้นได้เนื่องจากอิเล็กตรอนในโมเลกุลเคลื่อนที่อยู่ตลอดเวลา ในขณะใดขณะหนึ่ง กลุ่มหมอกอิเล็กตรอนในโมเลกุลไม่ได้กระจายอยู่อย่างสม่ำเสมอในลักษณะที่สมมาตร แต่จะเคลื่อนที่ไปหนาแน่นด้านใดด้านหนึ่ง ทำให้ด้านนั้นมีข้าไฟฟ้าลงมากขึ้นกว่าปกติ อีกด้านก็จะแสดงอำนาจข้าไฟฟ้าบวก หรือกล่าวได้ว่า ทำให้โมเลกุลนั้นถูกดึงดูดกัน ทำให้โมเลกุลมีข้าช่วงระหว่าง ข้าของโมเลกุลที่เกิดขึ้นนี้จะไปเห็นยานำโมเลกุลข้างเคียง ถ้าโมเลกุล มีข้าหันข้าบวกไปทาง โมเลกุลใดก็จะเห็นยานำให้โมเลกุลนั้นเกิดข้าลงขึ้นทางด้านที่ติดกัน โดยวิธีนี้โมเลกุลจะเกิดการเห็นยานำกันต่อๆ ไปจนเกิดแรงดึงดูดระหว่างโมเลกุลที่มีข้า ที่เกิดจากการเห็นยานำ (induced dipole-induced dipole attraction)

แรงแวนเดอร์วัลส์มีค่าเพิ่มขึ้นตามมวล โมเลกุล เพราะเมื่อ โมเลกุลมีขนาดใหญ่ขึ้น จำนวนอิเล็กตรอนย่อมเพิ่มขึ้นด้วย เมื่ออิเล็กตรอนจำนวนมากไปอยู่หนาแน่นทางด้านใดด้านหนึ่งจะแสดงอำนาจไฟฟ้าลงมาก และด้านตรงข้ามก็จะมีอำนาจข้าไฟฟ้าบวกมากด้วย แรงดึงดูดระหว่างข้าที่เกิดจากการเห็นยานำจึงมีความแข็งแรงมากขึ้นตามไปด้วย นอกจากจำนวนอิเล็กตรอนในโมเลกุลแล้ว รูปร่างของโมเลกุลก็มีส่วนที่จะทำให้แรงแวนเดอร์วัลส์มีความแข็งแรงมากหรือน้อย เป็นต้นว่า ถ้า โมเลกุลไม่ซับซ้อน อิเล็กตรอนจะเคลื่อนที่ไปอยู่หนาแน่นทางด้านใดด้านหนึ่งได้ง่าย การเห็นยานำให้เกิดข้าของโมเลกุลจึงเป็นไปได้ง่าย แต่ถ้าโมเลกุลมีรูปร่างซับซ้อน อิเล็กตรอนที่ถูกเห็นยานำจะเกิดการบดบังกัน สภาพข้าจึงน้อย ทำให้แรงดึงดูดน้อยตามไปด้วย

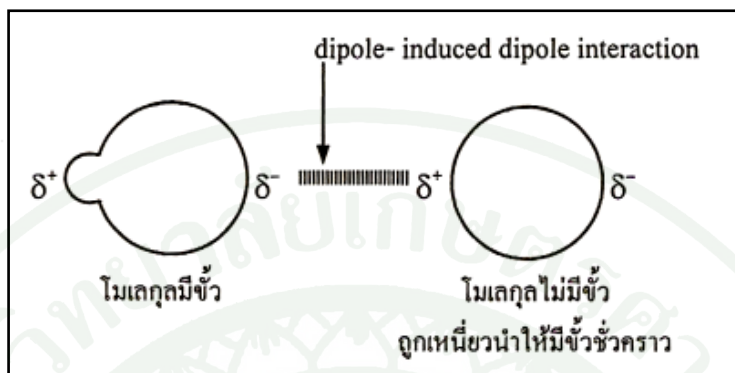


ภาพที่ 4 แรงดึงดูดระหว่างโมเลกุลไม่มีข้า ที่ถูกเห็นยานำให้มีข้าช่วงระหว่าง

ที่มา: นิพนธ์ และคณิตา (2550)

2) แรงแวนเดอร์วัลส์ระหว่างโมเลกุลมีข้ากับ โมเลกุลไม่มีข้า กรณีเช่นนี้เกิดจาก โมเลกุลมีข้าเข้าใกล้ โมเลกุลไม่มีข้า จะเกิดการเห็นยานำทำให้โมเลกุลที่ถูกเห็นยานำถูกดึงดูดกันเป็นโมเลกุล

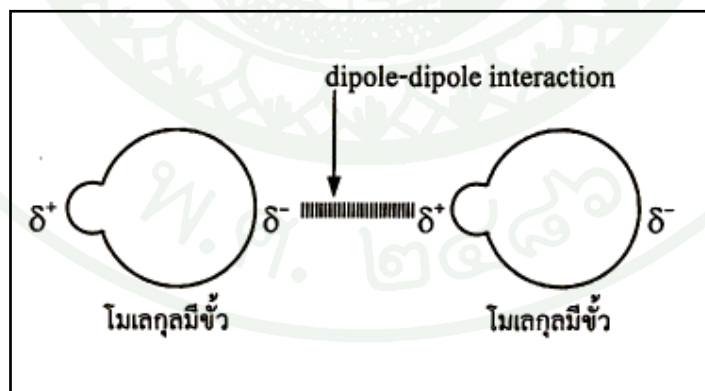
มีข้อตามไปด้วย จึงเกิดแรงดึงดูดระหว่างข้ากับข้าที่เกิดจากการเหนี่ยวนำ (dipole-induced dipole attraction) ดังแสดงในภาพที่ 5



ภาพที่ 5 แรงดึงดูดระหว่างไมเลกุล มีข้า กับ ไมเลกุล ไม่มีข้า ที่ถูกเหนี่ยวนำให้มีข้าชั่วคราว

ที่มา: นิพนธ์ และคณิตา (2550)

3) แรงดูดเครื่องร้าลส์ระหว่างไมเลกุล มีข้า ด้านหนึ่งของไมเลกุลจะแสดงอำนาจของข้าไฟฟ้าบวกและอักด้านหนึ่งแสดงอำนาจของข้าไฟฟ้าลบ ข้าไฟฟ้าบวกกับข้าไฟฟ้าลบ จึงดึงดูดกัน เรียกว่า แรงไดโอล - ไดโอล (dipole-dipole attraction) ดังแสดงในภาพที่ 6



ภาพที่ 6 แรงดึงดูดระหว่างไมเลกุล มีข้า

ที่มา: นิพนธ์ และคณิตา (2550)

ในการปฏิที่ไมเลกุลประกอบด้วยอะตอมของไฮโดรเจนกับอะตอมของชาตุอื่น ที่มีค่า อิเล็กโทรเนกติกวิตีสูง ทำให้เกิดพันธะสภาพมีข้าสูง โดยด้านไฮโดรเจนอะตอมมีสภาพข้าบวกจึง

เกิดแรงดึงดูดกับอิเล็กตรอนคู่ โดยเดี่ยวของอะตอมที่มีอิเล็กโตรเนกติกิตติสูงในโมเลกุลที่อยู่ข้างเคียง แรงยึดเหนี่ยวที่เกิดขึ้นในลักษณะเช่นนี้เรียกว่า พันธะไฮโดรเจน (hydrogen bond)

แรงแวนเดอร์วัลส์ เป็นแรงที่ไม่แข็งแรงนักเมื่อเทียบกับแรงยึดเหนี่ยวชนิดอื่นๆ เช่น การทำลายแรงแวนเดอร์วัลส์ระหว่างโมเลกุลของคลอริน (Cl_2) 1 โมล ใช้พลังงาน 25 กิโลจูล แต่พลังงานที่ต้องใช้เพื่อทำลายพันธะ Cl-Cl ในโมเลกุลคลอรินมีค่าถึง 244 กิโลจูลต่อโมล ความแข็งแรงของแรงแวนเดอร์วัลส์มีค่าระหว่าง 0.01-0.1 ของพันธะโกรวาร์เดนต์ ดังนั้นการดูดซับทางกายภาพสามารถผันกลับคือ เกิดการคายหรือเกิดการคายสารออก (desorption) อันเนื่องจากแรงยึดเหนี่ยว (แรงแวนเดอร์วัลส์) ที่ไม่แข็งแรงระหว่างตัวถูกดูดซับและตัวดูดซับ

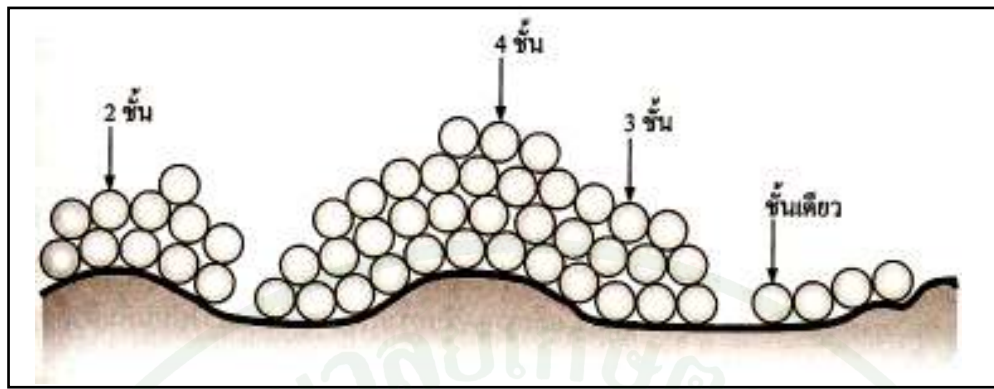
4) แรงยึดเหนี่ยวทางเคมี คือ การสร้างพันธะเคมีระหว่างตัวถูกดูดซับกับตัวถูกดูดซับ ซึ่งอาจเป็นพันธะไฮอนิก (แรงดึงดูดระหว่างไฮอนบวกกับไฮอนลบ) หรือพันธะโกรวาร์เดนต์ การใช้อิเล็กตรอนร่วมกัน โดยเกิดสมดุลทึ่งแรงดูด (อิเล็กตรอนกับโปรตอน) และแรงผลัก (อิเล็กตรอนกับอิเล็กตรอน และโปรตอนกับโปรตอน)

การเกิดปฏิกิริยาเคมีระหว่างตัวถูกดูดซับและตัวดูดซับ มีผลทำให้เกิดสารผลิตภัณฑ์ขึ้น และการดูดซับจะเป็นการดูดซับแบบชั้นเดียว (monolayered) ทำให้ไม่สามารถผันกลับได้ (irreversible process) จึงไม่เกิดการคาย

2.4 รูปแบบของการดูดซับ

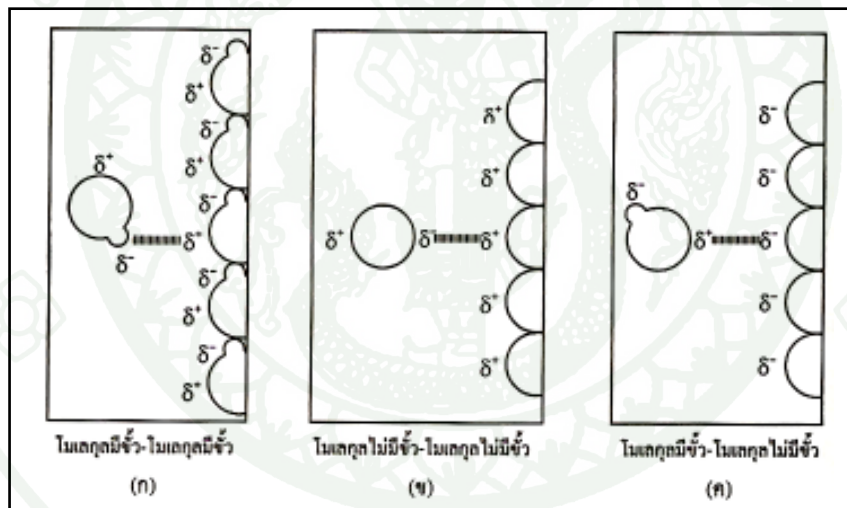
สำหรับรูปแบบของการดูดซับนี้ สามารถแบ่งออกได้เป็น 2 ประเภท คือ

2.4.1 การดูดซับทางกายภาพ (physisorption หรือ physical adsorption หรือ van der waals adsorption) เป็นแรงที่ทำให้เกิดการเกาะ หรือยึดเหนี่ยวระหว่างโมเลกุลของตัวถูกดูดซับกับโมเลกุลที่พื้นผิวน้ำของตัวดูดซับ จัดเป็นแรงดูดค่อนข้างอ่อน เช่น แรงแวนเดอร์วัลส์ แรงไนโอล - ไนโอล และไม่เกิดการเปลี่ยนแปลงสมบัติทางเคมีทั้งของตัวถูกดูดซับ และตัวดูดซับ โดยที่โมเลกุลของตัวถูกดูดซับเกาะอยู่บนผิwtัวดูดซับในลักษณะที่ซ้อนกันเป็นหลายชั้น (multilayered) โดยแต่ละชั้นของโมเลกุลของตัวถูกดูดซับจะถูกดูดซับบนชั้นโมเลกุลที่ถูกซับก่อนหน้านี้ และจำนวนชั้นของโมเลกุลตัวถูกดูดซับจะเพิ่มขึ้น เมื่อความเข้มข้นของตัวถูกดูดซับเพิ่มขึ้น แรงยึดเหนี่ยวระหว่างตัวถูกดูดซับกับตัวดูดซับ และระหว่างตัวถูกดูดซับกับตัวถูกดูดซับด้วยในระหว่างชั้น อาจเป็นแรงแวนเดอร์วัลส์อย่างใดอย่างหนึ่ง การดูดซับทางกายภาพโดยทั่วไปจะเกิดขึ้นที่อุณหภูมิต่ำ ทำให้พลังงานของระบบลดลงเป็นการทำให้ระบบมีความเสถียรมากขึ้น



ภาพที่ 7 การคุณซับของตัวถูกคุณซับบนพื้นผิวตัวคุณซับแบบชั้นเดียว ส่องชั้น สามชั้น และลีชั้น

ที่มา: นิพนธ์ และคณิตา (2550)



ภาพที่ 8 การยึดเหนี่ยวด้วยแรงกายภาพ

หมายเหตุ ภาพ (ก) ลักษณะการคุณซับที่เกิดขึ้นเมื่อไม่เลกุลของตัวถูกคุณซับและตัวคุณซับต่างกันเป็นไม่เลกุลเมื่้าทั้งคู่

ภาพ (ข) ลักษณะการคุณซับที่เกิดขึ้นเมื่อไม่เลกุลของตัวถูกคุณซับและตัวคุณซับต่างกันเป็นไม่เลกุลไม่มีเมื่้าทั้งคู่

ภาพ (ค) ลักษณะการคุณซับที่เกิดขึ้นเมื่อไม่เลกุลตัวถูกคุณซับเป็นไม่เลกุลเมื่้า และไม่เลกุลตัวคุณซับเป็นไม่เลกุลไม่มีเมื่้า

ที่มา: นิพนธ์ และคณิตา (2550)

2.4.2 การดูดซับทางเคมี (chemisorption) จะมีลักษณะเหมือนกับการเกิดปฏิกิริยาเคมี กล่าวคือ จะต้องมีการสร้างพันธะเคมีของตัวถูกดูดซับกับพื้นผิวของตัวดูดซับ การดูดซับทางเคมี มีการถ่ายโอนอิเล็กตรอน (สร้างพันธะ ไอออนิก) หรือการใช้อิเล็กตรอนร่วมกัน (สร้างพันธะ โควาเลนต์) ทำแรงยึดเหนี่ยวค่อนข้างสูงกว่าแรงยึดเหนี่ยวที่เกิดขึ้นในการดูดซับทางกายภาพ มีผลทำให้การดูดซับทางเคมีโดยส่วนใหญ่จะผันกลับไม่ได้ เมื่อเปรียบเทียบกับการดูดซับทางกายภาพที่สามารถจะเกิดการผันกลับได้ภายใต้สภาวะเดียวกัน การดูดซับทางเคมีจะเกิดขึ้นในบริเวณจำเพาะเฉพาะเจาะจง เท่านั้น และโมเลกุลตัวถูกดูดซับจะอยู่บริเวณดังกล่าว จะเป็นแบบชั้นเดียว (monolayer) และเกิดได้ดีที่ อุณหภูมิสูง แต่การดูดซับทางกายภาพเกิดได้ทั่วไปบนพื้นผิwtawดูดซับ

การดูดซับทางกายภาพจะให้พลังงานต่ำ ประมาณ 10 หรือน้อยกว่า 10 กิโลแคลอรีต่้อมูล ของตัวถูกดูดซับ ส่วนการดูดซับทางด้านเคมีจะให้พลังงานสูงโดยประมาณ 20 - 100 กิโลแคลอรีต่้อมูลของ ตัวถูกดูดซับ (นิพนธ์ และคณิตา (2550) อ้างโดย Maron and Prutton (1961))

2.5 ปัจจัยที่มีอิทธิพลต่อการดูดซับ

2.5.1 อัตราการปั่นกวน เพื่อให้มีการดูดติดพิวอาจขึ้นอยู่กับการแพร์ผ่านฟิล์ม หรือการแพร์เข้าสู่ไฟฟ้า ถ้าอัตราการปั่นกวนต่ำ ฟิล์มน้ำซึ่งล้อมรอบสารดูดติดพิวจะมีความหนามากและเป็นอุปสรรคต่อ การเคลื่อนที่ของโมเลกุลของสารถูกดูดติดพิวเข้าไปหาสารดูดติดพิว ดังนั้นการแพร์ผ่านชั้นฟิล์ม เป็นปัจจัยกำหนดอัตราเร็วของการดูดติดพิว ในตรงกันข้าม ถ้าอัตราการปั่นกวนสูง จะเกิดฟิล์มบาง ทำให้ โมเลกุลสามารถเคลื่อนที่ผ่านฟิล์มน้ำเข้าหาสารดูดติดพิวได้รวดเร็วว่าการเคลื่อนที่เข้าไปในรูพรุน ใน การนี้การแพร์ผ่านรูพรุนจะเป็นตัวกำหนดอัตราเร็วในการดูดติดพิว

2.5.2 ขนาดและพื้นที่พิวของสารดูดติดพิว ความสามารถในการดูดติดพิวมีความสัมพันธ์ โดยตรงกับพื้นที่พิวจำเพาะ นั่นคือ สารดูดติดพิวที่มีพื้นที่พิวมากย่อมดูดโมเลกุลของสารถูกดูดติดพิว ได้มากกว่าสารดูดติดพิวที่มีพื้นที่พิวน้อย และอัตราการดูดติดพิวเป็นอัตราส่วนผกผันกับขนาดสารดูดติดพิว เช่น คาร์บอนพง (powder activated carbon, PAC) มีอัตราเร็วในการดูดติดพิวสูงกว่าคาร์บอนแบนด์เกรด (granular activated carbon, GAC)

2.5.3 ขนาดและลักษณะของสารถูกดูดติดพิว ขนาดของสารหรือโมเลกุลมีความสำคัญมาก ต่อการดูดติดพิว ซึ่งส่วนใหญ่เกิดขึ้นในไฟฟ้าของสารดูดติดพิว เช่น คาร์บอน การดูดติดพิวจะเกิดขึ้นได้ดีที่สุดเมื่อสารมีขนาดเล็กกว่าช่องว่างภายในพอดี (พอดีเข้าไปในช่องว่างได้) ทั้งนี้ เพราะว่าแรงดึงดูดระหว่างสารถูกดูดติดพิวและสารดูดติดพิวจะมีค่ามากที่สุด โมเลกุลขนาดเล็กจะถูกดูดเข้าไปในช่องว่างภายในก่อน จากนั้นโมเลกุลขนาดใหญ่กว่าจึงถูกดูดเข้าไปบ้าง อาจกล่าวได้ว่าความสามารถในการดูดติด

ผิวจะแปรผลผันกับขนาดโมเลกุลของตัวถูกดูดติดผิว นั่นคือ เมื่อน้ำหนักโมเลกุลเพิ่มขึ้น ความสามารถในการดูดติดผิวจะลดลง

2.5.4 ความสามารถในการละลายนำของสารถูกดูดติดผิว ความสามารถในการละลายนำของตัวถูกละลายเป็นปัจจัยสำคัญในการดูดติดผิว การดูดติดผิวจะเพิ่มขึ้นเมื่อความสามารถในการละลายนำของตัวถูกละลายในตัวทำละลายลดลง เนื่องจากในการดูดติดผิwtัวถูกละลายจะต้องถูกแยกออกจากตัวทำละลาย ในที่นี้คือ น้ำ ดังนั้นสารที่ไม่ละลายน้ำ หรือละลายได้น้อยจะสามารถถูกดูดติดผิวได้ดี

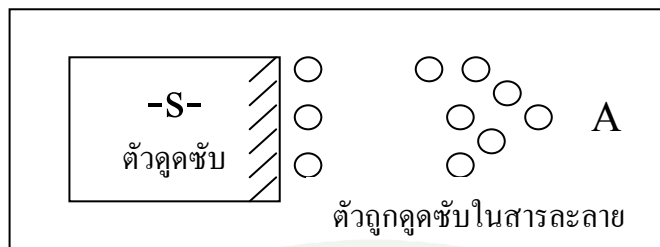
2.5.5 พิอเข้มข้อที่พิสูจน์ต่อการแตกตัวเป็นไอออนและการละลายนำของสารต่างๆ ดังนั้นจึงมีผลกระทบต่อการดูดติดผิวด้วย นอกจากนี้ไอโอดรเจน ไอออนของก็เป็นไอออนที่สามารถเกาะติดผิวของสารดูดติดผิวได้ดี

2.5.6 อุณหภูมิ มีอิทธิพลต่ออัตราเร็วและขีดความสามารถในการดูดติดผิว กล่าวคือ อัตราเร็วเพิ่มขึ้นตามการเพิ่มของอุณหภูมิ และลดลงตามการลดของอุณหภูมิ แต่ขีดความสามารถในการดูดติดผิวจะลดลงที่อุณหภูมิสูงและจะมีค่าเพิ่มขึ้นที่อุณหภูมิต่ำ ทั้งนี้เพราะการดูดติดผิวเป็นปฏิกิริยาแบบกระบวนการการรายความร้อน

2.5.7 เวลาสัมผัส เป็นพารามิเตอร์ที่มีผลต่อประสิทธิภาพของการดูดติดผิว และอายุการใช้งานของถังดูดติดผิว โดยที่เวลาสัมผasmีความสัมพันธ์กับประสิทธิภาพการดูดติดผิวเพียงช่วงหนึ่งเท่านั้น ซึ่งถ้าเวลาสัมผัสเฉลี่ยจากช่วงนี้แล้ว ก็จะไม่มีผลต่อประสิทธิภาพการดูดติดผิวเลย

2.6 สมดุลการดูดซับ (adsorption equilibrium)

เมื่อเดินตัวดูดซับปริมาณหนึ่งลงไปในสารละลายที่มีโมเลกุลตัวถูกดูดซับเข้มข้น ตอนต้นโมเลกุลตัวถูกดูดซับบางส่วนไปเกาะติดกับพื้นผิwtัวดูดซับ เมื่อเวลาผ่านไปจะมีจำนวนโมเลกุลตัวถูกดูดซับไปเกาะติดกับพื้นผิwtัวดูดซับเพิ่มมากขึ้น ในขณะเดียวกัน โมเลกุลตัวถูกดูดซับบางส่วนที่เกาะติดกับพื้นผิวจะหายซับอกมา พนวจว่าอัตราการรายซับจะเกิดน้อยกว่าอัตราการดูดซับ เมื่อปล่อยให้กระบวนการการดูดซับดำเนินไปจนกระทั่งอัตราการดูดซับเท่ากับอัตราการรายซับ ณ สถานะสมดุลของ การดูดซับ จะได้ว่าจำนวนโมเลกุลของตัวถูกดูดซับและจำนวนโมเลกุลตัวถูกดูดซับที่หายซับอกมา มีปริมาณคงที่



ภาพที่ 9 การเคลื่อนข่ายโมเลกุลตัวถูกดูดซับไปยังตัวดูดซับ

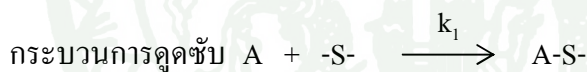
ที่มา: นิพนธ์ และคณิตา (2550)

ให้ A เป็นโมเลกุลของตัวถูกดูดซับ มีความเข้มข้นเริ่มต้นเป็น C_0 ในสารละลายน้ำ

-S- เป็นโมเลกุลของตัวดูดซับ

q เป็นสัดส่วนโมเลกุลตัวถูกดูดซับที่ถูกดูดซับบนพื้นผิวของตัวดูดซับ

(1-q) เป็นสัดส่วนโมเลกุลตัวถูกดูดซับที่ไม่ถูกดูดซับ



r_1 แทนอัตราการดูดซับ ซึ่งจะแปรตามความเข้มข้นของตัวถูกดูดซับในสารละลายน้ำ หรือความเข้มข้นของตัวถูกดูดซับที่เหลืออยู่ในสารละลายน้ำเท่ากับ C และขึ้นแปรตามสัดส่วนโมเลกุลตัวถูกดูดซับบนพื้นผิวของตัวดูดซับ

k_1 แทนค่าคงที่อัตราการดูดซับ

$$r_1 = k_1[C](1-q)$$



r_2 แทนอัตราการราย ซึ่งจะแปรตามสัดส่วนโมเลกุลตัวถูกดูดซับที่ถูกดูดซับบนพื้นผิวของตัวดูดซับเท่านั้น

k_2 แทนค่าคงที่อัตราการราย

$$\text{ณ ສກາວະສມດຸລ} \quad r_1 = r_2$$

$$k_1[C](1-q) = k_2(q)$$

$$\frac{q}{(1-q)} = \frac{k_1}{k_2} [C] = K[C]$$

เมื่อ K เป็นค่าคงที่สมดุลการดูดซับ



ปริมาณตัวถูกคูดซับบนพื้นผิว = ปริมาณตัวถูกคูดซับที่หลุดออกมาก
ของตัวคูดซับ จากตัวคูดซับ

$$qW = V(C_i - C_e)$$

เมื่อ q เป็นปริมาณตัวถูกคูณซับที่ถูกคูณซับบนพื้นผิวของตัวคูณซับต่อมวลตัวคูณซับ หน่วยเป็นปริมาณตัวถูกคูณซับต่อมวลตัวคูณซับเป็นโมลต่อกรัม (mol/kg) หรือ โมลต่อกรัม (mol/g)

W เป็นมวลของตัวคุณซับที่ใช้หน่วยเป็นน้ำหนัก เช่น มิลลิกรัม (mg) กรัม (g) หรือ กิโลกรัม (kg)

V เป็นปริมาตรของสารละลายที่มีตัวถูกดูดซึบละลายอยู่ หน่วยเป็นลูกบาศก์เซนติเมตรหรือคิตร

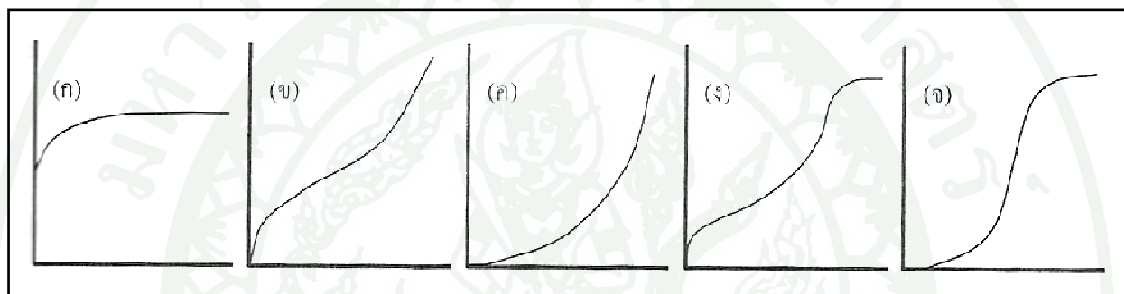
C_i เป็นความเข้มข้นของตัวถูกดูดซับก่อนการดูดซับที่อยู่ในสารละลาย
หน่วยเป็นความเข้มข้นปั๊นในโมลต่อลิตร (mol/l)

C_e เป็นความเข้มข้นของตัวถูกคัดซับที่เหลืออยู่ในสารละลาย หน่วยเป็นความเข้มข้น
เป็นโมลต่อลิตร (mol/l)

2.7 ไอโซเทอร์มของการดูดซับ

ไอโซเทอร์มของการดูดซับ เป็นสมการแสดงความสัมพันธ์ระหว่างปริมาณตัวถูกดูดซับบนพื้นผิวตัวดูดซับต่อปริมาณของตัวดูดซับ (q) กับความเข้มข้นของตัวถูกดูดซับที่เหลืออยู่ในสารละลายน (C) ที่สภาวะสมดุล ณ อุณหภูมิกคงที่

ถ้าเขียนกราฟระหว่างค่า q ในแกนตั้ง และค่า C ในแกนนอนจะได้รูปแบบพื้นฐานของไอโซเทอร์มของการดูดซับ 5 แบบ ดังแสดงในภาพที่ 10



ภาพที่ 10 ไอโซเทอร์มการดูดซับแบบพื้นฐาน

ที่มา: นิพนธ์ และคณิตา (2550) อ้างโดย Maron and Prutton (1961)

จากภาพที่ 10 รูป (ก) จัดเป็นไอโซเทอร์มของการดูดซับที่เกิดขึ้นเป็นแบบชั้นเดียว ส่วนรูป (ข) ถึง (จ) เป็นไอโซเทอร์มของการดูดซับเป็นแบบหลายชั้น

สมการ ไอโซเทอร์มของการดูดซับจะอาศัยแบบจำลองการดูดซับทางคณิตศาสตร์ ในที่นี้จะกล่าวถึง 4 สมการที่นิยมใช้กัน ดังนี้

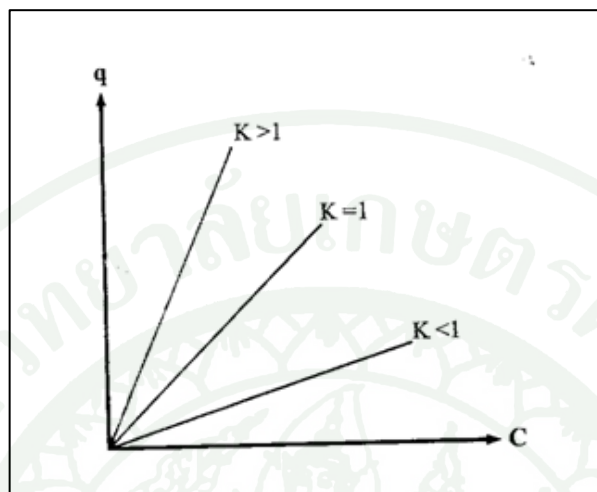
2.7.1 สมการดูดซับแบบเส้นตรง (Linear equation) จัดเป็นสมการเชิงเส้นระหว่างค่า q และ C ตามสมการที่ (2)

$$K = \frac{q}{C}$$

$$\text{จะได้ } q = KC$$

จะเห็นว่าปริมาณตัวถูกดูดซับที่ถูกดูดซับบนพื้นผิวตัวดูดซับ จะแปรตามความเข้มข้นของตัวถูกดูดซับที่เหลืออยู่ในสารละลายนในสภาวะสมดุล โดยกำหนดค่าพื้นที่ผิวของตัวดูดซับมีบริเวณ

ให้ถูกดูดซับแบบไม่จำกัดเรงยีดเห็นี่ยาระหว่างโนเมลกุลตัวดูดซับและตัวถูกดูดซับเป็นแบบเร่งวนเดอร์วอลส์ใช้ได้ดีกับสารละลายที่มีความเข้มข้นของตัวถูกดูดซับต่ำ



ภาพที่ 11 ไอโซเทอร์มการดูดซับแบบเส้นตรง

ที่มา: นิพนธ์ และคณิตา (2550)

$K > 1$ แสดงว่าปริมาณตัวคุณค่าซับ คุณค่าซับไว้ได้มากบนพื้นที่ผิวตัวคุณค่าซับ

$K < 1$ แสดงว่าปริมาณตัวถูกคัดซับ ถูกคัดซับไว้ได้น้อยกว่าบันพืนที่ผิวน้ำคัดซับ

K = 1 แสดงว่าการคุดซับอยู่ในสภาพสมดุล

2.7.2 สมการการคดซับของฟรุนดิช (Freundlich adsorption isotherm) สามารถใช้อธิบาย
ไอโซเทอร์มของการคดซับภายในได้สมมติฐานที่ว่าพื้นที่ผิวของตัวคดซับเป็นแบบวิชพันธ์ (heterogeneous adsorption surface พื้นผิวไม่เป็นเนื้อเดียวกันตลอด) มีรูปแบบของสมการเป็นดังนี้

K และ n เป็นค่าคงที่ของฟรุนดิช (freundlich constant) ของแต่ละระบบที่กำลังศึกษา หรือทดลอง และ n ซึ่งใช้อธิบายลักษณะเส้นกราฟไฮโซเทอร์มของการคัดซับ โดยทั่วๆ ไป n จะมีค่ามากกว่าหนึ่ง

เมื่อจัดรูปสมการที่ (3) ให้อยู่ในรูปสมการเส้นตรง โดยใส่ลอกการทิ่มทั้งสองข้างของสมการจะได้

$$\log q = \log K + \frac{1}{n} \log C \quad \dots \dots \dots \quad (4)$$

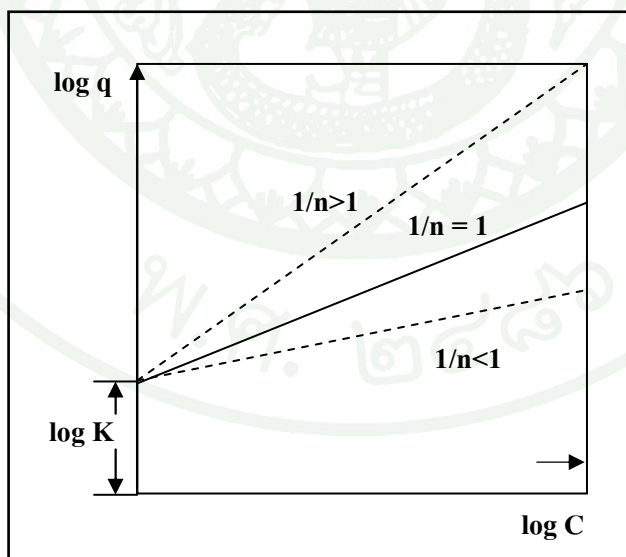
เมื่อ q คือ ปริมาณตัวถูกคัดซับบนพื้นที่ผิวตัวคัดซับต่อปริมาณของตัวคัดซับ (ความสามารถการคัดซับ) (มิลลิกรัมต่อกรัม)

K គីឡូ កំគងទៅការណុបច័ប្រ

$\frac{1}{n}$ คือ ความชันของกราฟ

C คือ ความเข้มข้นที่สภาวะสมดุล (มิลลิกรัมต่อลิตร)

เมื่อเขียนกราฟระหว่าง $\log q$ กับ $\log C$ จะได้กราฟเส้นตรงที่มีความชันเท่ากับ $\frac{1}{n}$ และมีจุดตัด เท่ากับ $\log K$



ภาพที่ 12 กราฟความชันระหว่าง $\log q$ และ $\log C$

ที่มา: นิพนธ์ และอนุตา (2550)

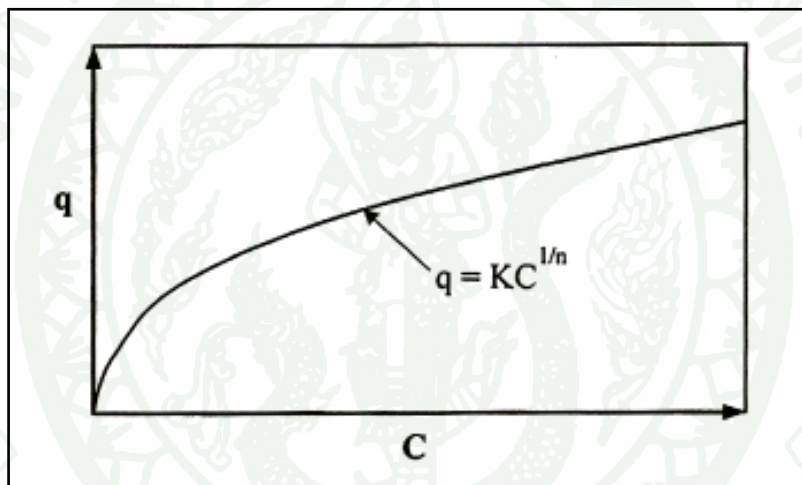
ถ้า $\frac{1}{n} = 1$ ไอโซเทอร์มของการดูดซับเป็นแบบเส้นตรง

ถ้า $\frac{1}{n} < 1$ บอกถึงความสามารถในการดูดซับของตัวดูดซับจะต่ำในทุกค่าของ

ความเข้มข้น C หรือกล่าวว่ามีปริมาณพื้นผิวนบนตัวดูดซับในปริมาณจำกัดในการดูดซับ

ถ้า $\frac{1}{n} > 1$ บอกถึงความสามารถของการดูดซับของตัวดูดซับจะดูดซับได้มาก หรือกล่าวว่าบริเวณพื้นที่ผิวของตัวดูดซับมีปริมาณมากในการดูดซับ

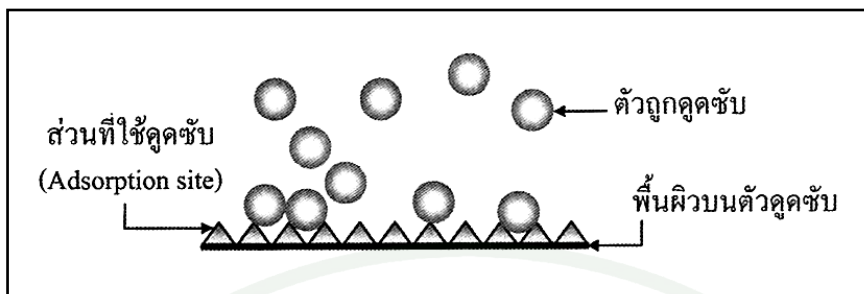
เมื่อเขียนกราฟระหว่างค่า q และ C จากสมการที่ (3) จะไม่สามารถบอกถึงปริมาณของตัวถูกดูดซับถูกดูดซับได้มากสุด เนื่องจากตัวถูกดูดซับสามารถจะเกิดการซ้อนทับกันได้



ภาพที่ 13 ไอโซเทอร์มของการดูดซับแบบไม่เชิงเส้นของฟรุนดิช

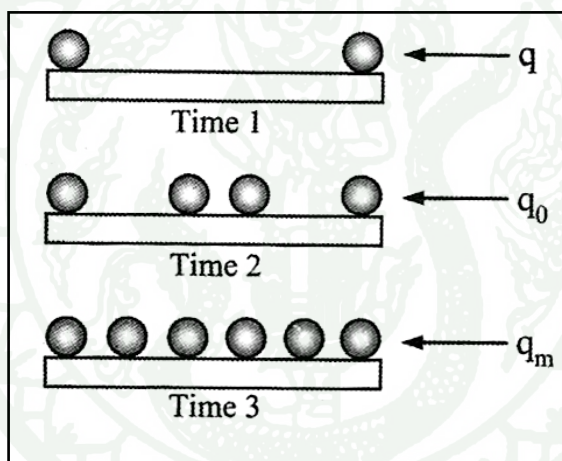
ที่มา: นิพนธ์ และคณิตา (2550)

2.7.3 สมการการดูดซับของลงเมียร์ (langmuir adsorption isotherm) มีข้อกำหนดว่าพื้นผิวนบนตัวดูดซับเป็นแบบเดียวกันหมด (monogeneous adsorption surface) มีกลไกการดูดซับเหมือนกัน การดูดซับของตัวถูกดูดซับบนพื้นผิวของตัวดูดซับเป็นแบบชั้นเดียว ตัวถูกดูดซับจะจัดเรียงตัวเพียงชั้นเดียวบนพื้นผิวตัวดูดซับ โดยที่ไม่เกิดการซ้อนทับกัน พื้นผิวนบนตัวดูดซับจะมีจำนวนจำกัด และเมื่อตัวถูกดูดซับถูกดูดซับไว้แล้วจะไม่มีการเคลื่อนที่ (เคลื่อนย้าย) หรือเปลี่ยนตำแหน่งกันกับตัวถูกดูดซับ อี่นบนพื้นผิwtัวดูดซับ พื้นผิwtัวดูดซับจะถูกปกคลุมด้วยตัวถูกดูดซับมากขึ้น เมื่อความเข้มข้นของสารละลายเพิ่มขึ้น จนมีตัวถูกดูดซับถูกดูดซับจนอิ่มตัว (ถูกดูดซับได้มากที่สุด) ดังแสดงในภาพที่ 13



ภาพที่ 14 แบบจำลองพื้นผิวตัวคุณซับของสมการแลงเมียร์

ที่มา: นิพนธ์ และคณิตา (2550)



ภาพที่ 15 การคัดซับของແລງມീയർເມື່ອຕົວຖານກຄົດຊັບຖານຄົດຊັບຈຳນົມຕົວ

ที่มา: นิพนธ์ และคณิตา (2550)

จากความรู้เรื่องสมดุลการคูณซับ และจากสมการที่ (1) อีกว่าการคูณซับได้มากสุด
เท่ากับหนึ่งรูปแบบของสมการแล่งเมียร์ จะใช้สมการที่ (1) เพียงต้องคูณปริมาณตัวถูกคูณซับที่ถูกคูณซับ^๒
ได้มากสุดต่อปริมาณตัวคูณซับ แทนด้วย q_m ซึ่งจะได้สมการดังนี้

$$q = \frac{q_m KC}{1 + KC} \quad \dots \dots \dots \quad (5)$$

เมื่อจัดรูปสมการที่ (5) ให้อยู่ในรูปสมการเด็นตรง จะได้

$$\frac{1}{q} = \frac{1}{q_m} + \frac{1}{K q_m C} \quad \dots \dots \dots \quad (6)$$

เมื่อ q คือ ปริมาณตัวถูกคูดซับบนพื้นที่ผิวตัวถูกซับต่อปริมาณของตัวถูกซับ^(ความสามารถการคูดซับ) (มิลลิกรัมต่อกรัม)

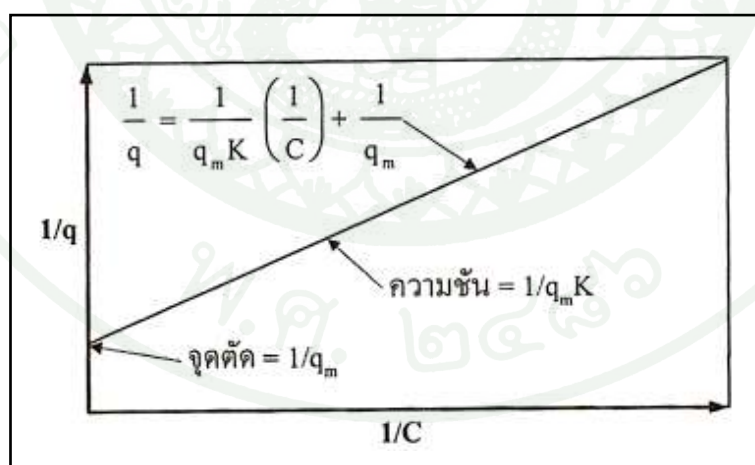
q_m คือ ความสามารถสูงสุดในการดูดซับ (มิลลิกรัมต่อกรัม)

K គីវ ការកំណត់របៀប

C คือ ความเข้มข้นที่สภาวะสมดุล (มิลลิกรัมต่อลิตร)

เขียนกราฟระหว่าง $\frac{1}{q}$ และ $\frac{1}{C}$ จะได้กราฟเส้นตรงมีค่าความชันเท่ากับ $\frac{1}{Kq_m}$ และ

จุดตัดบนแกนตั้งเท่ากับ $\frac{1}{q_m}$ ดังแสดงในภาพที่ 15



ภาพที่ 16 ไอโซเทอร์มการคัดซับแบบเชิงเส้นของแลงเมียร์

ที่มา: นิพนธ์ และอนุตา (2550)

2.7.4 สมการการดูดซับแบบเบต (Brunauer Emmett Teller หรือ BET adsorption isotherm) ถูกพัฒนาขึ้นจากนักวิทยาศาสตร์ชาวอเมริกา 3 ท่าน ในปี ก.ศ.1938 Stephen Brunauer, Paul Emmett และ Edward Teller โดยมีสมมติฐานดังนี้

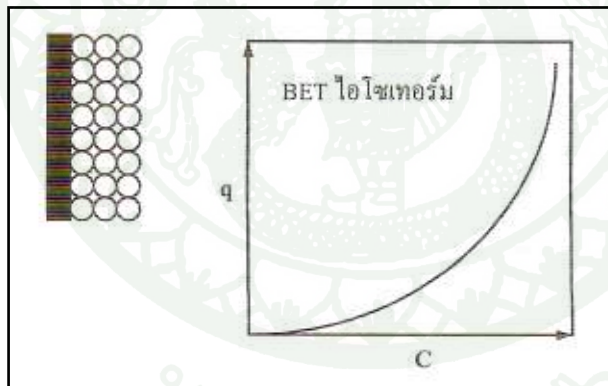
- 1) การดูดซับบนพื้นผิวตัวคูดซับแบบหลายชั้น (multi-layer adsorption)
- 2) ไมมเลกุลที่ถูกดูดซับไม่เกิดการเคลื่อนที่ออกจากพื้นที่ผิวของตัวคูดซับ
- 3) ทุกโมเลกุลในชั้นมีพลังงานของการดูดซับเท่ากัน
- 4) แต่ละชั้นของการดูดซับไม่ต้องการการดูดซับที่สมบูรณ์ก่อนเกิดการดูดซับต่อไป

สมการการดูดซับแบบเบทลูกพัฒนามาจากสมการการดูดซับของแลงเมียร์ มีรูปแบบ

สมการดังนี้

$$q = \frac{q_m K C}{(C_0 - C)[1 + (K-1)C/C_0]} \quad \dots\dots\dots (7)$$

กราฟที่เขียนระหว่าง q กับ C เป็นดังนี้



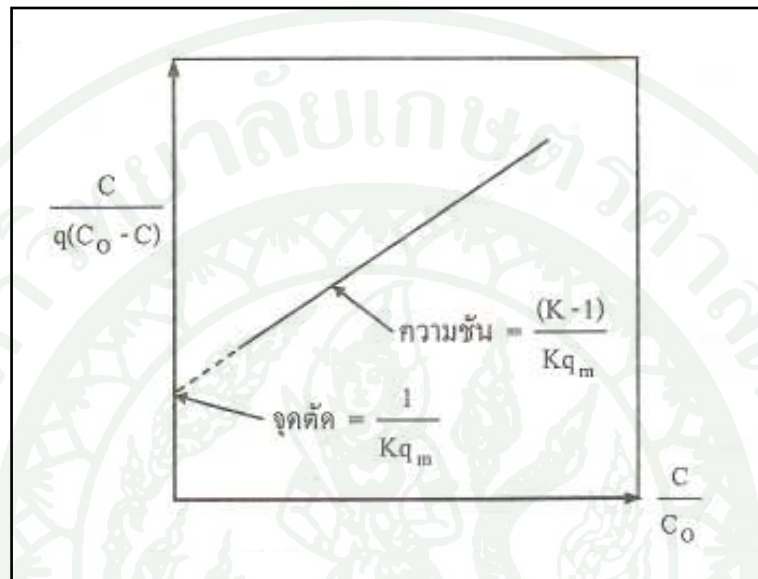
ภาพที่ 17 ไอโซเทอร์มการดูดซับแบบไม่เชิงเส้นของเบท

ที่มา: นิพนธ์ และคณิตา (2550)

เมื่อจัดรูปสมการที่ (7) ใหม่จะได้สมการดังนี้

$$\frac{C}{q(C_0 - C)} = \frac{1}{q_m K} + \frac{(K-1)}{q_m K} \left(\frac{C}{C_0} \right) \quad \dots\dots\dots (8)$$

เมื่อเขียนกราฟระหว่างค่า $\frac{C}{q(C_0 - C)}$ กับ $\frac{C}{C_0}$ จะได้กราฟเส้นตรง มีความชันเท่ากับ $\frac{(K-1)}{Kq_m}$ และจุดตัดบนแกนตั้งเท่ากับ $\frac{1}{Kq_m}$



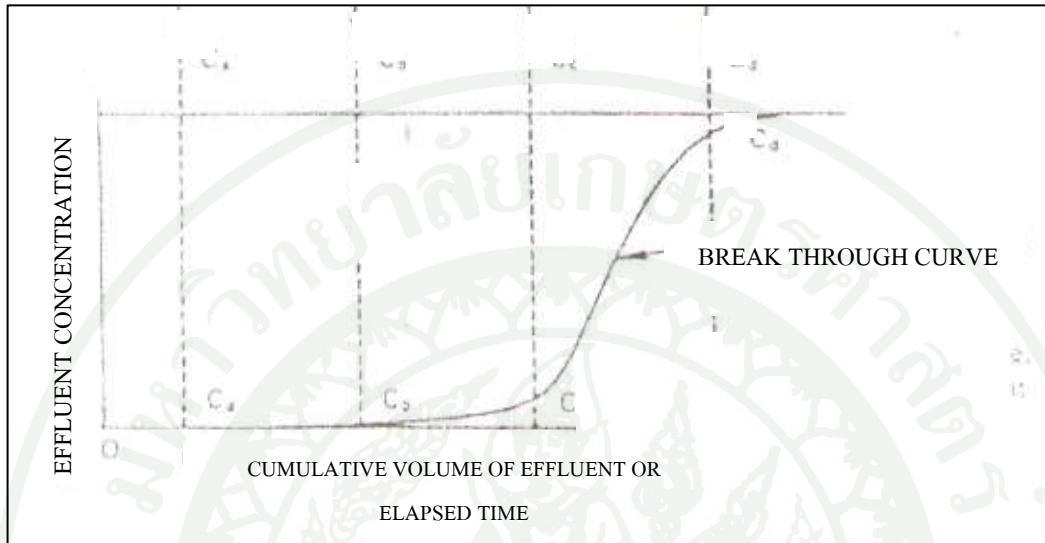
ภาพที่ 18 ไอโซเทอร์มการดูดซับแบบเชิงเส้นของเบท

ที่มา: นิพนธ์ และคณิตา (2550)

จากที่กล่าวมาทั้งหมด พoSรุปได้ว่า สมดุลการดูดซับเป็นการศึกษาถึงความสามารถในการดูดซับของตัวดูดซับ ที่สภาวะสมดุลความสัมพันธ์ระหว่างตัวดูดซับกับตัวภูกดูดซับจะอธิบายด้วยไอโซเทอร์มของการดูดซับ ซึ่งจะบอกด้วยอัตราส่วนปริมาณของตัวภูกดูดซับบนพื้นผิวตัวดูดซับที่เหลืออยู่ในสารละลาย ณ สภาวะสมดุล ที่อุณหภูมิกคงที่ค่าหนึ่ง

การทดลองแบบใหม่ต่อเนื่อง เป็นการทดลองเพื่อหาอายุการใช้งานของตัวดูดซับที่มีความเป็นไปได้ในการดูดซับตัวภูกดูดซับก่อนจะหมดประสิทธิภาพ โดยที่การทดลองแบบคลัมน์ต่อเนื่อง เมื่อตัวภูกดูดซับใหม่ผ่านตัวดูดซับ ตัวดูดซับขึ้นบนจะหมดประสิทธิภาพการดูดซับก่อน และขึ้นของตัวดูดซับที่หมดประสิทธิประสาทิภิภาพจะเพิ่มขึ้นเรื่อยๆตามเวลาการใช้งาน หลังจากนั้นความเข้มข้นจะถึงค่าสูงสุดที่ยอมรับได้ เรียกจุดนี้ว่า จุดเบรคทรูจ (Break Through Point) และเส้นโค้งดังแสดงในภาพที่ 19 เรียกว่า เส้นโค้งเบรคทรูจ (Break Through Curve) โดยเวลาที่นับจากเริ่มต้นการดูดซับจนถึงจุดเบรคทรูจ เรียกว่า เวลาการใช้งาน โดยที่เวลาการใช้งานของตัวดูดซับจะขึ้นอยู่กับพื้นที่ผิวจำเพาะของตัวดูดซับ อัตราการใหม่แบบคลัมน์ต่อเนื่อง และความเข้มข้นของสารที่ภูกดูดซับและเมื่อ

ตัวคุณชับไม่สามารถที่จะคุณชับได้อีก เรียกจุดนี้ว่า จุดที่ตัวคุณชับหมดประสิทธิภาพ (Exhaustion Point) (Clark and Lykins, 1989)



ภาพที่ 19 ลักษณะของ break through point

ที่มา: Sunstorm and Klei (1979)

2.8 สารที่มีความสามารถในการคุณชับอาจแบ่งได้ 5 ประเภท

2.8.1 ประเภทสารอนินทรีย์ เช่น ดินเหนียวชนิดต่างๆ แมgnีเซียมออกไซด์ และแอกติเวเต็ดซิลิกา (zeolite) สารธรรมชาติมักมีพื้นที่ผิวประมาณ 50-200 ตารางเมตรต่อกรัมแต่สารสังเคราะห์อาจมีพื้นที่ผิวจำเพาะสูงมาก อย่างไรก็ตามมีข้อเสีย คือ จับโอมากลหรือคลออลอยด์ได้เพียงไม่กี่ชนิด ทำให้การใช้ประโยชน์จากตัวคุณชับประเภทสารอนินทรีย์มีจำกัดมาก

2.8.2 ถ่านกัมมันต์เป็นตัวคุณชับที่รู้จักกันอย่างแพร่หลาย มีพื้นที่ผิวจำเพาะประมาณ 600-1,000 ตารางเมตรต่อกรัม

2.8.3 ประเภทสารอนินทรีย์สังเคราะห์ ได้แก่ สารแลกเปลี่ยนไอออน (เรซิน, resin) ชนิดพิเศษที่สังเคราะห์ขึ้นเพื่อกำจัดสารอนินทรีย์ต่างๆ สารเรซินเหล่านี้มีพื้นที่ผิวจำเพาะประมาณ 300-500 ตารางเมตรต่อกรัม

2.8.4 วัสดุชีวภาพ (biomaterials) ส่วนใหญ่เป็นวัสดุเหลือใช้ทางด้านการเกษตร เช่น ขี้เลื่อย (sawdust) ไคโตซาน (chitosan) เปลือกกาแฟ กากกาแฟที่ใช้แล้ว กากชาและกากชาเขียวที่ใช้แล้ว พางข้าว (rice straw) เปลือกไม้ (bark) เถ้าแกลงคำ ถ่านจะดันกอกกลม ขูปถ่าย พุทธรักษา ภัณฑ์พืช ภัณฑ์ธรรมชาติ เป็นต้น

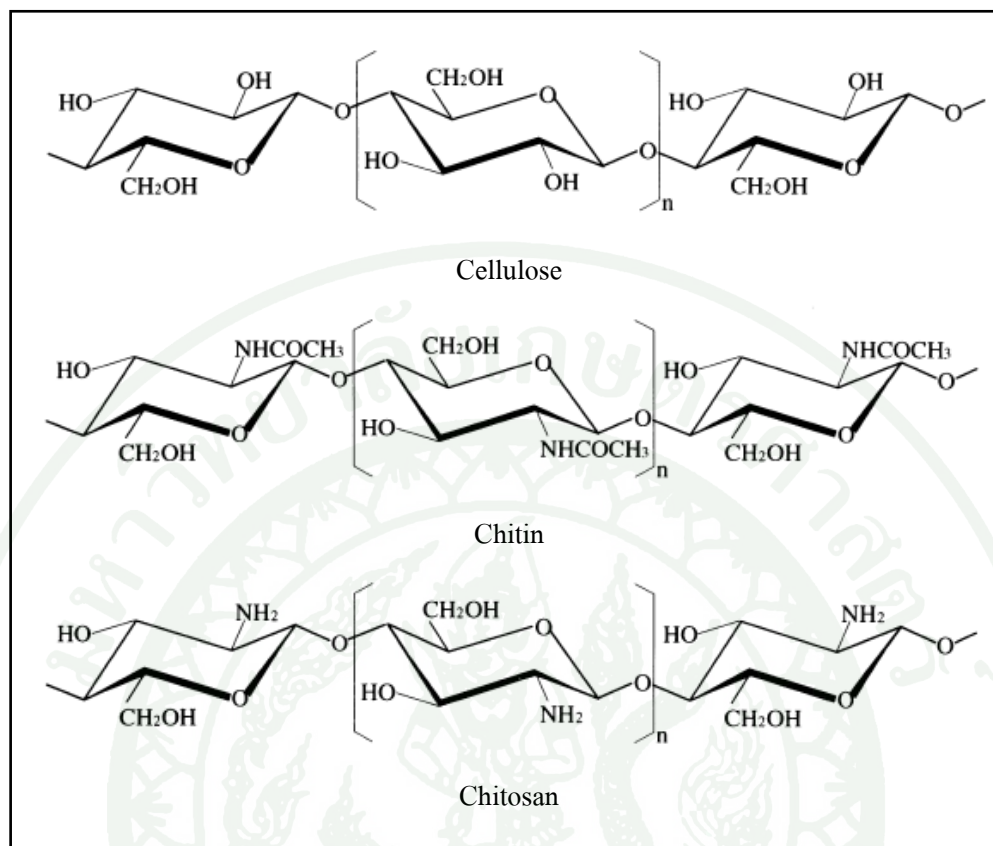
2.8.5 สารดูดซับชีวภาพ (biosorbent) ได้แก่ เชลล์จุลินทรีย์ เช่น เชลล์ของแบคทีเรีย ยีสต์ หรือราสายพันธุ์ต่างๆ และสาหร่าย

3. ไคตินและไคโตซาน

3.1 โครงสร้างทางเคมีของไคตินและไคโตซาน (สุวัลี, 2542)

ไคตินและไคโตซานเป็นสาร โคโพลิเมอร์ (copolymer) ธรรมชาติที่จัดอยู่ในกลุ่ม คาร์โบไฮเดรตพสม (heteropolysaccharide) ประกอบด้วยอนุพันธ์ของน้ำตาลกลูโคสที่มีแร่ธาตุ ในโครงเจนทางอุ่นภายนอก ทำให้มีสมบัติเฉพาะตัวในการเกิดปฏิกิริยา กับสารหลายชนิด ไคติน ละลายยากจึงมักใช้ในรูปของแข็ง โดยตรง ส่วนไคโตซานเกิดจากปฏิกิริยาการกำจัดหมู่อะซิทิล (deacetylation) ของสาร ไคตินด้วยด่าง ไคโตซานละลายได้ในกรดอินทรีย์ โดยเฉพาะกระบวนการบำบัด น้ำทึ้งในด้านอุตสาหกรรม กระบวนการสร้างและตกตะกอน (coagulation and flocculation) และการนำกลับมาใช้ใหม่ (waste recovery)

โครงสร้างทางเคมีของไคตินมีลักษณะคล้ายเชลล์โลส แต่ต่างกันตรงหน่วยย่ออย (monomer) ของเชลล์โลสจะเป็น D-glucose ส่วนหน่วยย่อของไคติน คือ N-acetyl-D-glucosamine (2-acetamido-2-deoxy-D-glucose) ซึ่งเป็นอนุพันธ์ของกลูโคส ชื่อทางเคมีของไคตินคือ Poly [β -(1 \rightarrow 4)-2-acetamido-2-deoxy-D-glucose] ไคโตซานคือ ไคตินในรูปที่มีปริมาณด่างเข้มข้นทำให้โครงสร้างทางเคมีของไคติน เปลี่ยนไปโดยหมู่อะเซตามิโอด (-NHCOCH₃) เปลี่ยนเป็นหมู่อะมิโน (-NH₂) ที่ควรบ่อนทำให้ 2 ดังนั้น ไคโตซาน คือ พอลิเมอร์ของ D-glucosamine (2-amino-2-deoxy-D-glucose) ดังแสดงในภาพที่ 15



ภาพที่ 20 โครงสร้างทางเคมีของเซลลูโลส ไคติน และไคโตซาน

ที่มา: Okuyama *et al.* (2000)

3.2 สมบัติของไคโตซาน (พัฒนาที่, 2545)

ไคโตซานมีสมบัติเป็นของแข็งไม่ละลายน้ำ มีความเสถียรสูง มีสีขาวค่อนข้างเทา (grayish-white) สามารถเสถียรได้ที่อุณหภูมิสูงถึง 260°C จึงจะถาวรตัว

3.2.1 สมบัติความเป็นแคทไออ้อน (cationic properties)

ไคโตซานมีสมบัติเป็นสารโพลีอิเล็กโทรไลต์แบบเส้นตรง (Linear polyelectrolyte) มีความหนาแน่นของประจุสูง ใช้เป็นสารสร้างตะกอน (floculant) สามารถยึดจับกับประจุลบที่ผิวได้ดี และยังสามารถจับกับโลหะได้อีกด้วย

3.2.2 สมบัติทางเคมี (chemical properties)

ไคโตซานเป็นพอลิเมอร์ที่มีมวลโมเลกุลสูงในช่วง 1×10^5 ถึง 1.2×10^6 และเป็นพอลิเมอร์สายตรงที่เป็นของแข็งที่มีรูปร่างไม่แน่นอน (amorphous solid) มีหมู่อะมิโนที่พร้อมจะละลายในกรดอินทรีย์ที่เป็นกรดอ่อน เช่น กรดมะนาว (citric acid) เป็นต้น การละลายของไคโตซานมีสมบัติสำคัญหลายอย่าง เช่น อยู่ในรูปของเอมีนอิสระ (free amine; -NH₂) จะไม่ละลายนำที่ พิ奥ชเป็นกลางและที่ พิอชเป็นกรด เอมีนอิสระจะรับอิเล็กตรอน (protonate) ได้เป็นเอมีนที่มีความเข้มของประจุบวกสูง (cationic amine group; -NH₃⁺) เป็นต้น

3.2.3 สมบัติสารละลายไคโตซาน (chitosan solution properties)

สารละลายไคโตซานในกรดอินทรีย์เกิดเป็นสายตรงของพอลิเอมีน (polyamine) ที่อยู่ในรูปของโพรโทเนต (protonated form) ซึ่งมีความเข้มของประจุบวกสูงและมีสมบัติที่พร้อมจะทำปฏิกิริยา กับชีวโมเลกุลที่มีประจุลบได้เป็นอย่างดี ไคโตซานไม่สามารถละลายได้ที่ พิอชมากกว่า 6.5 ความสามารถในการละลายของไคโตซานจะถูกจำกัดใน H₃PO₄ ไคโตซานไม่สามารถละลายในสารละลายอินทรีย์หลายๆ ชนิดได้

3.2.4 Degree of deacetylation (%DD)

เป็นตัวบ่งชี้ความเป็นไคตินและไคโตซาน เนื่องจากไคตินและไคโตซานเป็นโคลอเมอร์ระหว่างมอโนเมอร์สองชนิด คือ N-acetyl-D-glucosamine และ D-glucosamine ถ้าสัดส่วนของ D-glucosamine มากกว่า N-acetyl-D-glucosamine คือ มีค่า Degree of deacetylation สูง จะแสดงสมบัติเด่นของไคโตซาน (ศิรินภา, 2544)

3.3 การใช้ประโยชน์ของไคโตซาน

3.3.1 ด้านการบำบัดน้ำทิ้ง

ไคโตซานมีสมบัติเป็นสารพอลิอิเล็กโทรไลต์แบบเส้นตรง (linear polyelectrolyte) โดยมีความหนาแน่นทางประจุสูงจึงใช้ไคโตซานเป็นตัวสร้างตะกอน และตกตะกอน (flocculate and coagulating agent) ที่ดี เนื่องจากการมีหมู่อะมิโนที่สามารถจับสารที่เป็นประจุลบได้ เช่น โปรตีน สีข้อม และพอลิเมอร์อื่นๆ นอกจากนี้ยังสามารถจับกับโลหะหนักได้ เช่น ทองแดงเหล็ก และสังกะสีได้โดย

ในโตรเจนในหมู่อะมิโนของไคโตซานจะทำหน้าที่เป็นตัวให้อิเล็กตรอน ทำให้ไอออนโลหะสามารถสร้างพันธะเชิงช้อน (coordinate) กับหมู่อะมิโน

จากการศึกษาพบว่าไคโตซานมีความโดดเด่นในการจับโลหะหนัก ทำให้สามารถกำจัดสารอินทรีย์ และโลหะหนัก เช่น ตะกั่ว proto และสังกะสี จึงมีประโยชน์ในการบำบัดน้ำทึบได้ดี การปรับสภาพน้ำดื่มน้ำในสาระ และน้ำทึบต่างๆ และยังมีประสิทธิภาพในการทำให้น้ำผลไม้ และเครื่องดื่มใสขึ้นในกระบวนการผลิตอีกด้วย และนอกจากนี้ยังพบว่าไคโตซานยังมีประสิทธิภาพในการดูดซับสีธรรมชาติที่เกิดจากการเน่าเสียอย่างถาวรสลายของพืชในแหล่งน้ำได้ดีด้วย (สุภาวดี และคณะ, 2550)

3.3.2 ด้านการเกษตร

นำไคโตซานและไคตินไปรีดคุมเพลี้ยแมลงเห็บแทนสารเคมีบางชนิดที่ใช้ในการกำจัดเชื้อราก Sclerotium rolfsii ซึ่งทำให้เกิดโรคโคนเน่าในพืชตระกูลถั่ว โดยไคโตซานจะเป็นตัวชักนำยีนที่ต่อต้านเชื้อโรคพืช ส่งผลต่อการเจริญเติบโตและผลผลิตให้เพิ่มมากขึ้น ใช้ในการปรับปรุงคุณภาพดินทางด้านอินทรีย์วัตถุ

3.3.3 ด้านเกษตรกรรม

ไคโตซานสามารถใช้น้ำส่างด้วยได้อย่างมีระบบเข้าไปขังร่างกายหรือเฉพาะที่ได้สามารถใช้ในรูปประวิงเวลาเพื่อปล่อยด้วยยาอย่างช้าๆตามเวลา ใช้เป็นส่วนประกอบของผลิตภัณฑ์เครื่องสำอางค์ เช่น ครีมและโลชั่นให้ความชุ่มชื้น (moisturizer) ผลิตภัณฑ์บำรุงรักษาผิว ใช้ในการดูดซับโลหะหนักในอุตสาหกรรมเครื่องสำอางค์

3.3.4 ด้านการแพทย์

นำไคโตซานมาทำเป็นเยื่อไคโตซานรูปผ้าพันแผล ช่วยในการรักษาและด้านการติดเชื้อของบาดแผล สามารถทำให้เนื้อเยื่อให้เป็นปกติ ทำให้เซลล์เม็ดเลือดขาวรวมตัวอย่างรวดเร็วที่บริเวณแผล นำมาประยุกต์ใช้ในการณีแผลไฟไหม้โดยแบร์ไคโตซานให้อยู่ในรูปไคโตซานอะซิเตท เป็นสารละลายน้ำแผลโดยตรง จะช่วยบรรเทาอาการปวดและลดการติดเชื้อ นอกจากนี้ยังมีการประยุกต์ใช้ไคโตซานด้านการแพทย์อีกหลายอย่าง ได้แก่ การรักษากระดูกและฟัน การผ่าตัด การรักษาโรคตาและเหงือก

3.3.5 ด้านอาหาร

ใช้เป็นองค์ประกอบของอาหารหลายรูปแบบ ได้แก่ อาหารบำรุงสุขภาพ (nutraceuticals) ใช้ในการช่วยลดความต้องการในเลือดที่เป็นปัจจัยเสี่ยงของโรคหัวใจ นำมาใช้ในการตอกตะกอนไวน์ขาวและไวน์แดงได้ ใช้เป็นฟิล์มเคลือบอาหาร ช่วยในการลดแบคทีเรียและยีดออกซ์ิคายูการ์เก็บได้นานขึ้น สามารถดัดแปลงไปใช้ได้กับเนื้อสัตว์และอาหารทะเลได้ โดยการแปรรูปของ SPH (shrimp protein hydrolysate) ใช้ผลิตซอสปรุงรสกุ้ง และใช้เป็นสารปรุงแต่งกลิ่นกุ้ง

3.3.6 ด้านอื่นๆ

นำมาใช้ในการผลิตผลิตภัณฑ์กระดาษและสิ่งทอ ได้แก่ การผลิตไส้กรอง สำหรับน้ำ และอากาศ บรรจุภัณฑ์ที่บ่มอย่างถาวร ได้ทางชีวภาพ สำหรับอาหารหรือผลิตผลทางเกษตร นำไปโคล่าชานกับ ไบโพลีโซนิก (polysonic) เป็นไข่ที่ทำจากเยื่อไม้ นำมาหยอดกับไข่ฝ้ายเพื่อใช้ในการทำชุดชั้นใน มีสมบัติในการยับยั้งการเจริญของแบคทีเรีย ที่ทำให้เกิดกลิ่นและเชื้อร้ายที่ทำให้เกิดอาการผื่นคัน

3.4 หลักการสกัด ไกคิน-ไกโคล่าชาน

หลักการสกัด ไกคิน-ไกโคล่าชาน แบ่งออกเป็น 2 วิธี ได้แก่ กระบวนการสกัดทางเคมี และกระบวนการสกัดทางชีวภาพ ซึ่งอธิบายได้ดังต่อไปนี้

3.4.1 ทางเคมี แบ่งออกเป็น 3 ขั้นตอน คือ

1) การสกัดแยกโปรตีน (deproteination) ไกคินจะขับกับโปรตีโน่ย่างหลวงฯ เกิดเป็นสารประกอบที่เรียกว่า ไกโคล่าชาน โดยในสัตว์แต่ละชนิดจะมีสัดส่วนของไกคินและโปรตีนที่แตกต่างกัน เพราะฉะนั้นความยากง่ายในการกำจัดโปรตีโน่จากไกคินจะขึ้นอยู่กับปริมาณของโปรตีโน่ที่ขับกับไกคินนั้นเอง

2) การสกัดแยกเกลือแร่ (demineralization) การกำจัดเกลือแร่และแร่ธาตุควรจะด้วยกรดที่มีความเข้มข้นต่ำ ในเวลาที่เหมาะสม และมีการคนอย่างสม่ำเสมอ

3) การกำจัดหมู่อะซิทิล (deacetylation) การกำจัดหมู่อะซิทิล ทำได้โดยใช้สารละลายค้าง ซึ่งสารละลายค้างที่ใช้กันอย่างแพร่หลาย คือ สารละลายโซเดียมไฮดรอกไซด์ที่มีความเข้มข้นร้อยละ 40-60 (น้ำหนักต่อปริมาตร) การใช้สารละลายค้างเข้มข้นที่อุณหภูมิสูงในเวลาอันสั้น ซึ่งจะทำให้การกำจัด

หมู่อะเซทิกเกิดได้อย่างสมบูรณ์ เนื่องจากไคตินมีโครงสร้างที่แข็งแรง ทำให้มีความต้านทานการดึงหมู่อะเซทิกและมีความหนาแน่นของเซลล์ในโครงสร้างผลึกของไคตินและพันธะไฮโดรเจนระหว่างอะตอนในไตรเจนและหมู่คาร์บอนออกซิล

3.4.2 ทางเทคโนโลยีชีวภาพ

เป็นวิธีที่สามารถควบคุมกระบวนการคุณภาพการผลิต และหลีกเลี่ยงการใช้สารเคมีที่รุนแรง ได้โดยใช้จุลินทรีย์แลคโตบาซิลัส (*Lactobacillus*) เพื่อแยกเอาโปรดตินออกแทนการใช้ไฮเดรนไฮดรอกไซด์

4. งานวิจัยที่เกี่ยวข้อง

Ahmad *et al.* (2005) ได้ศึกษาเกี่ยวกับการกำจัดของแข็งแurenoloy และน้ำมันที่ตกค้างในน้ำทิ้ง จากโรงงานผลิตน้ำมันปาล์ม โดยเปรียบเทียบตัวตัวคุณภาพหั้ง 3 ชนิด ได้แก่ ไคโตซาน ดินเบนโทไนต์ และถ่านกัมมันต์ ทำการทดลองโดยใช้วิธี jar-test พบร่วมว่า ไคโตซานมีศักยภาพในการคุณภาพหั้ง 2 ชนิด ซึ่งสามารถลดคุณภาพน้ำมันที่ตกค้างได้ร้อยละ 99 และสามารถลดคุณภาพหั้งของแข็งแurenoloy ในน้ำได้เล็กน้อย คือ 25 มิลลิกรัมต่อลิตร โดยใช้ปริมาณไคโตซาน 0.5 กรัม ระยะเวลาปั่นกวาน 30 นาที อัตราเร็วในการปั่นกวาน 100 รอบต่อนาที ระยะเวลาที่ตกลงกัน 30 นาที และพีเอชอยู่ในช่วง 4.0-5.0 ส่วนในตัวคุณภาพดินเบนโทไนต์ และถ่านกัมมันต์ สามารถลดปริมาณของแข็งแurenoloy ได้เพียงอย่างเดียว โดยสามารถลดได้ถึง 35 และ 70 มิลลิกรัมต่อลิตร ในสภาวะที่เหมาะสม

Chih-Yu *et al.* (2007) ได้ทำการศึกษาการกำจัด แพทธาเลท เอสเทอร์ (phthalate esters; PAEs) โดยใช้ไคโตซานชนิดเม็ดที่เชื่อมด้วยแล็ฟฟ่า-ไซโคลเด็กซ์ทрин (α -cyclodextrin-linked chitosan bead) ผลการศึกษาพบว่า ได้เชปทิล แพทธาเลท (DH_nP) ถูกคุณภาพหั้งสูงสุด คือ 3.21 มิลลิกรัมต่อลิตร เมื่อเปรียบเทียบกับ PAEs 6 ชนิด โดย DH_nP สามารถลดคุณภาพหั้งไคโตซานชนิดนี้ได้ร้อยละ 94.6 ด้วยการปั่นกวาน เม็ดขนาดเล็กน้ำ ด้วยอัตราส่วนปริมาตร 8:2 และไคโตซานชนิดเม็ดที่ถูกเชื่อมด้วย α -cyclodextrin สามารถนำกลับมาใช้เป็นตัวคุณภาพหั้งใหม่ได้ 20 ครั้งภายใต้กระบวนการทดลองแบบตัวตัวคุณภาพ การคุณภาพ PAE ด้วยไคโตซานชนิดนี้จะลดลงเมื่ออุณหภูมิสูงขึ้น อย่างไรก็ตาม พีเอช, NaCl และ Ca²⁺ ไม่มีผลต่อประสิทธิภาพการคุณภาพหั้ง

Yanhua *et al.* (2010) ได้ทำการศึกษาการกำจัดเบอร์คลอเรท (perchlorate) ในสารละลายน้ำ ด้วยไคโตซาน ที่ทำการเชื่อมขาวที่มีความเข้มข้นของประจุบวก (Protonated cross-linked chitosan) ในไฮโซเทอมของ การคุณภาพหั้ง กระบวนการคุณภาพหั้งภายใต้อัตราพอลิ่ง พีเอชและไฮโซอนที่มีประจำลอน โดยการคุณภาพหั้งผ่านคลอลัมบ์

คัวยาเวลาที่เหมาะสมและนำตัวดูดซับมาวิเคราะห์ ข้อมูลที่ได้มีความสมดุลทั้งไอโซเทอมของแลงเมียร์ และฟรุนดิช และที่พื้นผิวของคัวดูดซับสามารถดูดซับได้สูงถึง 45.455 มิลลิกรัมต่อกิโลกรัม พีอชที่เหมาะสมคือ พีอช 4 ระยะเวลาเข้าสู่ภาวะสมดุลที่เหมาะสมคือ 8.1 นาที

Qiang et al. (2008) ได้ทำการศึกษาเรื่องการกำจัดเปอร์คลอโรออกเทน ชัลโฟเน(Perfluorooctane sulfonate; PFOS) โดยใช้ไคโตซานที่ฝังด้วยโมเลกุลของพอลิเมอร์ (molecularly imprinted polymer; MIP) เปรียบเทียบกับไคโตซานที่ไม่ได้ฝังด้วยโมเลกุลของพอลิเมอร์ (non-imprinted polymer; NIP) เป็นตัวดูดซับ โดยพบว่า MIP สามารถดูดซับ PFOS ได้ 560 ไมโครโมลต่อกิโลกรัม ส่วน NIP สามารถดูดซับได้เพียง 258 ไมโครโมลต่อกิโลกรัม ซึ่งสรุปได้ว่า MIP เป็นตัวดูดซับที่เหมาะสมในการดูดซับ PFOS ได้อย่างดี

อุปกรณ์และวิธีการ

อุปกรณ์

1. อุปกรณ์

- 1.1 เครื่องยูวีวิชิเมล สเปกโทโรฟโตมิเตอร์ (UV-Visible Spectrophotometer) Spectrum รุ่น SP-1102
- 1.2 เครื่องวัดพีเอช รุ่น 410 บริษัท SCIENCE TECH Co., LTD.
- 1.3 เครื่องชั่งน้ำหนัก อ่านค่าทศนิยม 1 ตำแหน่ง 0.0 g รุ่น AB 204-S
- 1.4 เครื่องเทเบิร์ (Shaker) Orbit Shaker รุ่น OM-S4050 บริษัท UMAC Scientific Co., Ltd.
- 1.5 ตู้อบ (Oven) รุ่น OF-11E บริษัท JEIO TECH KOREA
- 1.6 กระดาษกรอง GF/C ขนาด 0.45 ไมครอน ของ whatman
- 1.8 เดซิคเกเตอร์ (Desiccator)
- 1.9 ชุดกรองประดิษฐ์ (Costomized filter) และภาชนะทรงกระบอกสำหรับบรรจุตัวอยด์ชั้นแบบต่อเนื่อง
- 1.10 ปั๊ม (Pump)
- 1.11 เครื่องแก้ว

2. สารเคมี

- 2.1 ฟอร์มาลดีไฮด์ (Formaldehyde, CH₂O) 38% w/w ชนิดเกรดวิเคราะห์ บริษัท VWR International
- 2.2 กรดซัลฟิวริก (sulfuric acid; H₂SO₄) ชนิดเกรดวิเคราะห์ บริษัท J.T Baker

2.3 กรดโครโนมิโตรปิก (chromotropic acid; $C_{10}H_8O_8S_2$) ชนิดเกรดวิเคราะห์ บริษัท Finechem

2.4 โซเดียมไฮดรอกไซด์ (sodium hydroxide; NaOH) ชนิดเกรดวิเคราะห์ บริษัท AGC Chemical

2.5 กรดไฮdroคลอริก (hydrochloric acid; HCl) ชนิดเกรดวิเคราะห์ บริษัท UNI-CHEM

2.6 ไอโตซาน

1) ไอโตซานจากเปลือกถุง

2) ไอโตซานเชิงพาณิชย์ชนิดเกล็ด บริษัท เอ็นเอ็นซี. โปรดักส์ จำกัด

วิธีการ

1. การเตรียมสารละลาย

1.1 สารละลายโซเดียมไฮดรอกไซด์ เข้มข้น 1 โมลาร์

ชั่งโซเดียมไฮดรอกไซด์ 40 กรัม นำมาละลายคึ่งน้ำกลั่น ปรับปริมาตรเป็น 1 ลิตร เขย่าให้เข้ากัน

1.2 สารละลายโซเดียมไฮดรอกไซด์ เข้มข้น 50% โดยนำน้ำนักต่อปริมาตร

ชั่งโซเดียมไฮดรอกไซด์ 500 กรัม นำมาละลายคึ่งน้ำกลั่น ปรับปริมาตรเป็น 1 ลิตร เขย่าให้เข้ากัน

1.3 สารละลายกรดไฮdroคลอริก เข้มข้น 1 โมลาร์

นำสารละลายกรดไฮdroคลอริกมา 85 มิลลิลิตร เทใส่ในขวดปรับปริมาตรที่มีน้ำกลั่น 500 มิลลิลิตร ปรับปริมาตรเป็น 1 ลิตร เขย่าให้เข้ากัน

1.4 เตรียมสารละลามาตรฐานฟอร์มัลดีไฮด์ความเข้มข้น 500 มิลลิกรัมต่อลิตร

ปีเปตสารละลามาตรฐานฟอร์มัลดีไฮด์มาตรฐาน 38% w/w มา 1.21 มิลลิลิตร ลงในขวดปริมาตรขนาด 1,000 มิลลิลิตร แล้วปรับปริมาตรให้เป็น 1,000 มิลลิลิตรด้วยน้ำกลั่น

1.5 เตรียมสารละลามาตรฐานฟอร์มัลดีไฮด์เข้มข้น 100 มิลลิกรัมต่อลิตร

ปีเปตสารละลามาตรฐานฟอร์มัลดีไฮด์เข้มข้น 500 มิลลิกรัมต่อลิตร มา 200 มิลลิลิตร ใส่ลงในขวดปริมาตรขนาด 1,000 มิลลิลิตร แล้วปรับปริมาตรด้วยน้ำกลั่น

1.6 การเตรียมสารละลามาตรฐานฟอร์มัลดีไฮด์เข้มข้น 20 มิลลิกรัมต่อลิตร

ปีเปตสารละลามาตรฐานฟอร์มัลดีไฮด์เข้มข้น 500 มิลลิกรัมต่อลิตร มา 40 มิลลิลิตร ใส่ลงในขวดวัดปริมาตรขนาด 1,000 มิลลิลิตร แล้วปรับปริมาตรด้วยน้ำกลั่น

1.7 การเตรียมสารละลามาตรฐานฟอร์มัลดีไฮด์เข้มข้น 10 มิลลิกรัมต่อลิตร

โดยปีเปตสารละลามาตรฐานฟอร์มัลดีไฮด์เข้มข้น 500 มิลลิกรัมต่อลิตร มา 20 มิลลิลิตร ใส่ลงในขวดปริมาตรขนาด 1,000 มิลลิลิตร แล้วปรับปริมาตรด้วยน้ำกลั่น

2. การเตรียมไคโตซานจากเปลือกหุ้งและไคโตซานเชิงพาณิชย์

2.1 ไคโตซานจากเปลือกหุ้ง

ไคโตซานจากเปลือกหุ้งสามารถเตรียมได้โดยกระบวนการผลิตไคโตซานจากเปลือกและหัวหุ้งประกอบด้วยขั้นตอนต่างๆ 3 ขั้นตอน ซึ่งมีรายละเอียดดังนี้

1) ขั้นตอนการเตรียมวัตถุคง

นำเปลือกและหัวหุ้งมาล้างเพื่อกำจัดสิ่งสกปรกแล้วอบที่อุณหภูมิ 65 องศาเซลเซียส เป็นเวลา 6 ชั่วโมง หลังจากนั้นนำไปบดให้ละเอียด

2) ขั้นตอนการกำจัดโปรตีน (deproteinization)

การกำจัดโปรตีน ไคตินอยู่ร่วมกับโปรตีน โดยการจับกันด้วยพันธะไฮโดรเจนหรือพันธะโควาเลนซ์ โดยยก去โคไซามีนในไคตินจับกับหมู่แอลฟ์สปาติดและหมู่อิลคลองของโปรตีนเกิดเป็นสารประกอบไกลโคโปรตีน ซึ่งเปลือกถุงที่บดแล้ว 125 กรัม เติมสารละลายโซเดียมไฮดรอกไซด์ ความเข้มข้น 1 มอลาร์ ปริมาตร 750 มิลลิลิตร (สัดส่วน 1:6 น้ำหนักต่อปริมาตร) นำไปต้มที่อุณหภูมิ 100 องศาเซลเซียส เป็นเวลา 1 ชั่วโมง กรองและล้างด้วยน้ำกลั่นหลายๆ ครั้งเพื่อกำจัดสารค่า โดยทดสอบด้วยกระดาษลิตมัส ทึ้งให้สะเด็ดน้ำแล้วอบแห้งที่อุณหภูมิ 60 องศาเซลเซียส เป็นเวลา 4 ชั่วโมง

3) ขั้นตอนการกำจัดแร่ธาตุ (demineralization)

การกำจัดแร่ธาตุ โดยทั่วไปแล้วเปลือกของสัตว์จำพวกถุงจะมีแร่ธาตุเป็นองค์ประกอบร้อยละ 30 - 50 แคลเซียมคาร์บอนেตเป็นองค์ประกอบหลักของสารอินทรีย์ในเปลือก แต่อาจมีแคลเซียมฟอสเฟต ในปริมาณร้อยละ 8-10 ของปริมาณสารอินทรีย์ทั้งหมด โดยการกำจัดแร่ธาตุส่วนใหญ่นิยมใช้กรดไฮโดรคลอริก 1 นอร์มอล อัตราส่วน 1:10 (น้ำหนักต่อปริมาตร) ที่อุณหภูมิห้องเป็นเวลา 1 ชั่วโมง ผลิตภัณฑ์ที่ได้คือ ไคติน มีลักษณะเป็นผงละเอียดและสามารถอ่อน化 ด่างอ่อน ด่างแก่ และตัวทำละลายอินทรีย์ส่วนใหญ่ แต่จะละลายในกรดฟอร์มิกบริสุทธิ์และสารละลายไฮโดรคลอไรด์ ล้างน้ำหลายๆ ครั้ง ทึ้งให้สะเด็ดน้ำแล้วอบแห้งที่อุณหภูมิ 60 องศาเซลเซียส เป็นเวลา 4 ชั่วโมง

4) ขั้นตอนการกำจัดหมู่อะซิทิล (deacetylation)

การกำจัดหมู่อะซิทิล เนื่องจากสารบอนด์แทนที่สองของไคตินประกอบด้วยกลุ่มอะซิทิโลเมีน ($-NHCOCOCH_3$) โดยหมู่อะซิทิลจะจับกับเอมีน เพื่อให้ได้สารไคโตซาน จึงจำเป็นต้องกำจัดหมู่อะซิทิลออกโดยใช้สารละลายด่างที่เข้มข้นภายในถุงให้อุณหภูมิ ด้วยการผสมไคติน 1 ส่วนกับสารละลายโซเดียมไฮดรอกไซด์เข้มข้นร้อยละ 50 จำนวน 10 ส่วน แล้วต้มให้ความร้อนที่อุณหภูมิ 100 องศาเซลเซียส เป็นเวลา 1 ชั่วโมง และล้างผลิตภัณฑ์ที่ได้ด้วยน้ำหลายๆ ครั้ง จนมีสภาพเป็นกล่อง ทึ้งให้สะเด็ดน้ำแล้วอบแห้งที่อุณหภูมิ 60 องศาเซลเซียส เป็นเวลา 4 ชั่วโมง ผลิตภัณฑ์ที่ได้คือ ไคโตซานมีลักษณะเป็นเกล็ดสีเหลืองจากมีความมันวาว สามารถละลายได้ในสารละลายหลายชนิด ได้แก่ สารละลายกรดอินทรีย์เจือจาง เช่น กรดฟอร์มิก กรดซิตริก กรดโพรนิโนนิก กรดแอลกอติก กรดมาริก และกรดทาร์ทาริก เป็นต้น นอกจากนี้ยังสามารถละลายได้ในกรดไฮดรอกซิคกรด กรดไฮโดรคลอริกเจือจางและการเปลือกคลอริก แต่ไม่ละลายในน้ำ และตัวทำละลายอินทรีย์ทั่วไป

2.2 ไคโตซานเชิงพาณิชย์

โดยงานวิจัยนี้ใช้ไคโตซานสำเร็จรูปแบบเกล็ดจากบริษัท เอ็นเอ็นซี. โปรดักส์ จำกัด ซึ่งมีค่า %DD เท่ากับ 71.55% ดังภาพที่ 19 ก่อนนำมาใช้ต้องนำไคโตซานเชิงพาณิชย์มาอบท่ออุณหภูมิ 60 องศาเซลเซียส เป็นเวลา 1 ชั่วโมง



ภาพที่ 21 ไคโตซานเชิงพาณิชย์

2.3 การวิเคราะห์หาร้อยละการกำจัดหมู่อะซิทิด (Degree of Deacetylation)

ชั้งไคโตซาน 0.05 กรัม ละลายด้วยกรดอะซิติกเข้มข้น 10% (v/v) 25 มิลลิลิตร หยดสารละลายไอกอโรคอลอริกเข้มข้นและคนตลอดเวลาจนเกิดตะกอนขาวของไคโตซานไอกอโรคอลอไรต์ หยดต่อไปเรื่อยๆ จนไม่มีตะกอนเพิ่มขึ้น กรองตะกอนแล้วล้างด้วยน้ำพรมานองจนเป็นกลาง จากนั้nobให้แห้งท่ออุณหภูมิ 50 องศาเซลเซียส นาน 3 ชั่วโมง ชั้งตะกอนที่ได้แล้วนำมาละลายด้วยน้ำ DI ปรับปริมาตรให้ได้ 50 มิลลิลิตร จากนั้นปีเปตนา 15 มิลลิลิตร ไทเทրตกับสารละลายโซเดียมไอกอโรคอกไซด์เข้มข้น 0.005 โมลาร์ โดยใช้ฟินอลทาลีนเป็นอินดิเคเตอร์ คำนวณหา %DD จากสมการ (ศุภยาลักษณ์, 2544)

$$\%DD = \frac{CV_1 \times \text{make volume} \times M_w}{1,000 \times V_2 \times W} \times 100$$

เมื่อ	C	=	ความเข้มข้นของโซเดียมไอกอโรคอกไซด์ที่ใช้ (M)
	V	=	ปริมาตรของโซเดียมไอกอโรคอกไซด์ที่ใช้ (ml)
	Make volume	=	ปริมาตรของสารละลายไคโตซานไอกอโรคอกไซด์ (ml)
	M_w	=	น้ำหนักโมเลกุลของไคโตซานไอกอโรคอกไซด์ (g/mol)

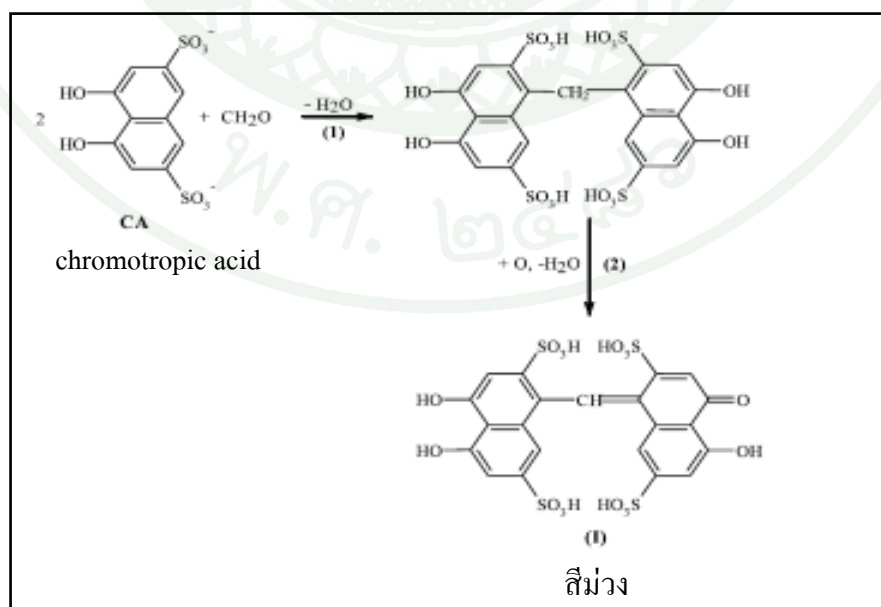
$$V_2 = \text{ปริมาตรของสารละลายน้ำโซดาโซเดียมไฮโดรคลอไรด์ที่ใช้ในการไฟเซนต์ (ml)}$$

$$W = \text{น้ำหนักของสารละลายน้ำโซดาโซเดียมไฮโดรคลอไรด์ (g)}$$

3. การเตรียมกราฟมาตราฐานฟอร์มัลดีไฮด์

3.1 เตรียมกราฟมาตราฐานฟอร์มัลดีไฮด์ ที่ความเข้มข้น 1, 3, 5, 7, 9, 11, 13 และ 15 มิลลิกรัมต่อลิตร โดยปีเปตสารละลายนามาตราฐานฟอร์มัลดีไฮด์เข้มข้น 100 มิลลิกรัมต่อลิตร มา 1, 3, 5, 7, 9, 11, 13 และ 15 มิลลิลิตร ลงในขวดวัดปริมาตรขนาด 100 มิลลิลิตร แล้วปรับปริมาตรให้เป็น 100 มิลลิลิตร ด้วยน้ำกั่นจะได้สารละลายนามาตราฐานฟอร์มัลดีไฮด์ความเข้มข้น 1, 3, 5, 7, 9, 11, 13 และ 15 มิลลิกรัมต่อลิตร

3.2 นำสารละลายนามาตราฐานฟอร์มัลดีไฮด์เข้มข้น 1, 3, 5, 7, 9, 11, 13 และ 15 มิลลิกรัมต่อลิตรจากข้อ 3.1 ปริมาตร 3 มิลลิลิตร มาทำปฏิกิริยากับกรดโกรโนโลรปิกจำนวน 0.150 กรัม และกรดซัลฟูริกเข้มข้นปริมาตร 4.5 มิลลิลิตร แล้วตั้งทิ้งไว้ให้เกิดปฏิกิริยา 10 นาที จะได้สารละลายสีม่วง ปฏิกิริยาที่เกิดขึ้นดังแสดงในภาพที่ 22 นำไปวัดค่าดูดกลืนแสงที่ความยาวคลื่น 575 นาโนเมตร แล้วนำค่าดูดกลืนแสงที่ได้มาเขียนกราฟแสดงความสัมพันธ์ระหว่างค่าดูดกลืนแสงที่ความยาวคลื่น 575 นาโนเมตร ในแกนตั้งและความเข้มข้นของสารละลายนามาตราฐานฟอร์มัลดีไฮด์ในแกนนอนจะได้กราฟมาตราฐานฟอร์มัลดีไฮด์เพื่อใช้เทียบหาปริมาณฟอร์มัลดีไฮด์



ภาพที่ 22 ปฏิกิริยาระหว่างฟอร์มัลดีไฮด์กับกรดโกรโนโลรปิก



ภาพที่ 23 สารละลายนีว่างที่ได้จากการเตรียมสารละลายนามาตรฐานฟอร์มัลดีไฮด์

4. ศึกษาอิทธิพลที่มีผลต่อการคุณชับฟอร์มัลดีไฮด์ของไก่โตชานจากเปลือกถุงและไก่โตชานเชิงพาณิชย์โดยทำการทดลองแบบแบ่งตัวชี้

ปัจจัยที่ทำการศึกษาเพื่อให้ได้สภาวะที่เหมาะสมสำหรับการคุณชับฟอร์มัลดีไฮด์ด้วยไก่โตชานจากเปลือกถุงและไก่โตชานเชิงพาณิชย์ มีดังนี้

4.1 ศึกษาปริมาณไก่โตชานเริ่มต้น

ชั่งไก่โตชานจากเปลือกถุงปริมาณ 1.0, 2.0, 3.0, 4.0, 5.0, 6.0 และ 7.0 กรัม ต่อสารละลายนามาตรฐานฟอร์มัลดีไฮด์เข้มข้น 10 มิลลิกรัมต่อลิตร ปริมาตร 100 มิลลิลิตร นำไปเขย่าที่ความเร็วรอบ 100 รอบต่อนาที เป็นระยะเวลา 30 นาที ตั้งทิ้งไว้ 30 นาที กรองสารละลายน้ำสารละลายน้ำที่กรองได้มา 3 มิลลิลิตร เติมกรดโคลมิโตรปิก 1 ช้อน และกรดซัลฟิวริก 4.5 มิลลิลิตร วัดค่าการดูดกลืนแสงที่ความยาวคลื่น 575 นาโนเมตร แต่ละค่าพิอเซทำการทดลองซ้ำ 3 ครั้ง และนำไก่โตชานเชิงพาณิชย์มาทำการทดลองเช่นเดียวกับไก่โตชานจากเปลือกถุง โดยใช้ไก่โตชานเชิงพาณิชย์ปริมาณ 1.0, 2.0, 3.0, 4.0 และ 5.0 กรัม ต่อสารละลายนามาตรฐานฟอร์มัลดีไฮด์เข้มข้น 20 มิลลิกรัมต่อลิตร

4.2 ศึกษาอิทธิพลของพีเอชเริ่มต้นของสารละลายน้ำตราชูนฟอร์มัลดีไฮด์

ชั้งไกโตกานจากเปลือกหุ้งในปริมาณเท่ากับที่ให้ประสิทธิภาพการคุณซับสูงสุดที่ได้จากการทดลองในข้อ 4.1 นำมาปรับ พีเอชให้มีค่าเท่ากับ 3, 4, 5, 6, 7, 8 และ 9 ดังภาพที่ 24 จากนั้นทำการทดลองเช่นเดียวกับข้อ 4.1 และนำไกโตกานเชิงพาณิชย์มาทำการทดลองเช่นเดียวกัน



ภาพที่ 24 ศึกษาอิทธิพลของพีเอชเริ่มต้นของสารละลายน้ำตราชูนฟอร์มัลดีไฮด์

4.3 ศึกษาอิทธิพลของความเร็วของการเย่า

ทำการทดลองเช่นเดียวกับข้อ 4.2 โดยปรับพีเอชให้มีค่าเท่ากับพีเอชที่ให้ร้อยละการคุณซับดีที่สุดจากการทดลองข้อ 4.2 และแปรผันความเร็วของการเย่าเป็น 0, 50, 100, 150 และ 200 รอบต่อนาที ดังภาพที่ 25



ภาพที่ 25 ศึกษาอิทธิพลของความเร็วรอบการเขย่า

4.4 ศึกษาอิทธิพลของระยะเวลาเขย่า

ทำการทดลองเช่นเดียวกับข้อ 4.3 โดยเขย่าที่ความเร็วรอบเท่ากับความเร็วรอบที่ให้ร้อยละการดูดซับดีที่สุดจากการทดลองข้อ 4.3 และแปรงันระยะเวลาเขย่าเป็น 10, 30, 60, 90 และ 120 นาที

4.5 ศึกษาอิทธิพลของระยะเวลาเข้าสู่สภาวะสมดุล

ทำการทดลองเช่นเดียวกับข้อ 4.4 โดยระยะเวลาเขย่านานเท่ากับระยะเวลาเขย่าที่ให้ร้อยละการดูดซับดีที่สุดจากการทดลองข้อ 4.4 และแปรงันระยะเวลาเข้าสู่สภาวะสมดุลเป็น 10, 30, 60, 90 และ 120 นาที

4.6 ศึกษาอิทธิพลของปริมาณของไคโตซานที่เหมาะสม

ชั่งไคโตซานจากเปลือกถุงปริมาณ 1.0, 2.0, 3.0, 4.0, 5.0, 6.0 และ 7.0 กรัม และไคโตซานเชิงพาณิชย์ปริมาณ 1.0, 2.0, 3.0, 4.0 และ 5.0 กรัม ทำการทดลองเช่นเดียวกันกับข้อ 4.5 โดยตั้งทึ่งไวนานเท่ากับระยะเวลาเข้าสู่ภาวะสมดุลที่ให้ร้อยละการดูดซับดีที่สุดจากการทดลองข้อ 4.5 ดังภาพที่ 26



ภาพที่ 26 ศึกษาอิทธิพลของปริมาณของไกโตซานที่เหมาะสม

4.7 ศึกษาอิทธิพลของความเข้มข้นฟอร์มัลดีไฮด์

ทำการทดลองเช่นเดียวกับข้อ 4.6 โดยใช้ระยะเวลาแปรผันเข้าสู่สภาพสมดุลที่ศึกษาได้จากข้อ 4.6 และแปรผันความเข้มข้นสารละลามาตรฐานฟอร์มัลดีไฮด์เป็น 10, 20, 30, 40 และ 50 มิลลิกรัมต่อลิตร

4.8 ศึกษาอิทธิพลของปริมาณไกโตซานจากเปลือกถุงและไกโตซานเชิงพาณิชย์ที่เหมาะสมและไอโซเทอร์มในการดูดซับฟอร์มัลดีไฮด์จากสารละลามาตรฐานฟอร์มัลดีไฮด์

ทำการทดลองโดยชั่งไกโตซานจากเปลือกถุงปริมาณ 1.0, 2.0, 3.0, 4.0 และ 5.0 กรัม และไกโตซานเชิงพาณิชย์ปริมาณ 1.0, 2.0, 3.0, 4.0, 5.0, 6.0 และ 7.0 กรัม ต่อสารละลามาตรฐานฟอร์มัลดีไฮด์ปริมาตร 100 มิลลิลิตร ลงในขวดรูปกรวย บรรบพื้นที่ ความเร็วอบ ระยะเวลาปั๊นกวน และระยะเวลาเข้าสู่ภาวะสมดุลที่เหมาะสมจากการทดลองที่ 4.2, 4.3, 4.4, 4.5, 4.6 และ 4.7 ตามลำดับ หลังจากนั้นนำสารละลามาตรฐานฟอร์มัลดีไฮด์ไปกรองผ่านกระดาษกรองเมมเบรน ขนาด 0.45 ไมครอน และนำไปวิเคราะห์หาประสิทธิภาพในการดูดซับฟอร์มัลดีไฮด์ นำข้อมูลที่ได้มาเขียนไอโซเทอร์มของແລງເມີຣ໌ແລະ ພຽນດີຈິ

5. ศึกษาประสิทธิภาพการคัดซับฟอร์มลักษณะดี ทำการทดลองแบบวิธีการใหม่ต่อเนื่อง โดยใช้ชุดเครื่องกรองประดิษฐ์ที่บรรจุไคโตซานจากเปลือกถั่วและไคโตซานเชิงพาณิชย์

ศึกษาประสิทธิภาพของการดูดซับฟอร์มมัลติไอดีในสารละลายมาตรฐานฟอร์มมัลติไอดี ทำการทดลองแบบวิธีการใหม่ต่อเนื่อง

ทำการทดลองโดยใช้สารละลามาตรฐานฟอร์มัลดีไฮด์ ปล่อยให้ไอล์ฟานชุดเครื่องกรองประดิษฐ์ที่ประกอบด้วยกระบอกที่มีเส้นผ่าวนศูนย์กลาง 2.5 นิ้ว บรรจุไคลโตซานจากเปลือกถุงปริมาณ 60 กรัม ทำการทดลองที่อัตราการไอล์ฟ 80, 120 และ 160 มิลลิลิตรต่อน้ำที่ โดยเก็บตัวอย่างสารละลามาตรฐานฟอร์มัลดีไฮด์ จากทางออกปลายชุดเครื่องกรองประดิษฐ์ทุก 5 นาที และนำไปวิเคราะห์ทางประสีทวิภาคในการดูดซับฟอร์มัลดีไฮด์ และสำหรับไคลโตซานเชิงพาณิชย์ทำการทดลองเช่นเดียวกันกับไคลโตซานจากเปลือกถุง

6. ศึกษาการฟื้นฟูสภาพของไคโตซานจากเปลือกถังและไคโตซานเชิงพาณิชย์ที่ผ่านการใช้งานแล้ว

ทำการทดลองโดยนำไก่โടชานจากเปลือกถุงและไก่โtodชานเชิงพาณิชย์ที่ผ่านการใช้งานแล้วถังด้วยน้ำกลั่นเพื่อฟื้นฟูสภาพ หลังจากนั้นตากให้แห้งแล้วนำไปอบให้แห้งที่อุณหภูมิ 60-65 องศาเซลเซียส เป็นเวลา 1 ชั่วโมง เพื่อไล่ความชื้น แล้วนำไก่โtodชานจากเปลือกถุงและไก่โtodชานเชิงพาณิชย์ที่ผ่านการฟื้นฟูสภาพกลับไปทดลองใหม่

7. การเก็บตัวอย่างคุณภาพน้ำและวิเคราะห์คุณภาพน้ำ

7.1 การเก็บตัวอย่างน้ำทิ้ง 4 จุดได้แก่ จุดที่ 1 (G970), จุดที่ 2 (F1801A), จุดที่ 3(F1801B) และ จุดที่ 4 (F1801C) มาทำการวิเคราะห์คุณภาพน้ำ จากบริษัททีโอซี ไกลคอล จำกัด



ภาพที่ 27 การเก็บตัวอย่างน้ำบริษัท ทีโอซี ไกลคอล จำกัด จังหวัดระยอง

ทำการเก็บตัวอย่างน้ำทึ้งจากบริษัท ทีโอซี ไกลคอล จำกัดหลังผ่านการบำบัดด้วยระบบ ก่อนปล่อยสู่ระบบบำบัดน้ำทึ้งรวม โดยทำความสะอาดภาชนะเก็บน้ำขนาด 20 ลิตร ล้างด้วยตัวอย่างน้ำทึ้ง 1-2 ครั้ง ก่อนจะทำการเก็บตัวอย่างน้ำใส่ภาชนะเก็บน้ำ

7.2 ศึกษาคุณภาพน้ำตัวอย่างที่ได้จากน้ำทึ้ง ได้แก่ จุดที่ 1 (G970), จุดที่ 2 (F1801A), จุดที่ 3 (F1801B) และ จุดที่ 4 (F1801C) มาทำการวิเคราะห์คุณภาพน้ำ จากบริษัททีโอซี ไกลคอล จำกัด

นำตัวอย่างน้ำมาวิเคราะห์ด้วยนิคุณภาพน้ำ ได้แก่ พีเอช, ของแข็งแขวนลอย, ของแข็งทึ้งหมุดที่ละลายน้ำ, บีโอดี, ซีโอดี, น้ำมันและไขมัน

7.3 ศึกษาประสิทธิภาพของการคุณภาพฟอร์มัลดีไฮด์ในน้ำทึ้ง จุดที่ 1 (G970), จุดที่ 2 (F1801A) บริษัททีโอซี ไกลคอล จำกัด

ทำการทดลองใช้สารละลายน้ำฟอร์มัลดีไฮด์จากน้ำทึ้งบริษัททีโอซี ไกลคอล จำกัด ที่มีฟอร์มัลดีไฮด์เจือปน นำไปวิเคราะห์หาปริมาณฟอร์มัลดีไฮด์ในน้ำทึ้ง จากนั้นนำน้ำทึ้งมาปรับพีเอชให้เท่ากับที่ศึกษาได้ในข้อ 4.1 ทำการทดลองด้วยวิธีแบบแบนด์และวิธีไอลแบบต่อเนื่อง เช่นเดียวกับข้อ 4 และ 5

8. สถานที่ทำการทดลอง

ทำการทดลอง ณ ห้องปฏิบัติการวิเคราะห์คุณภาพน้ำและดิน วิทยาลัยสิ่งแวดล้อม
มหาวิทยาลัยเกษตรศาสตร์

9. ระยะเวลาในการทดลอง

ระยะเวลาทำการทดลองทั้งสิ้น 10 เดือน ตั้งแต่เดือนกรกฎาคม พ.ศ. 2552 ถึงเดือนเมษายน
พ.ศ. 2553

ผลและวิจารณ์

การศึกษาการกำจัดฟอร์มัลดีไฮด์ในสารละลายที่สังเคราะห์ขึ้น โดยใช้ตัวคูดซับ ได้แก่ ไกโตกานจากเปลือกถุง และไกโตกานเชิงพาณิชย์ เพื่อนำไปสู่การประยุกต์ใช้ในการกำจัดฟอร์มัลดีไฮด์ในน้ำเสียจากบริษัท ทีโอซี ไกลคอล จำกัด ซึ่งผลิตสารตั้งต้น ได้แก่ โนโนเออทิลีน ไกลคอลและเม็ดพลาสติกเพ็ท (PET) สารไตรเออทิลีน ไกลคอล และสารเออทิลีโนอกไซด์ ที่ใช้ในอุตสาหกรรมการผลิตเส้นใยสังเคราะห์โพลีเอสเตอร์ และพลาสติก ทำการศึกษาหาสภาวะที่เหมาะสมของการคูดซับ โดยการทดลองด้วยวิธีแบบแบตช์ ปัจจัยที่มีผลต่อการคูดซับ ได้แก่ พิอ่อนริมตัน (pH) ความเร็วของการเขย่า (mixing speed) ระยะเวลาขย่า (shaking time) ระยะเวลาเข้าสู่สภาวะสมดุล (contact time) ความข้มข้นสารละลายน้ำฟอร์มัลดีไฮด์ ปริมาณตัวคูดซับ และการวิเคราะห์หาไอโซเทอร์มการคูดซับ โดยใช้สมการของแอลเมียร์และฟรุนดิช รวมถึงการทดลองการคูดซับผ่านชุดเครื่องกรองประดิษฐ์ที่บรรจุตัวคูดซับ และการพื้นฟูตัวคูดซับ เพื่อหาสภาวะที่เหมาะสมในการทดลองและนำไปประยุกต์ใช้ในระบบบำบัดน้ำเสียที่มีฟอร์มัลดีไฮด์ปนเปื้อน ซึ่งมีรายละเอียดดังนี้

1. ลักษณะของไกโตกานจากเปลือกถุงที่เตรียมได้

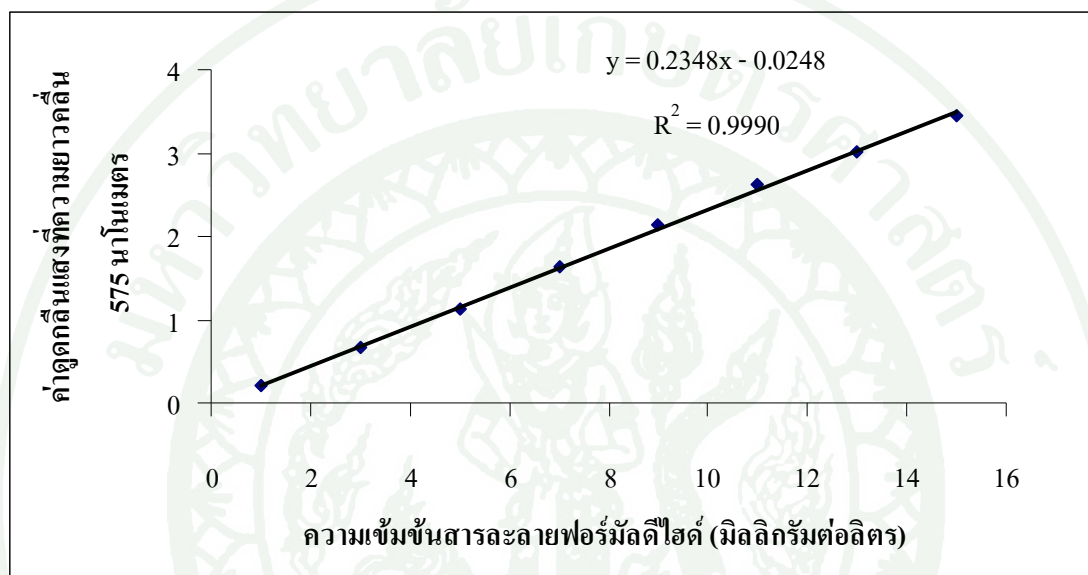
จากการทดลองเตรียมไกโตกานจากเปลือกถุงด้วยวิธีการสกัดไกโตกานทางเคมี พบว่า ไกโตกานจากเปลือกถุงที่เตรียมได้มีค่า %DD เท่ากับ 57.24% มีลักษณะเป็นเกร็งขนาดเล็ก มีความมันวาว สีขาวอมสีเหลือง เล็กน้อย ดังภาพที่ 28



ภาพที่ 28 ไกโตกานจากเปลือกถุง

2. ผลการเตรียมกราฟมาตรฐานสารละลายน้ำมัลติไซด์

จากการทดลองเตรียมกราฟมาตรฐานฟอร์มัลติไซด์ที่ความเข้มข้น 1.0, 3.0, 5.0, 7.0, 9.0, 11.0, 13.0 และ 15.0 มิลลิกรัมต่อลิตร ดังการทดลองในข้อที่ 3 ได้สมการเชิงเส้นทดแทนอย่างคือ $y = 0.2348x - 0.0248$ และ มีค่าสัมประสิทธิ์สหสัมพันธ์ (R^2) เท่ากับ 0.9990 ซึ่งอยู่ในเกณฑ์ที่ยอมรับได้ ($0.9700-1.0200$) ดังภาพที่ 29



ภาพที่ 29 กราฟมาตรฐานของสารละลายน้ำมัลติไซด์

3. ศึกษาสภาวะที่เหมาะสมในการดูดซับฟอร์มัลติไซด์ด้วยวิธีแบบแบนท์

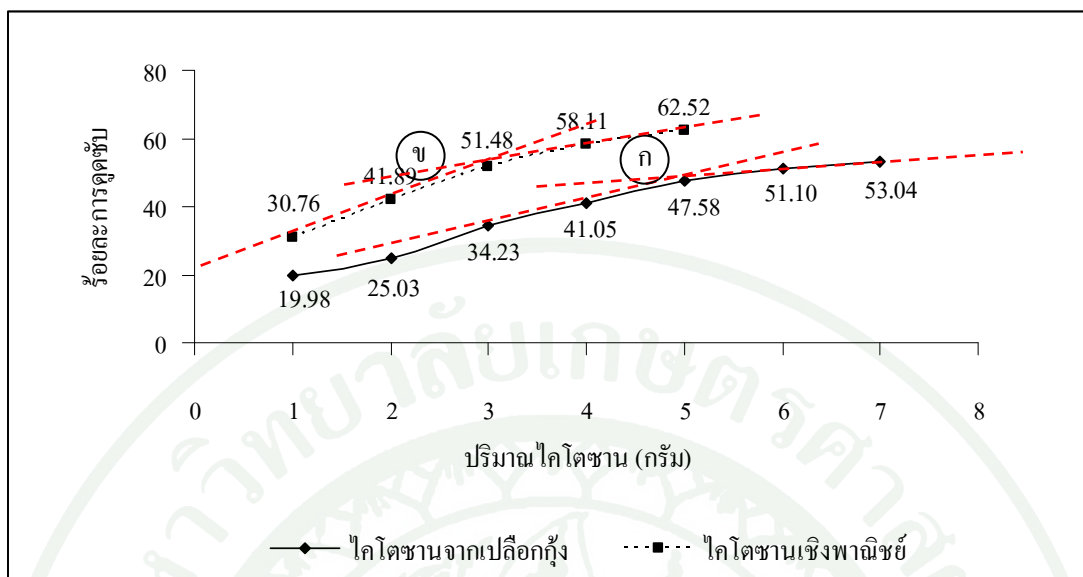
3.1 ผลของปริมาณตัวดูดซับต่อสารละลายน้ำมัลติไซด์

จากการทดลองในข้อที่ 4.1 ทำการแปรผันปริมาณไคลโ拓ชานจากเปลือกถุงให้เท่ากับ 1.0, 2.0, 3.0, 4.0 และ 5.0 กรัม และไคลโ拓ชานเชิงพาณิชย์ให้เท่ากับ 1.0, 2.0, 3.0, 4.0, 5.0, 6.0 และ 7.0 กรัม ได้ผลการทดลองดังแสดงในตารางที่ 2

ตารางที่ 2 อิทธิพลของปริมาณตัวคูดซับต่อร้อยละการคูดซับฟอร์มัลดีไฮด์ด้วยไก่โตชานจากเปลือกถุงและไก่โตชานเชิงพาณิชย์

(กรัม)	ปริมาณไก่โตชาน	ร้อยละการคูดซับ	
	ไก่โตชานจากเปลือกถุง	ไก่โตชานเชิงพาณิชย์	
1.0	19.98	30.76	
2.0	25.03	41.89	
3.0	34.23	51.48	
4.0	41.05	58.11	
5.0	47.58	62.52	
6.0	51.10	-	
7.0	53.04	-	

จากตารางที่ 2 พบร่วมกันว่า ประสิทธิภาพการคูดซับฟอร์มัลดีไฮด์ในสารละลายน้ำทรầuานฟอร์มัลดีไฮด์จะเพิ่มขึ้นเมื่อปริมาณไก่โตชานจากเปลือกถุงและไก่โตชานเชิงพาณิชย์เพิ่มขึ้น โดยที่น้ำหนักไก่โตชานจากเปลือกถุง และไก่โตชานเชิงพาณิชย์ ที่ 5 และ 3 กรัม ต่อสารละลายน้ำฟอร์มัลดีไฮด์เพิ่มขึ้น 10 และ 20 มิลลิกรัมต่อลิตร สามารถคูดซับฟอร์มัลดีไฮด์ได้ร้อยละ 47.58 และ 51.48 ตามลำดับ ซึ่งอธิบายได้ว่าผู้วิจัยเลือกใช้ปริมาณตัวคูดซับทั้งสองชนิดโดยการลากเส้นสัมผัส 2 เส้น โดย ณ จุดตัด ก และ ข ซึ่งจะได้ปริมาณไก่โตชานจากเปลือกถุงและไก่โตชานเชิงพาณิชย์ที่เหมาะสมในการคูดซับฟอร์มัลดีไฮด์ที่ 5 และ 3 กรัม ตามลำดับ ดังภาพที่ 30



ภาพที่ 30 ความสัมพันธ์ระหว่างปริมาณกิโตซานจากเปลือกกุ้งและกิโตซานเชิงพาณิชย์กับร้อยละการดูดซับฟอร์มัลดีไฮด์

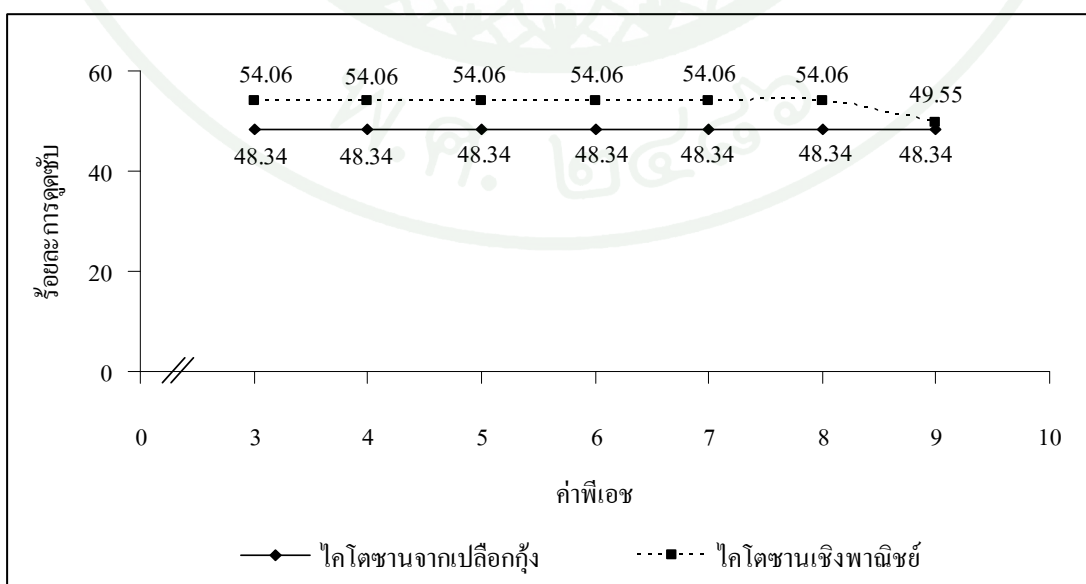
3.2 ผลของพีเอชเริ่มต้นของสารละลายน้ำตรฐานฟอร์มัลดีไฮด์

จากการทดลองในข้อที่ 4.2 ใช้ปริมาณกิโตซานจากเปลือกกุ้ง 5 กรัม และกิโตซานเชิงพาณิชย์ 3 กรัม ทำการแปรผันพีเอชของสารละลายฟอร์มัลดีไฮด์ให้เท่ากับ 3, 4, 5, 6, 7, 8 และ 9 ได้ผลการทดลองดังแสดงในตารางที่ 3

ตารางที่ 3 อิทธิพลของพีอีอชต่อร้อยละการดูดซับฟอร์มัลดีไฮด์ด้วยไคโตซานจากเปลือกถุงและไคโตซานเชิงพาณิชย์

ค่าพีอีอช	ร้อยละการดูดซับ	
	ไคโตซานจากเปลือกถุง	ไคโตซานเชิงพาณิชย์
3	48.34	54.06
4	48.34	54.06
5	48.34	54.06
6	48.34	54.06
7	48.34	54.06
8	48.34	54.06
9	48.34	49.55

จากตารางที่ 3 พบว่า พีอีอชไม่มีอิทธิพลต่อการดูดซับฟอร์มัลดีไฮด์ในสารละลายน้ำตรầuาน ฟอร์มัลดีไฮด์ด้วยไคโตซานจากเปลือกถุง กล่าวคือ ช่วงพีอีอช 3-9 และไคโตซานเชิงพาณิชย์พบว่าที่พีอีอช 3-8 มีร้อยละการดูดซับฟอร์มัลดีไฮด์เท่ากัน 48.34 และ 54.06 ตามลำดับ ดังภาพที่ 31 สามารถอธิบายได้ว่า เนื่องจากไคโตซานและฟอร์มัลดีไฮด์มีโครงสร้างทางเคมีที่มีหมู่อะมิโน ($-NH_2$) และหมู่คาร์บอนิล ($C=O$) เป็นองค์ประกอบ ตามลำดับ เกิดเป็นพันธะเอมิค ($H_2N-C=O$) ที่ทำให้เกิดแรงดึงดูดเหนียวไม่เลกฤทธิ์ ของไคโตซานและฟอร์มัลดีไฮด์ไว้ด้วยกัน



ภาพที่ 31 ความสัมพันธ์ระหว่างค่าพีอีอชกับร้อยละการดูดซับฟอร์มัลดีไฮด์ด้วยไคโตซานจากเปลือกถุงและไคโตซานเชิงพาณิชย์

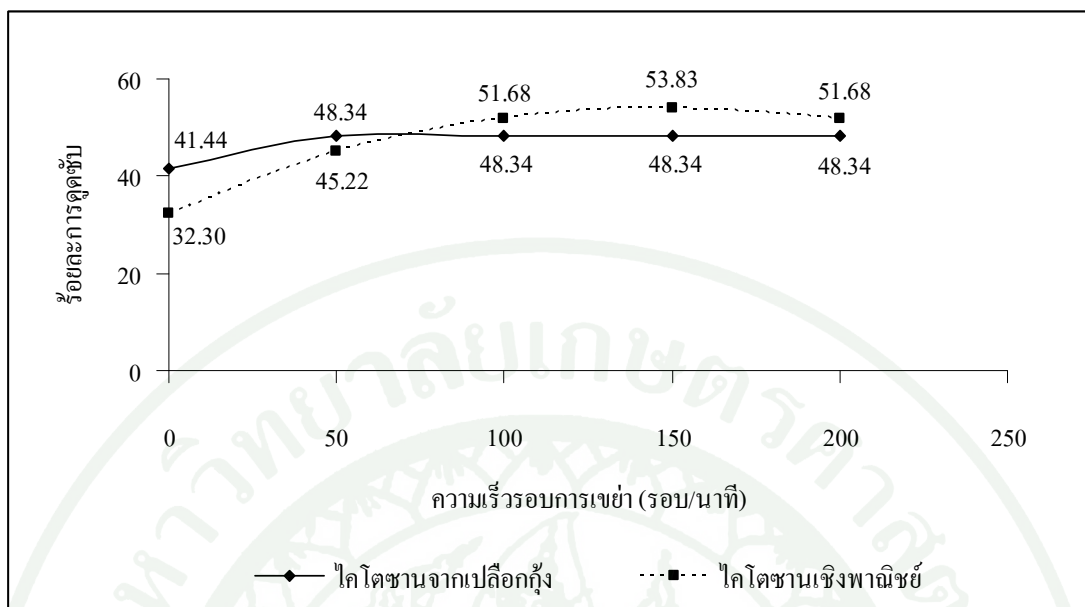
3.3 ผลของความเร็วของกระบวนการเขย่า

จากการทดลองในข้อที่ 4.1 และ 4.2 ใช้ปริมาณไคโตซานจากเปลือกถุง 5 กรัม และไคโตซาน เชิงพาณิชย์ 3 กรัม ทำการแปรผันความเร็วของกระบวนการเขย่าให้เท่ากับ 0, 50, 100, 150 และ 200 รอบต่อนาที ได้ผลการทดลองดังแสดงในตารางที่ 4

ตารางที่ 4 อิทธิพลของความเร็วของกระบวนการเขย่าต่อร้อยละการดูดซับฟอร์มัลดีไฮด์ด้วยไคโตซานจากเปลือกถุง และไคโตซานเชิงพาณิชย์

ความเร็วของกระบวนการเขย่า (รอบต่อนาที)	ร้อยละการดูดซับ	
	ไคโตซานจากเปลือกถุง	ไคโตซานเชิงพาณิชย์
0	41.44	32.30
50	48.34	45.22
100	48.34	51.68
150	48.34	53.83
200	48.34	51.68

จากตารางที่ 4 พบว่า ไคโตซานจากเปลือกถุงสามารถดูดซับฟอร์มัลดีไฮด์ในสารละลาย มาตรฐานฟอร์มัลดีไฮด์ได้ดีที่ความเร็วของกระบวนการเขย่าเท่ากับ 0-200 รอบต่อนาที โดยมีร้อยละการดูดซับ เท่ากับ 48.34 ส่วนไคโตซานเชิงพาณิชย์สามารถดูดซับได้ดีที่ความเร็วของกระบวนการเขย่าเท่ากับ 150 รอบต่อนาที โดยมีร้อยละการดูดซับเท่ากับ 53.83 ดังภาพที่ 32 ซึ่งอธิบายได้ว่าเมื่อความเร็วของกระบวนการเขย่าเพิ่มขึ้น จะส่งผลให้ประสิทธิภาพการดูดซับเพิ่มขึ้นเนื่องจากเมื่อความเร็วของกระบวนการเขย่าสูง ทำให้ความหนา ชั้นฟิล์มของน้ำยาลดลงฟอร์มัลดีไฮด์สามารถเคลื่อนที่เข้าหาตัวดูดซับได้รวดเร็วขึ้นจนถึงระยะเวลาหนึ่ง พื้นที่ผิวของตัวดูดซับถูกครอบครองด้วยตัวถูกดูดซับ ในขณะที่พื้นที่ผิวของตัวดูดซับมีจำนวนจำกัด ตัวถูกดูดซับไม่สามารถดูดซับไว้ที่พื้นผิวตัวดูดซับได้อีก จึงทำให้ประสิทธิภาพในการดูดซับลดลง (นิพนธ์ และ คงิตา, 2550)



ภาพที่ 32 ความสัมพันธ์ระหว่างความเร็วรอบการเบี่ยงกับร้อยละการดูดซึบฟอร์มัลดีไซด์ด้วยไก่ต้มจากเปลือกถุงและไก่ต้มเชิงพาณิชย์

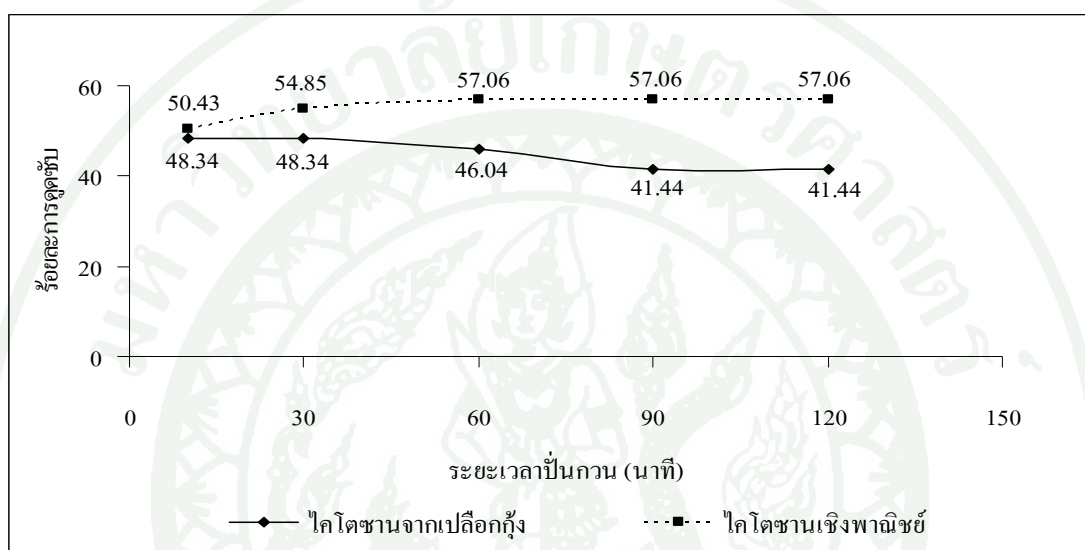
3.4 ผลของระยะเวลาเบี่ยง

จากการทดลองในข้อที่ 4.1 และ 4.2 และ 4.3 ใช้ปริมาณไก่ต้มจากเปลือกถุง และ ไก่ต้มเชิงพาณิชย์ 5 และ 3 กรัม ตามลำดับ ใช้ความเร็วรอบการเบี่ยง 50 และ 150 รอบต่อนาที ทำการแปรผันระยะเวลาเบี่ยงให้เท่ากับ 10, 30, 60, 90 และ 120 นาที ได้ผลการทดลองดังแสดงในตารางที่ 5

ตารางที่ 5 อิทธิพลของระยะเวลาเบี่ยงต่อร้อยละการดูดซึบฟอร์มัลดีไซด์ด้วยไก่ต้มจากเปลือกถุงและไก่ต้มเชิงพาณิชย์

ระยะเวลาเบี่ยง (นาที)	ร้อยละการดูดซึบ	
	ไก่ต้มจากเปลือกถุง	ไก่ต้มเชิงพาณิชย์
10	48.34	50.43
30	48.34	54.85
60	46.04	57.06
90	41.44	57.06
120	41.44	57.06

จากตารางที่ 5 พบว่า ไคโตซานจากเปลือกถุงดูดซับฟอร์มัลดีไฮด์ในสารละลายน้ำมีต่ำสุด ได้แก่ ไคโตซานเชิงพาณิชย์ดูดซับฟอร์มัลดีไฮด์ ได้แก่ ไคโตซานเชิงพาณิชย์ที่ระยะเวลาขย่าเท่ากับ 10 นาที โดยมีร้อยละการดูดซับเท่ากับ 48.34 ส่วนไคโตซานเชิงพาณิชย์ดูดซับฟอร์มัลดีไฮด์ ได้แก่ ไคโตซานเชิงพาณิชย์ที่ระยะเวลาขย่าเท่ากับ 57.06 ซึ่ง ดังภาพที่ 33 ซึ่งอธิบายได้ว่าในตอนเริ่มต้นพื้นผิวของตัวดูดซับจะมีพื้นที่มากทำให้อัตราการดูดซับมีมากจนถึงระยะเวลาหนึ่งบริเวณพื้นผิวของตัวดูดซับจะถูกปอกคลุนไปด้วยตัวถูกดูดซับ (ฟอร์มัลดีไฮด์) ส่งผลให้อัตราการดูดซับมีประสิทธิภาพลดลง (นิพนธ์ และคณะ, 2550)



ภาพที่ 33 ความสัมพันธ์ระหว่างระยะเวลาขย่ากับร้อยละการดูดซับฟอร์มัลดีไฮด์ด้วยไคโตซานจากเปลือกถุง และไคโตซานเชิงพาณิชย์

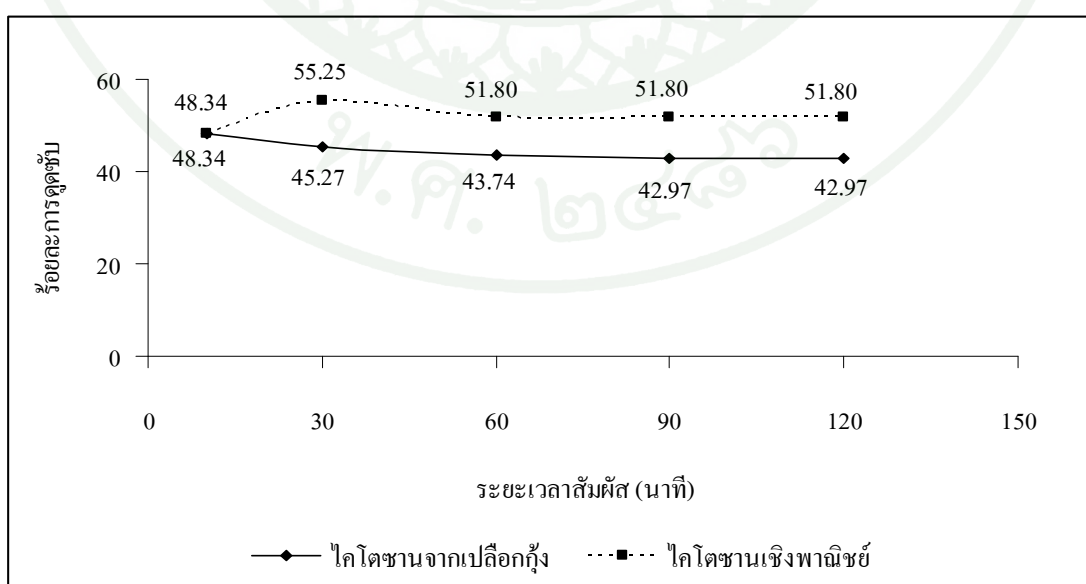
3.5 ผลของระยะเวลาเข้าสู่ภาวะสมดุล

จากการทดลองในข้อที่ 4.1, 4.2, 4.3 และ 4.4 ใช้ปริมาณไคโตซานจากเปลือกถุง และไคโตซานเชิงพาณิชย์ 5 กรัม ตามลำดับ ต่อสารละลายน้ำมีต่ำสุด 100 มิลลิลิตร ใช้ความเร็วในการเขย่า 50 และ 150 รอบต่อนาที ตามลำดับ และใช้ระยะเวลาขย่าเท่ากับ 10 ถึง 60 นาที ตามลำดับ ทำการแปรผันระยะเวลาเข้าสู่ภาวะสมดุลให้เท่ากับ 10, 30, 60, 90 และ 120 นาที ได้ผลการทดลองดังแสดงในตารางที่ 6

**ตารางที่ 6 อิทธิพลของระยะเวลาเข้าสู่ภาวะสมดุลต่อร้อยละการคุณชับฟอร์มัลเดี้ยไอด์ด้วยไก่โตชานจากเปลี่ยนถ่าย
และไก่โตชานเชิงพาณิชย์**

ระยะเวลาเข้าสู่ภาวะสมดุล (นาที)	ร้อยละการคุณชับ	
	ไก่โตชานจากเปลี่ยนถ่าย	ไก่โตชานเชิงพาณิชย์
10	48.34	48.34
30	45.27	55.25
60	43.74	51.80
90	42.97	51.80
120	42.97	51.80

จากการที่ 6 พบว่า ไก่โตชานจากเปลี่ยนถ่ายและไก่โตชานเชิงพาณิชย์คุณชับฟอร์มัลเดี้ยไอด์ได้ดีที่ระยะเวลาเข้าสู่ภาวะสมดุลเท่ากับ 10 และ 30 นาที ตามลำดับ โดยมีร้อยละการคุณชับเท่ากับ 48.34 และ 55.25 ตามลำดับ อธิบายได้ว่า เมื่อระยะเวลาเข้าสู่ภาวะสมดุลเพิ่มขึ้นจะส่งผลให้ประสิทธิภาพการคุณชับเพิ่มขึ้น เนื่องจากตัวคุณชับมีระยะเวลาในการเข้าสู่ภาวะสมดุลเพิ่มขึ้น หลังจากนั้นเมื่อถึงระยะเวลาหนึ่ง ประสิทธิภาพในการคุณชับก็จะคงที่ และเริ่มลดลง เนื่องจากการคุณชับจะเริ่มเข้าสู่สมดุล (อัตราคุณชับ = อัตราคายการคุณชับ) ทำให้ตัวคุณชับเกิดการอ่อนตัวและเริ่มหมุดสภาพมีผลให้ประสิทธิภาพการคุณชับคงที่หรือลดลง ดังภาพที่ 33



**ภาพที่ 34 ความสัมพันธ์ระหว่างระยะเวลาเข้าสู่ภาวะสมดุลกับร้อยละการคุณชับฟอร์มัลเดี้ยไอด์ด้วยไก่โตชาน
จากเปลี่ยนถ่ายและไก่โตชานเชิงพาณิชย์**

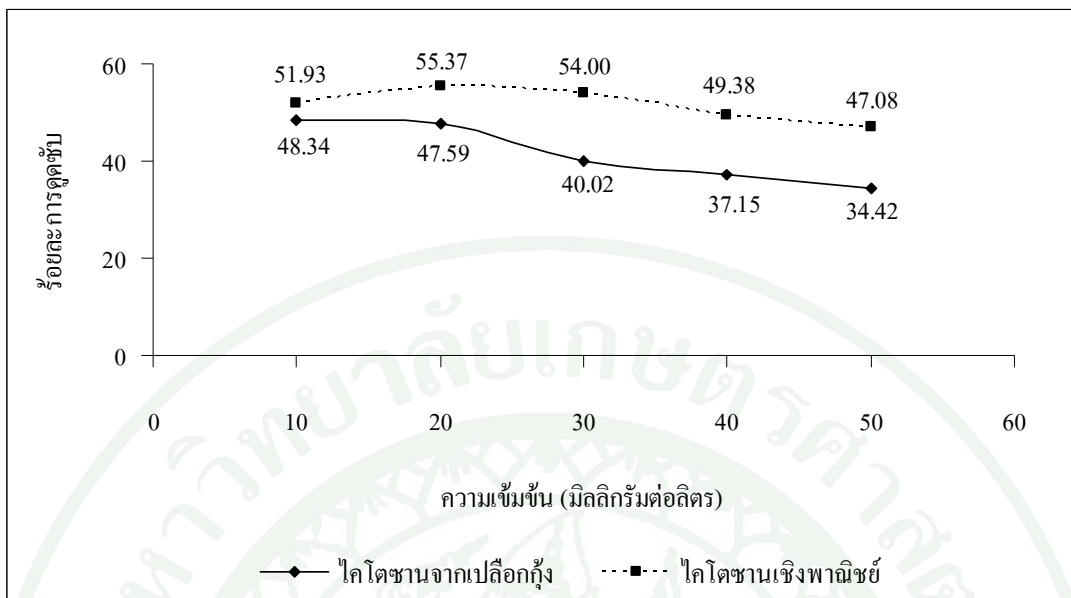
3.6 ผลของความเข้มข้นของสารละลายน้ำตรรูปน้ำฟอร์มัลดีไฮด์

จากการทดลองในข้อที่ 4.1, 4.2, 4.3, 4.4 และ 4.5 ใช้ปริมาณไก่โടชานจากเปลือกถุงและไก่โtodานเชิงพาณิชย์ 5 และ 3 กรัม ต่อสารละลายน้ำตรรูปน้ำฟอร์มัลดีไฮด์ 100 มิลลิลิตร ใช้ความเร็วของการเขย่า 50 และ 150 รอบต่อนาที ตามลำดับ ใช้ระยะเวลาเขย่าเท่ากับ 10 และ 60 นาที ตามลำดับ และใช้เวลาเข้าสู่ภาวะสมดุลเท่ากับ 10 และ 30 นาที ตามลำดับ ทำการแปรผันความเข้มข้นของสารละลายน้ำตรรูปน้ำฟอร์มัลดีไฮด์ ให้เท่ากับ 10, 20, 30, 40 และ 50 นาที ได้ผลการทดลองดังแสดงในตารางที่ 7

ตารางที่ 7 อิทธิพลของความเข้มข้นของสารละลายน้ำตรรูปน้ำฟอร์มัลดีไฮด์ที่มีต่อร้อยละการดูดซับฟอร์มัลดีไฮด์ด้วยไก่โtodานจากเปลือกถุงและไก่โtodานเชิงพาณิชย์

ความเข้มข้นสารละลายน้ำตรรูปน้ำฟอร์มัลดีไฮด์ (mg/l)	ร้อยละการดูดซับ	
	ไก่โtodานจากเปลือกถุง	ไก่โtodานเชิงพาณิชย์
10	48.34	51.93
20	47.59	55.37
30	40.02	54.00
40	37.15	49.38
50	34.42	47.08

จากตารางที่ 7 พนบว่า ไก่โtodานจากเปลือกถุงและไก่โtodานเชิงพาณิชย์ดูดซับฟอร์มัลดีไฮด์ได้ดีในสารละลายน้ำตรรูปน้ำฟอร์มัลดีไฮด์เข้มข้น 10 และ 20 มิลลิกรัมต่อลิตร ตามลำดับ ได้ร้อยละการดูดซับเท่ากับ 48.34 และ 55.37 มิลลิกรัมต่อลิตร ดังภาพที่ 34



ภาพที่ 35 ความสัมพันธ์ระหว่างความเข้มข้นของสารละลายมาตรฐานฟอร์มัลดีไซด์กับร้อยละการดูดซับฟอร์มัลดีไซด์ด้วยไอโคตานจากเปลือกถั่วและไอโคตานเชิงพาณิชย์

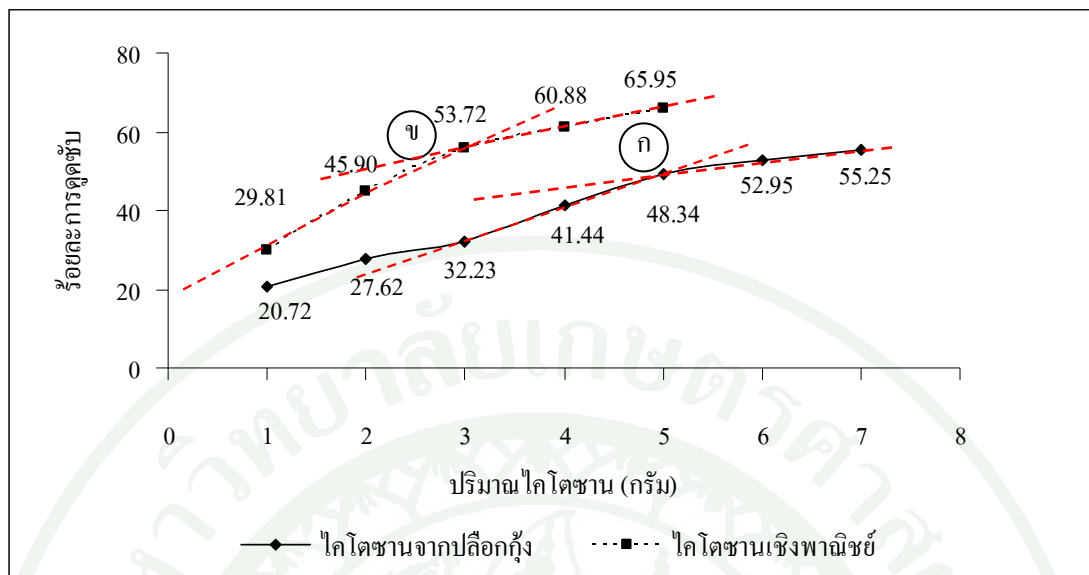
3.7 ผลของปริมาณตัวดูดซับที่เหมาะสม

ทำการแปรผันปริมาณ ไอโคตานจากเปลือกถั่วให้เท่ากับ 1.0, 2.0, 3.0, 4.0 และ 5.0 กรัม และ ไอโคตานเชิงพาณิชย์ให้เท่ากับ 1.0, 2.0, 3.0, 4.0, 5.0, 6.0 และ 7.0 กรัม จากนั้นทำการทดลองโดยใช้ สภาวะที่เหมาะสมที่ศึกษาได้ สำหรับ ไอโคตานจากเปลือกถั่ว คือ ใช้สารละลายฟอร์มัลดีไซด์ปริมาตร 100 มิลลิลิตร เข้มข้น 10 มิลลิกรัมต่อลิตร ความเร็วรอบการเขย่า 50 รอบต่อนาที ระยะเวลาเขย่า 10 นาที ระยะเวลาเข้าสู่ภาวะสมดุล 10 นาที ส่วน ไอโคตานเชิงพาณิชย์ คือ ใช้สารละลายฟอร์มัลดีไซด์ปริมาตร 100 มิลลิลิตร เข้มข้น 20 มิลลิกรัมต่อลิตร ความเร็วรอบการเขย่า 150 รอบต่อนาที ระยะเวลาเขย่า 60 นาที ระยะเวลาเข้าสู่ภาวะสมดุล 30 นาที ได้ผลการทดลองดังแสดงในตารางที่ 8

ตารางที่ 8 อิทธิพลของปริมาณตัวคูดซับที่มีต่อร้อยละการคูดซับฟอร์มัลดีไซด์ด้วยไก่โตชานจากเปลือกถุงและไก่โตชานเชิงพาณิชย์

(กรัม)	ปริมาณไก่โตชาน	ร้อยละการคูดซับ	
	ไก่โตชานจากเปลือกถุง	ไก่โตชานเชิงพาณิชย์	
1.0	20.72	29.81	
2.0	27.62	45.90	
3.0	32.23	53.72	
4.0	41.44	60.88	
5.0	48.34	65.95	
6.0	52.95	-	
7.0	55.25	-	

จากตารางที่ 8 พบว่า ไก่โตชานจากเปลือกถุงและไก่โตชานเชิงพาณิชย์มีการคูดซับฟอร์มัลดีไซด์ในสารละลายน้ำตารฐานฟอร์มัลดีไซด์ได้ดีที่ปริมาณไก่โตชานจากเปลือกถุง 5 กรัม และไก่โตชานเชิงพาณิชย์ 3 กรัม โดยมีร้อยละการคูดซับเท่ากับ 48.34 และ 53.72 ตามลำดับ ซึ่งอธิบายได้ว่า ประสิทธิภาพการคูดซับฟอร์มัลดีไซด์ในสารละลายน้ำตารฐานฟอร์มัลดีไซด์จะเพิ่มขึ้นเมื่อปริมาณไก่โตชานจากเปลือกถุงและไก่โตชานเชิงพาณิชย์เพิ่มขึ้น โดยผู้วิจัยเลือกใช้ปริมาณตัวคูดซับทั้งสองชนิด โดยการลากเส้นสัมผัส 2 เส้น โดย ณ จุดตัด ก และ ข ซึ่งจะได้ปริมาณไก่โตชานจากเปลือกถุงและไก่โตชานเชิงพาณิชย์ที่เหมาะสมในการคูดซับฟอร์มัลดีไซด์ที่ 5 และ 3 กรัม ตามลำดับ ดังภาพที่ 36

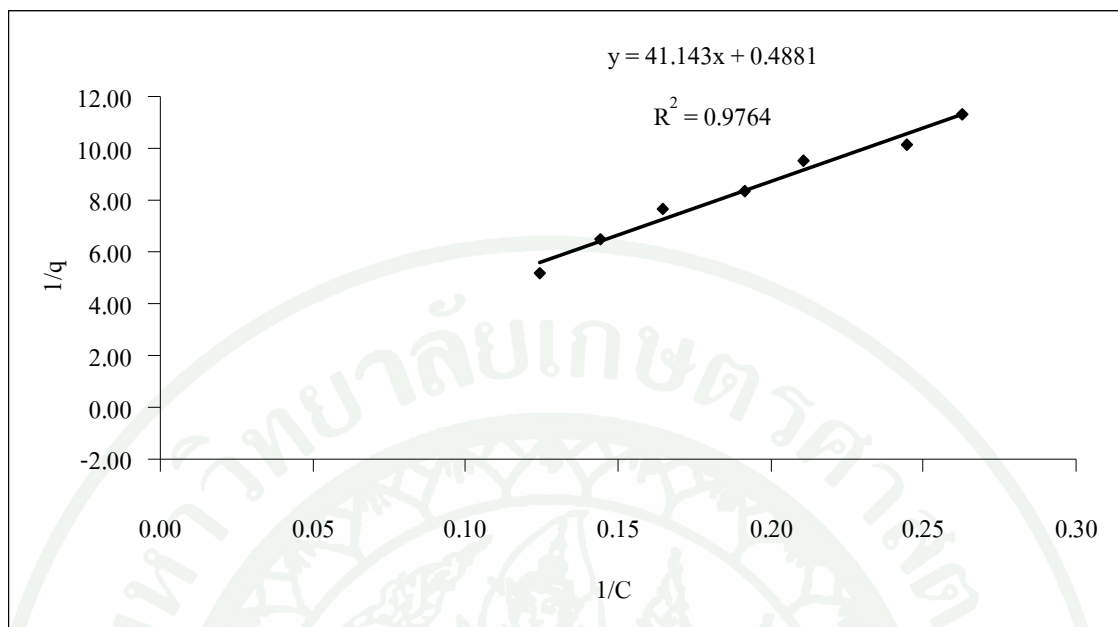


ภาพที่ 36 ความสัมพันธ์ระหว่างปริมาณโซเดียมเชลโซเดียมกับร้อยละการดูดซึบฟอร์มัลไดไฮด์ด้วยโซเดียมจากเปลือกหอยและโซเดียมเชิงพาณิชย์

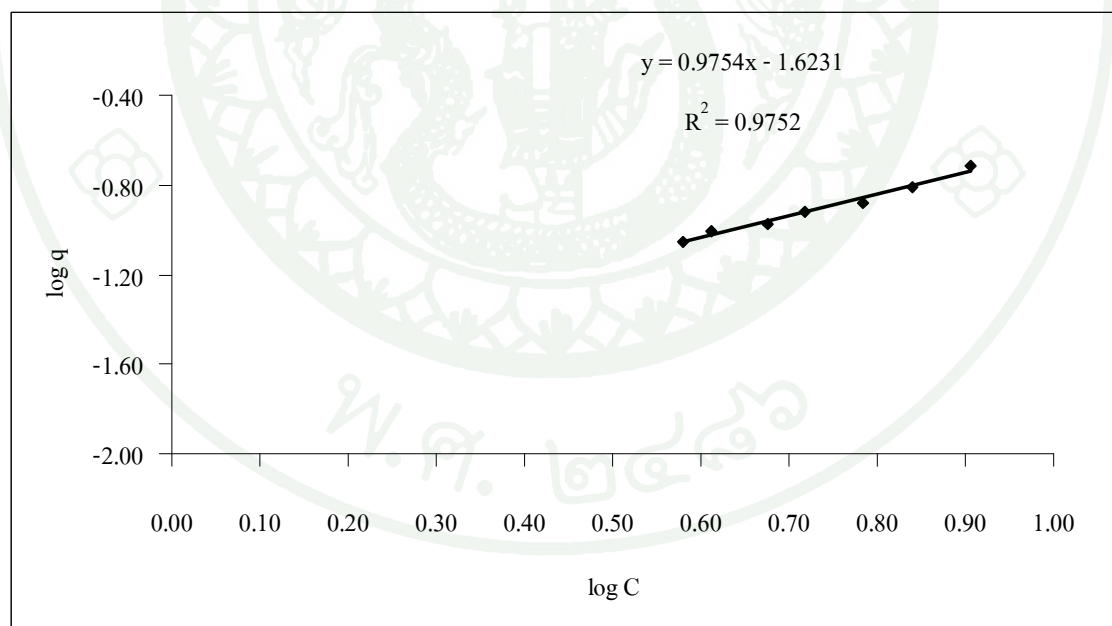
4. ไอโซเทอร์มการดูดซึบฟอร์มัลไดไฮด์

4.1 โซเดียมจากเปลือกหอย

นำข้อมูลที่ได้จากการทดลองในข้อที่ 4 โดยใช้โซเดียมจากเปลือกหอย มาเขียนไอโซเทอร์มของแอลเมียร์และฟรุนดิช ได้ข้อมูลดังแสดงในภาพที่ 37 และ 38 ตามลำดับ



ภาพที่ 37 แลงเมียร์-ไอโซเทอร์มของการดูดซับฟอร์มัลดีไฮด์ด้วยไคโตซานจากเปลือกหุ้ง



ภาพที่ 38 ฟรุนดิช-ไอโซเทอร์มของการดูดซับฟอร์มัลดีไฮด์ด้วยไคโตซานจากเปลือกหุ้ง

จากการทดลอง พบว่า แลงเมียร์และฟรุนดิช-ไอโซเทอร์มของการดูดซับฟอร์มัลดีไฮด์จากสารละลายน้ำตราชานฟอร์มัลดีไฮด์ มีค่าสัมประสิทธิ์สหสัมพันธ์เท่ากับ 0.9764 และ 0.9752 ตามลำดับ ซึ่งค่าทั้งสองนี้อยู่ในเกณฑ์ที่ยอมรับได้ ($0.9700-1.2000$) ดังนั้นกลไกการดูดซับฟอร์มัลดีไฮด์ จึงสอดคล้องทั้งแลงเมียร์และฟรุนดิช-ไอโซเทอร์ม เนื่องจากมีค่าสัมประสิทธิ์สหสัมพันธ์ใกล้เคียงกัน

กลไกการคุ้มซับของແລງເມືອນນັ້ນພື້ນທີ່ພິວບນຕ້ວງຄຸດສັບເປັນແບບເດືອກນໍາໜົດ ມີກລໄກຮາ
ຄຸດສັບທີ່ເໜືອນກັນ ໂດຍທີ່ຕ້ວງກູດຄຸດສັບຈະກູດຄຸດສັບບນພື້ນທີ່ພິວຂອງຕ້ວງຄຸດສັບເປັນແບບຫຼັນເດີວາ ແລະກາ
ຈັດເຮັງຕ້ວເພີ້ງຫຼັນເດີວນພື້ນທີ່ພິວຕ້ວງຄຸດສັບ ໂດຍທີ່ໄມ້ເລຸກລູກຄຸດສັບໄໝເກີດກາຮັບຜົນກັນ ພື້ນທີ່ພິວ
ຕ້ວງຄຸດສັບຈະມີຈຳນວນຈຳກັດ ແລະເມື່ອຕ້ວງກູດຄຸດສັບກູດຄຸດສັບໄວ້ແລ້ວຈະໄໝມີກາຮເຄລື່ອນທີ່ຫົວໜ້າປຶກ
ກັນກັບຕ້ວງກູດຄຸດສັບອື່ນບນພື້ນທີ່ພິວຕ້ວງຄຸດສັບ ພື້ນທີ່ພິວຕ້ວງຄຸດສັບຈະກູດປົກລຸມດ້ວຍຕ້ວງກູດຄຸດສັບນາກບິນ ເມື່ອ
ກວາມເບີ້ນຂຶ້ນຂອງສາງລະລາຍພື່ມຂຶ້ນ ຈະມີຕ້ວງກູດຄຸດສັບກູດຄຸດສັບຈົນອື່ມຕ້ວ

กลไกการคุดซับของฟรุนดิช คือ พื้นผิวนบนตัวคุดซับเป็นแบบวิชพันธ์ พื้นผิวไม่เป็นเนื้อเดียวกันตลอด การคุดซับจะไม่สามารถลบออกถึงปริมาณของตัวถูกคุดซับ เนื่องจากตัวถูกคุดซับสามารถเกิดการซ่อนทับกันได้ เมื่อตัวคุดซับถูกคุดซับไว้แล้ว จะเคลื่อนที่หรือเปลี่ยนตำแหน่งกันกับตัวถูกคุดซับอื่นบนพื้นผิวนบนตัวคุดซับได้ พื้นผิวตัวคุดซับจะถูกปกคลุมด้วยตัวถูกคุดซับมากขึ้น เมื่อความเข้มข้นของสารละลายเพิ่มขึ้น จนมีตัวถูกคุดซับถูกคุดซับอีกตัว

สมการ ไอโซเทอร์มการดูดซับฟอร์มัลดีไฮด์ของแลงเมียร์ด้วยไกโตไซนจากเปลือกถุง ดังแสดงในสมการที่ 9 ดังนี้

$$\frac{1}{q} = 41.143 \frac{1}{C} + 0.4881 \quad \dots \dots \dots (9)$$

จากสมการที่ 9 เมื่อเขียนกราฟระหว่าง $1/q$ กับ $1/C$ จะได้เส้นตรงที่มีความชันเท่ากับ 41.143 และจุดตัดบนแกนตั้ง เท่ากับ 0.4881 นั่นคือ

$$\frac{1}{q_m K} = 41.143$$

$$\frac{1}{q_m} = 0.4881$$

$$\text{คั่งน้ำ} \quad K = 2.0487$$

จากไอโซเทอร์มสมการการคัดซับของแลงเมิร์ พบว่า ค่า K มีค่ามากกว่า 1 แสดงว่าปริมาณตัวกูดคัดซับ ภูกคัดซับ ไว้ได้มากบนพื้นผิwtัวคัดซับของไฮโดรเจนจากเปลือกหิ่ง

สำหรับสมการการคูดซับฟอร์มลัดไอก์ด้วยไกโตชานจากเปลือกถุงของฟรุนดิชไอโซเทอร์ม ดังแสดงในสมการที่ 10 ดังนี้

$$\log q = -1.6231 + 0.9754 \log C \quad \dots \dots \dots \quad (10)$$

จากสมการที่ 10 เมื่อเขียนกราฟระหว่าง $\log q$ กับ $\log C$ จะได้เส้นตรงที่มีความชันเท่ากับ 0.9754 และจุดตัดบนแกนต์ซ เท่ากับ -1.6231 นั่นคือ

$$\log K = -1.6231 \quad \text{ดังนั้น } K = 0.02382$$

$$1/n = 0.9754$$

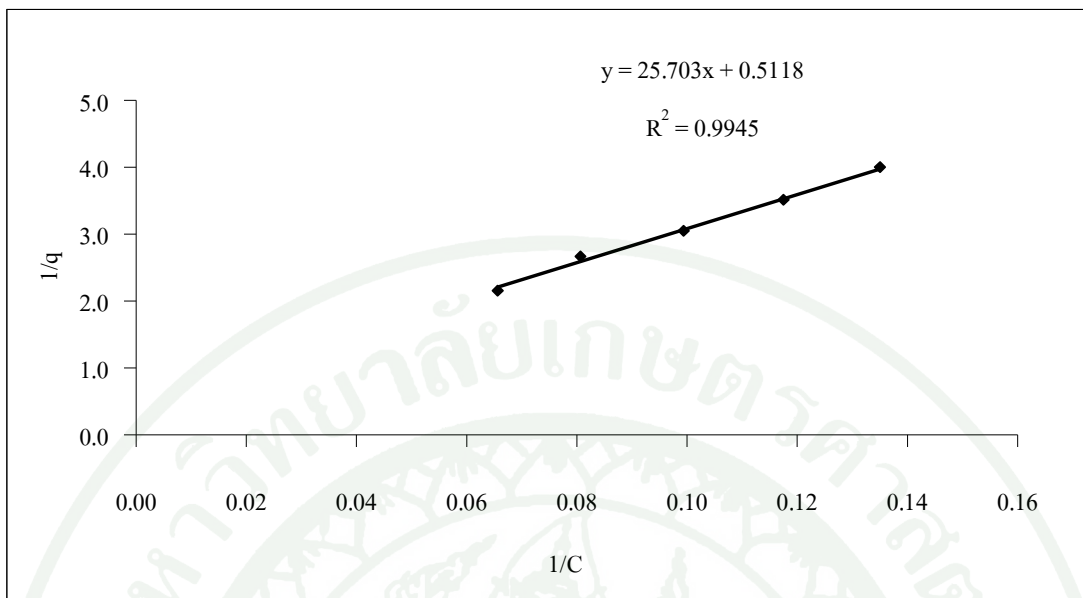
$$n = 1.0252$$

ไอโซเทอร์มจากสมการการคูดซับของฟรุนดิช พบร่วมกับ $k = 1/n$ มีค่าน้อยกว่า 1 แสดงถึงความสามารถของการคูดซับของตัวคูดซับจะถูกคูดซับได้น้อย หรือกล่าวได้ว่าบริเวณพื้นที่ผิวของตัวคูดซับมีปริมาณน้อยในการคูดซับ

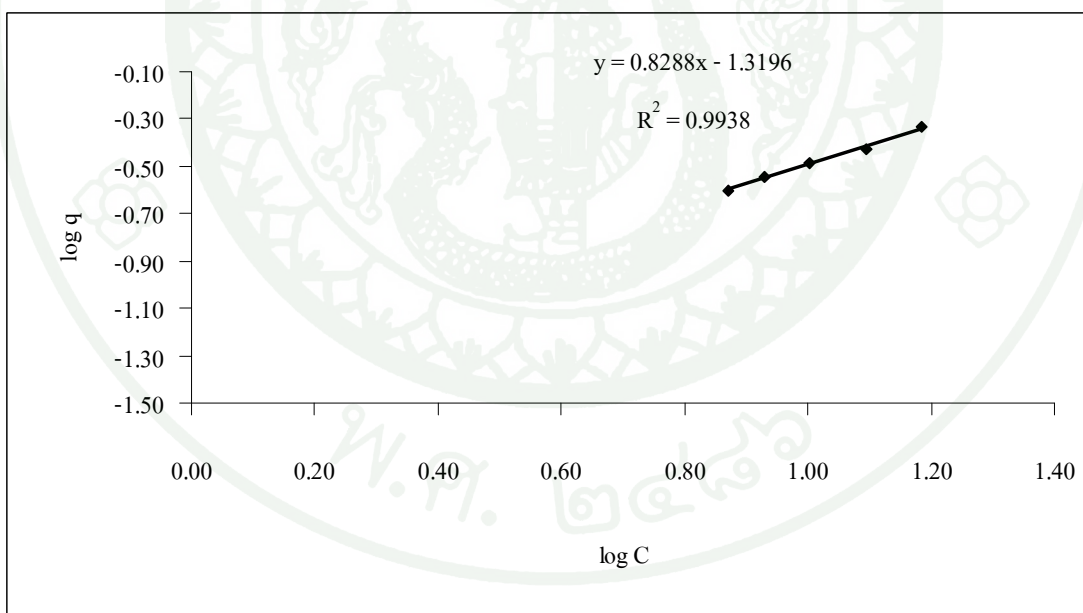
เมื่อพิจารณาจากภาพที่ 37 และ 38 แลงเมียร์และฟรุนดิชไฮโซเทอร์มการคูดซับฟอร์มล็อกไฮด์ ด้วยไฮโดรเจนจากเปลือกถุง พบว่า ผลของการคูดซับเป็นไปตามทั้งแลงเมียร์และฟรุนดิชไฮโซเทอร์ม เนื่องจากมีค่าสัมประสิทธิ์สหสัมพันธ์ใกล้เคียงกัน คือเท่ากับ 0.9764 และ 0.9752 ตามลำดับ แต่เมื่อพิจารณา ค่า K และ $1/n$ จากสมการการคูดซับของแลงเมียร์และฟรุนดิชจากสมการที่ 9 และ 10 ตามลำดับ พบว่า สมการการคูดซับของแลงเมียร์มีค่า K มากกว่า 1 และสมการการคูดซับของฟรุนดิชมีค่า K และ $1/n$ น้อย กว่า 1 และคงว่าลักษณะการคูดซับมีแนวโน้มเป็นแบบแลงเมียร์มากกว่าฟรุนดิช

4.2 ໄຄໂຕຈານເງິນພານີກີ

นำข้อมูลที่ได้จากการทดลองในข้อที่ 4 โดยใช้โคโตชานเชิงพาณิชย์มาเป็นไอโซเทอร์มของแอลเมียร์และฟรอนดิช ได้ข้อมูลดังแสดงในภาพที่ 39 และ 40 ตามลำดับ



ภาพที่ 39 ไอโซเทอร์มการดูดซับฟอร์มัลดีไฮด์ของแอลกอฮอล์เมียร์ด้วยไคลโตชานเชิงพาณิชย์



ภาพที่ 40 ไอโซเทอร์มการดูดซับฟอร์มัลดีไฮด์ของฟรุนดิชด้วยไคลโตชานเชิงพาณิชย์

จากผลการทดลอง พบว่า ไอโซเทอร์มการดูดซับของแลงเมียร์และฟรุนดิช มีค่าสัมประสิทธิ์สหสัมพันธ์ (R-square) ใน การดูดซับฟอร์มัลดีไฮด์ จากสารละลายน้ำตรฐานฟอร์มัลดีไฮด์เท่ากับ 0.9945 และ 0.9938 ตามลำดับ ซึ่งค่าทั้งสองนี้อยู่ในเกณฑ์ที่ยอมรับได้ ($0.9700-1.2000$) ดังนั้น การดูดซับฟอร์มัลดีไฮด์ จึงสอดคล้องทั้งแลงเมียร์และฟรุนดิช ไอโซเทอร์ม เนื่องจากมีค่าสัมประสิทธิ์สหสัมพันธ์ใกล้เคียงกัน

สมการ ไอโซเทอร์มการดูดซับฟอร์มัลดีไฮด์ของแลงเมียร์ด้วยไคโตซานเชิงพาณิชย์ ดังแสดงในสมการที่ 11 ดังนี้

จากสมการที่ 11 เมื่อเขียนกราฟระหว่าง $1/q$ กับ $1/C$ จะได้เส้นตรงที่มีความชันเท่ากับ -25.703 และจุดตัดบนแกนต์ซิ่ง เท่ากับ 0.5118 นั่นคือ

$$\frac{1}{q_m K} = 25.703$$

ไอโซเทอร์มสมการการคูดซับของเหลวเมียร์ พบว่า ค่า K มีค่ามากกว่า 1 แสดงว่าปริมาณตัวถูกคูดซับคูดซับไว้ได้มากบนพื้นผิwtัวคูดซับของไอโซไซานูเริ่งพาณิชย์

สำหรับสมการไอโซเทอร์มการคูดซับฟอร์มลิตไอก์ของฟรุนดิชด้วยไกโคตานเชิงพาณิชย์
ดังแสดงในสมการที่ 12 ดังนี้

จากสมการที่ 12 เมื่อเขียนกราฟระหว่าง $\log q$ กับ $\log C$ จะได้เส้นตรงที่มีความชันเท่ากับ 0.8288 และจุดตัดบนแกนตัว x เท่ากับ -1.3196 นั่นคือ

$$\begin{array}{lll} \log K & = & -1.3196 \\ 1/n & = & 0.8288 \\ n & = & 1.2065 \end{array}$$

ค่า $1/n$ มีค่าน้อยกว่า 1 แสดงถึงความสามารถในการดูดซับของตัวดูดซับจะถูกดูดซับได้น้อย หรือกล่าวได้ว่าบริเวณพื้นที่ผิวของตัวดูดซับมีปริมาณน้อยในการดูดซับ

เมื่อพิจารณาจากภาพที่ 39 และ 40 แลงเมียร์และฟรุนดิชไอโซเทอร์มการคุณซับฟอร์มัลดีไฮด์ ด้วยไก่โตชานเชิงพาณิชย์ พบว่า ผลของการคุณซับเป็นไปตามทิ้งแลงเมียร์และฟรุนดิชไอโซเทอร์ม เนื่องจากมีค่าสัมประสิทธิ์สหสัมพันธ์ใกล้เคียงกัน คือเท่ากับ 0.9945 และ 0.9938 ตามลำดับ แต่เมื่อพิจารณา ค่า K และ $1/n$ จากสมการการคุณซับของแลงเมียร์และฟรุนดิชจากสมการที่ 11 และ 12 ตามลำดับ พบว่า สมการการคุณซับของแลงเมียร์มีค่า K มากกว่า 1 และสมการการคุณซับของฟรุนดิชมีค่า K และ $1/n$ น้อย กว่า 1 แสดงว่าลักษณะการคุณซับมีแนวโน้มเป็นแบบแลงเมียร์มากกว่าฟรุนดิช

5. ประสิทธิภาพการคุณซับฟอร์มัลดีไฮด์ โดยทำการทดลองแบบวิธีการไอลต่อเนื่องโดยใช้ชุดเครื่องกรอง ประดิษฐ์

5.1 ไก่โตชานจากเปลือกถุง

จากการทดลองในข้อที่ 5 ใช้สารละลายน้ำตรฐานฟอร์มัลดีไฮด์เข้มข้น 6 มิลลิกรัมต่อลิตร ไอลผ่านชุดเครื่องกรองประดิษฐ์ที่ภายในระบบทอกการทิ้งน้ำไก่โตชานจากเปลือกถุงปริมาณ 60 กรัม โดยประเมินอัตราการไอลที่ 80, 120 และ 160 มิลลิลิตรต่อนาที เก็บตัวอย่างที่ผ่านการคุณซับทุกๆ 5 นาที ได้ผลการทดลองดังแสดงในตารางที่ 9

ตารางที่ 9 ความสัมพันธ์ระหว่างปริมาตรสารละลายน้ำตรฐานฟอร์มัลดีไฮด์ที่ไอลแบบต่อเนื่องกับร้อยละ ความเข้มข้นฟอร์มัลดีไฮด์ที่เหลือหลังการคุณซับด้วยไก่โตชานจากเปลือกถุงที่อัตราการไอล 80, 120 และ 160 มิลลิลิตรต่อนาที

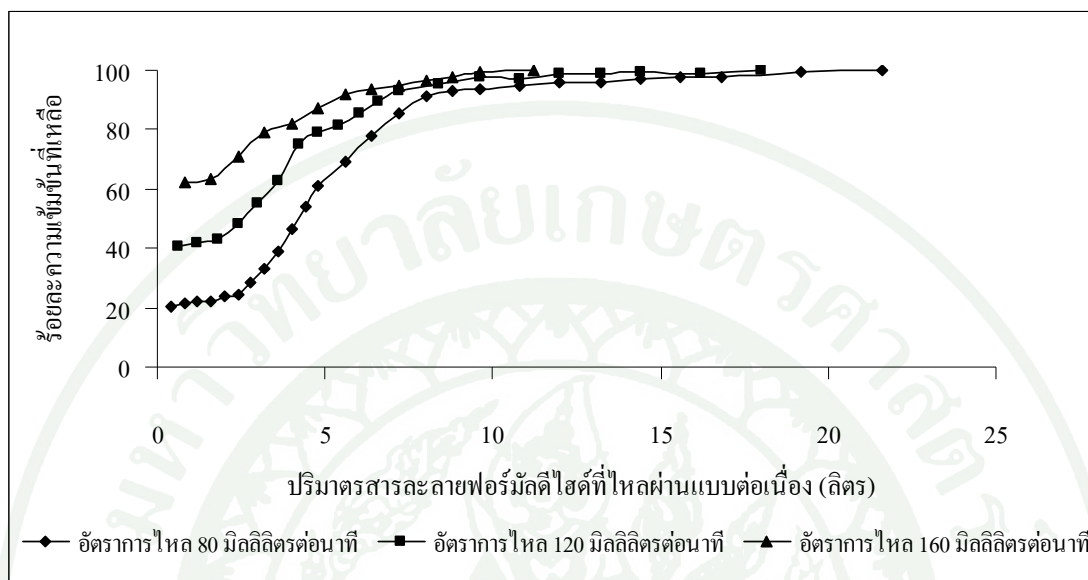
เวลา (นาที)	80 มิลลิลิตรต่อนาที			120 มิลลิลิตรต่อนาที			180 มิลลิลิตรต่อนาที		
	ปริมาตร สาร ละลายน้ำ (ลิตร)	ร้อยละ ความ เข้มข้น ที่ เหลือ		ปริมาตร สาร ละลายน้ำ (ลิตร)	ร้อยละ ความ เข้มข้น ที่เหลือ		ปริมาตร สาร ละลายน้ำ (ลิตร)	ร้อยละ ความ เข้มข้น ที่เหลือ	
		ปริมาตร สาร ละลายน้ำ (ลิตร)	ร้อยละ ความ เข้มข้น ที่ เหลือ		ปริมาตร สาร ละลายน้ำ (ลิตร)	ร้อยละ ความ เข้มข้น ที่เหลือ		ปริมาตร สาร ละลายน้ำ (ลิตร)	ร้อยละ ความ เข้มข้น ที่เหลือ
5	0.40	20.63	7.56	0.60	40.61	7.82	0.80	61.93	7.81
10	0.80	21.55	7.74	1.20	41.80	7.88	1.60	63.48	7.87
15	1.20	21.93	7.79	1.80	43.26	7.84	2.40	70.77	7.85
20	1.60	22.24	7.84	2.40	48.40	7.88	3.20	79.24	7.91
25	2.00	23.86	7.90	3.00	55.18	7.91	4.00	82.10	7.92
30	2.40	24.37	7.96	3.60	62.96	7.87	4.80	87.04	7.88
35	2.80	28.28	7.94	4.20	74.74	7.90	5.60	91.83	7.71

ตารางที่ 9 (ต่อ)

เวลา (นาที)	80 มิลลิลิตรต่อนาที			120 มิลลิลิตรต่อนาที			180 มิลลิลิตรต่อนาที		
	ปริมาตร	ร้อยละ	ปริมาตร	ร้อยละ	ปริมาตร	ร้อยละ			
	สาร ละลายน้ำ	ความ เข้มข้น	พีอช	สาร ละลายน้ำ	ความ เข้มข้น	พีอช	สาร ละลายน้ำ	ความ เข้มข้นที่	พีอช
	(ลิตร)	ที่เหลือ		(ลิตร)	ที่เหลือ		(ลิตร)	เหลือ	
40	3.20	33.13	7.94	4.80	78.79	7.89	6.40	93.32	7.77
45	3.60	39.24	7.94	5.40	81.20	7.90	7.20	94.81	7.75
50	4.00	46.39	8.00	6.00	85.66	7.98	8.00	96.30	7.77
55	4.40	53.85	8.07	6.60	89.39	7.89	8.80	97.79	7.78
60	4.80	61.31	8.11	7.20	93.17	7.88	9.60	99.28	7.76
70	5.60	69.39	8.17	8.40	95.22	7.85	11.20	100.00	7.77
80	6.40	77.85	7.99	9.60	97.95	7.90	-	-	-
90	7.20	85.23	7.85	10.80	97.27	7.90	-	-	-
100	8.00	91.48	8.11	12.00	98.63	7.82	-	-	-
110	8.80	92.79	8.15	13.20	98.63	7.86	-	-	-
120	9.60	93.46	8.22	14.40	99.32	7.88	-	-	-
135	10.80	94.90	7.28	16.20	98.63	7.86	-	-	-
150	12.00	95.85	7.28	18.00	100.00	7.87	-	-	-
165	13.20	96.00	7.44	-	-	-	-	-	-
180	14.40	97.23	7.84	-	-	-	-	-	-
195	15.60	97.92	7.90	-	-	-	-	-	-
210	16.80	97.92	7.96	-	-	-	-	-	-
240	19.20	99.31	7.94	-	-	-	-	-	-
270	21.60	100.00	7.94	-	-	-	-	-	-

เมื่อสร้างกราฟระหว่างปริมาตรสารละลายน้ำต่ำสุดฟอร์มัลดีไซด์ที่ไหลผ่านแบบต่อเนื่องกับร้อยละความเข้มข้นฟอร์มัลดีไซด์ที่เหลือหลังการดูดซับด้วยไคโตซานจากเปลือกถุงที่อัตราการไหล 80, 120 และ 160 มิลลิลิตรต่อนาที ดังภาพที่ 41 พบว่าประสิทธิภาพการดูดซับฟอร์มัลดีไซด์ลดลงเมื่ออัตราการไหลเพิ่มขึ้น โดยไคโตซานจากเปลือกถุงเริ่มหมดสภาพเมื่อปล่อยให้สารละลายน้ำต่ำสุดฟอร์มัลดีไซด์ไหลผ่านไปที่ปริมาตร 2.40, 1.80 และ 1.60 ลิตร ด้วยอัตราเร็ว 80, 120 และ 160 มิลลิลิตร

ต่อนาที ตามลำดับ และไกโตกาชานจากเปลือกถุงหมวดสภาพการคุณภาพฟอร์มัลดีไซด์เมื่อปริมาตรสารละลายฟอร์มัลดีไซด์ไหลผ่านเท่ากับ 8.80, 7.20 และ 5.60 ลิตร ตามลำดับ



ภาพที่ 41 ความสัมพันธ์ระหว่างปริมาตรสารละลายมาตรฐานฟอร์มัลดีไซด์ที่ไหลผ่านแบบต่อเนื่องกับร้อยละความเข้มข้นฟอร์มัลดีไซด์ที่เหลือหลังการคุณภาพด้วยไกโตกาชานจากเปลือกถุงที่อัตราการไหล 80, 120 และ 160 มิลลิลิตรต่อนาที

5.2 ไกโตกาชานเชิงพาณิชย์

จากการทดลองในข้อที่ 5 ปล่อยสารละลายมาตรฐานฟอร์มัลดีไซด์เข้มข้น 11 มิลลิกรัมต่อลิตร ไหลผ่านชุดเครื่องกรองประดิษฐ์ที่ภายในกระบวนการทิริดจ์บรรจุไกโตกาชานเชิงพาณิชย์ ปริมาณ 60 กรัม โดยแบ่งผนังอัตราการไหลที่ 80, 120 และ 160 มิลลิลิตรต่อนาที เก็บตัวอย่างที่ผ่านการคุณภาพทุกๆ 5 นาที แสดงในตารางที่ 10

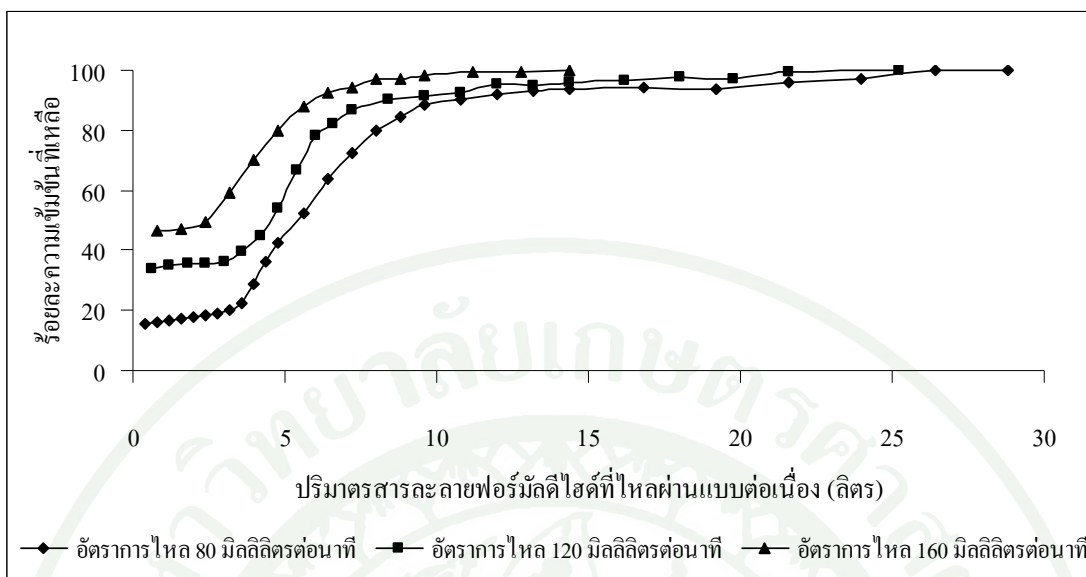
ตารางที่ 10 ความสัมพันธ์ระหว่างปริมาตรสารละลายน้ำฟอร์มัลดีไฮด์ที่ไหลแบบต่อเนื่องกับร้อยละความเข้มข้นฟอร์มัลดีไฮด์ที่เหลือหลังการดูดซับด้วยไคโตไซน์ชิ้งพาณิชย์ที่อัตราการไหล 80, 120 และ 160 มิลลิลิตรต่อนาที

เวลา (นาที)	80 มิลลิลิตรต่อนาที			120 มิลลิลิตรต่อนาที			180 มิลลิลิตรต่อนาที		
	ปริมาตร สาร ละลายน้ำ	ร้อยละ ความ เข้มข้น	พีเอช	ปริมาตร สาร ละลายน้ำ	ร้อยละ ความ เข้มข้น	พีเอช	ปริมาตร สาร ละลายน้ำ	ร้อยละ ความ เข้มข้นที่ เหลือ	พีเอช
	(ลิตร)	ที่เหลือ		(ลิตร)	ที่เหลือ		(ลิตร)		
5	0.40	15.73	8.30	0.60	33.85	8.00	46.35	46.35	8.05
10	0.80	16.04	8.32	1.20	34.94	8.20	62.13	47.13	8.09
15	1.20	16.75	8.32	1.80	35.40	8.27	70.41	49.34	8.19
20	1.60	17.48	8.31	2.40	35.75	8.38	78.93	58.93	8.26
25	2.00	17.98	8.41	3.00	36.38	8.42	82.22	70.22	8.36
30	2.40	18.14	8.50	3.60	39.90	8.46	84.77	79.77	8.44
35	2.80	18.69	8.55	4.20	45.03	8.39	5.60	88.14	8.36
40	3.20	19.91	8.23	4.80	53.77	8.45	6.40	92.29	8.45
45	3.60	22.18	8.23	5.40	66.91	8.43	7.20	94.26	8.48
50	4.00	28.94	8.44	6.00	78.04	8.42	8.00	96.84	8.54
55	4.40	36.10	8.41	6.60	81.98	8.38	8.80	97.13	8.45
60	4.80	42.68	8.43	7.20	87.03	8.40	9.60	98.42	8.39
70	5.60	52.20	8.54	8.40	90.04	8.37	11.20	99.61	8.45
80	6.40	63.54	8.55	9.60	91.61	8.38	12.80	99.61	7.99
90	7.20	72.30	8.71	10.80	92.56	7.81	14.40	100.00	8.15
100	8.00	80.06	8.69	12.00	95.13	7.16	-	-	-
110	8.80	84.22	8.07	13.20	94.91	7.91	-	-	-
120	9.60	88.56	8.27	14.40	96.09	7.85	-	-	-
135	10.80	89.95	8.37	16.20	96.48	7.92	-	-	-
150	12.00	92.11	8.35	18.00	97.65	7.71	-	-	-
165	13.20	93.29	8.37	19.80	97.26	7.27	-	-	-
180	14.40	93.69	8.52	21.60	99.61	7.37	-	-	-
210	16.80	94.48	8.59	25.20	100.00	7.06	-	-	-
240	19.20	93.83	8.57	-	-	-	-	-	-

ตารางที่ 10 (ต่อ)

เวลา (นาที)	80 มิลลิตรต่อนาที			120 มิลลิตรต่อนาที			180 มิลลิตรต่อนาที		
	ปริมาตร สาร ละลายน้ำ (ลิตร)	ร้อยละ ความ เข้มข้น ที่เหลือ	ปริมาตร สาร ละลายน้ำ (ลิตร)	ร้อยละ ความ เข้มข้น ที่เหลือ	ปริมาตร สาร ละลายน้ำ (ลิตร)	ร้อยละ ความ เข้มข้น ที่เหลือ	ปริมาตร สาร ละลายน้ำ (ลิตร)	ร้อยละ ความ เข้มข้น ที่เหลือ	พีอีช
	พีอีช	พีอีช	พีอีช	พีอีช	พีอีช	พีอีช	พีอีช	พีอีช	พีอีช
270	21.60	95.88	8.58	-	-	-	-	-	-
300	24.00	97.25	8.58	-	-	-	-	-	-
330	26.40	99.98	8.63	-	-	-	-	-	-
360	28.80	100.00	8.71	-	-	-	-	-	-

เมื่อสร้างกราฟระหว่างปริมาตรสารละลายน้ำฟอร์มัลดีไซด์ที่ไหลผ่านแบบต่อเนื่องกับร้อยละความเข้มข้นฟอร์มัลดีไซด์ที่เหลือหลังการดูดซับด้วยไคโตซานเชิงพาณิชย์ที่อัตราการไหล 80, 120 และ 160 มิลลิตรต่อนาที ดังภาพที่ 42 พบว่าประสิทธิภาพการดูดซับฟอร์มัลดีไซด์ลดลงเมื่ออัตราการไหลเพิ่มขึ้น ไคโตซานเชิงพาณิชย์เริ่มหมดสภาพเมื่อปล่อยให้สารละลายน้ำฟอร์มัลดีไซด์ไหลผ่านไปที่ปริมาตร 3.20, 3.00 และ 2.40 ลิตร ด้วยอัตราเร็ว 80, 120 และ 160 มิลลิตรต่อนาทีตามลำดับ และไคโตซานเชิงพาณิชย์หมดสภาพการดูดซับฟอร์มัลดีไซด์เมื่อปริมาตรสารละลายน้ำฟอร์มัลดีไซด์ไหลผ่านเท่ากับ 9.60, 8.40 และ 7.20 ลิตร ตามลำดับ



ภาพที่ 42 ความสัมพันธ์ระหว่างปริมาตรสารละลายน้ำฟอร์มัลดีไฮด์ที่ใส่ผ่านแบบต่อเนื่องกับร้อยละความเข้มข้นฟอร์มัลดีไฮด์ที่เหลือหลังการคุณซับด้วยไกโตกานเชิงพาณิชย์ที่อัตราการไฮด์รอก 80, 120 และ 160 มิลลิลิตรต่อนาที

6. ศึกษาการพื้นฟูสภาพของไกโตกานจากเปลือกหุ้งและไกโตกานเชิงพาณิชย์หลังผ่านการใช้งาน

จากการทดลองที่ 6 พบว่า ไกโตกานจากเปลือกหุ้งและไกโตกานเชิงพาณิชย์มีประสิทธิภาพการคุณซับฟอร์มัลดีไฮด์ลดลงตามจำนวนครั้งของการพื้นฟูเมื่อเทียบกับการใช้งานครั้งแรก โดยพบว่าการใช้งานครั้งแรก ประสิทธิภาพการคุณซับฟอร์มัลดีไฮด์จะมากที่สุด สามารถคุณซับฟอร์มัลดีไฮด์ได้ร้อยละ 48.34 และ 53.10 ตามลำดับ เมื่อพื้นฟูสภาพการใช้งานแล้วไกโตกานทั้งสองชนิดมีประสิทธิภาพการคุณซับฟอร์มัลดีไฮด์ลดลงตามลำดับ ดังตารางที่ 11

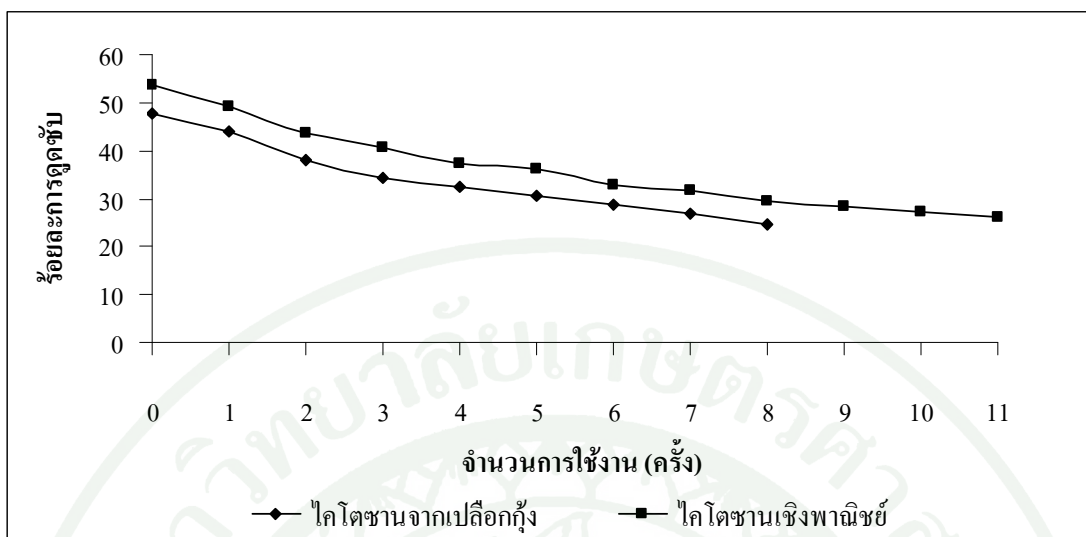
ตารางที่ 11 ประสิทธิภาพการคุณซับฟอร์มัลดีไฮด์ด้วยไกโตกานจากเปลือกหุ้งและไกโตกานเชิงพาณิชย์หลังผ่านการใช้งาน

ชนิดของตัวคุณซับ	ร้อยละการคุณซับ			
	ใช้งานครั้งแรก	พื้นฟูครั้งที่ 1	พื้นฟูครั้งที่ 2	พื้นฟูครั้งที่ 3
ไกโตกานจากเปลือกหุ้ง	48.34	43.83	38.11	34.30
ไกโตกานเชิงพาณิชย์	53.10	49.19	43.73	40.45

สำหรับอายุการใช้งานของไก่โตชาจากเปลือกถุงและไก่โตชาเชิงพาณิชย์ เมื่อพิจารณาจากจำนวนครั้งที่ใช้ในการคุณซับสารละลายน้ำฟอร์มัลดีไฮด์ จนกระทั่งประสิทธิภาพการคุณซับลดลง ครึ่งหนึ่งจากประสิทธิภาพการคุณซับฟอร์มัลดีไฮด์ครั้งแรก พบว่า อายุการใช้งานของไก่โตชาทั้งสองชนิดในการคุณซับฟอร์มัลดีไฮด์จะมีอายุการใช้งานลดลง เมื่อจำนวนครั้งการใช้งานมากขึ้น โดยพบว่า การใช้งานไก่โตชาจากเปลือกถุงและไก่โตชาเชิงพาณิชย์ในการคุณซับฟอร์มัลดีไฮด์ 8 และ 11 ครั้ง ตามลำดับ จะมีประสิทธิภาพการคุณซับฟอร์มัลดีไฮด์ลดลงครึ่งหนึ่งจากประสิทธิภาพการคุณซับฟอร์มัลดีไฮด์ครั้งแรก คือ สามารถคุณซับฟอร์มัลดีไฮด์ได้ร้อยละ 24.77 จากร้อยละ 48.34 และร้อยละ 26.24 จากร้อยละ 53.10 ดังตารางที่ 12 และภาพที่ 43

ตารางที่ 12 ประสิทธิภาพการคุณซับฟอร์มัลดีไฮด์ด้วยไก่โตชาจากเปลือกถุงและไก่โตชาเชิงพาณิชย์ หลังผ่านการใช้งาน

จำนวน ครั้งการ พื้นที่	ร้อยละการคุณซับ		ร้อยละความเข้มข้นที่เหลือ	
	ไก่โตชาจาก เปลือกถุง	ไก่โตชาเชิง พาณิชย์	ไก่โตชาจาก เปลือกถุง	ไก่โตชาเชิง พาณิชย์
เริ่มต้น	48.34	53.10	51.66	46.90
1	43.83	49.19	56.17	50.81
2	38.11	43.73	61.89	56.27
3	34.30	40.45	65.70	59.55
4	32.39	37.17	67.61	62.83
5	30.49	36.07	69.51	63.93
6	28.58	32.79	71.42	67.21
7	26.68	31.70	73.32	68.30
8	24.77	29.51	75.23	70.49
9	-	28.42	-	71.58
10	-	27.33	-	72.67
11	-	26.24	-	73.76



ภาพที่ 43 ประสิทธิภาพการดูดซับฟอร์มัลไดไฮเดรตด้วยไก่โตชานจากเปลือกหุ้งและไก่โตชานเชิงพาณิชย์หลังผ่านการใช้งาน

7. ผลการวิเคราะห์ดัชนีคุณภาพน้ำทิ้ง จากบริษัท ทีโอซี ไกลคอล จำกัด จังหวัดระยอง

จากการทดลองในข้อที่ 6 นำน้ำทิ้งที่เก็บจากท่อระบายน้ำทิ้งของบริษัท ทีโอซี ไกลคอล จำกัด จังหวัดระยองที่มีฟอร์มัลไดไฮเดรตเป็น 4 จุด ได้แก่ จุดที่ 1 (G970), จุดที่ 2 (F1801A), จุดที่ 3 (F1801B) และ จุดที่ 4 (F1801C) มาทำการวิเคราะห์คุณภาพน้ำ ได้แก่ พิอีช, ของแข็งทั้งหมดที่ละลายน้ำ (TDS), ของแข็งแขวนลอย (SS), ซีไอดี (COD), บีไอดี (BOD), ไขมันและน้ำมัน เป็นต้น ได้ผลการทดลองดังตารางที่ 13

ตารางที่ 13 ผลการวิเคราะห์คุณภาพน้ำทิ้งจากบริษัท ทีโอซี ไกลคอล จำกัด

พารามิเตอร์ (G970)	จุดที่ 1 (F1801A)	จุดที่ 2 (F1801B)	จุดที่ 3 (F1801C)	จุดที่ 4 (F1801C)	ค่ามาตรฐานนำทิ้งโรงงาน อุตสาหกรรม และนิคม
					อุตสาหกรรม
pH	5.80	6.70	6.80	7.1	5.5-9.0
HCHO (mg/l)	13.00	4.30	3.40	1.15	ไม่เกิน 1.0 มิลลิกรัมต่อลิตร
TDS (mg/l)	532	407	350	324	ไม่เกิน 3,000 มิลลิกรัมต่อลิตร
SS (mg/l)	55	49	44	36	ไม่เกิน 50 มิลลิกรัมต่อลิตร
TS (mg/l)	587	456	394	360	ไม่ได้กำหนด
Oil & Grease (mg/l)	1.98	1.64	1.26	1.37	ไม่เกิน 5.0 มิลลิกรัมต่อลิตร
BOD (mg/l)	181.50	165.75	-	-	ไม่เกิน 20 มิลลิกรัมต่อลิตร
COD (mg/l)	960	960	640	1,280	ไม่เกิน 120 มิลลิกรัมต่อลิตร

ผลการวิเคราะห์คุณภาพน้ำทิ้งจากบริษัท ทีโอซี ไกลคอล จำกัด โดยเปรียบเทียบกับค่ามาตรฐานนำทิ้งโรงงานอุตสาหกรรม และนิคมอุตสาหกรรม พบว่า พารามิเตอร์ที่มีค่าไม่เกินมาตรฐานดังกล่าวได้แก่ ค่าพีเอช, ของแข็งแขวนทั้งหมดที่ละลายน้ำ (TDS), ของแข็งแขวนลอย (SS), ไขมันและน้ำมัน ส่วนพารามิเตอร์ที่มีค่าเกินมาตรฐาน ได้แก่ ฟอร์มัลดีไฮด์ (HCHO), บีโอดี และซีโอดี

8. ศึกษาประสิทธิภาพการดูดซับฟอร์มัลดีไฮด์ในน้ำทิ้งจากจุด 1 (G970) และ จุด 2 (F1801A) ด้วยไอโคโตชานจากเปลือกถุงและไอโคโตชานเชิงพาณิชย์ ชนิดละ 3 ชิ้น โดยทำการทดลองแบบแบ่งชั้น

1) ไอโคโตชานจากเปลือกถุง

จากการทดลองในข้อที่ 7.3 โดยใช้ไอโคโตชานจากเปลือกถุงปริมาณ 5 กรัม และน้ำเสียจากจุด 1 (G970) และ จุด 2 (F1801A) ปริมาตรร้อยละ 100 มิลลิลิตร ลงในภาชนะขนาด 250 มิลลิลิตร ปรับสภาพที่เหมาะสมที่ได้จากการทดลองแบบชั้นได้ผลการทดลองดังนี้

ผลการทดลองปริมาณฟอร์มัลดีไฮด์ที่จุดเก็บน้ำที่ 1 (G970) และจุดเก็บน้ำที่ 2 (F1801A) มีปริมาณฟอร์มัลดีไฮด์ก่อนดูดซับเท่ากับ 13.0 และ 4.30 มิลลิกรัมต่อลิตรตามลำดับ โดยเทียบกับกราฟ

มาตรฐานฟอร์มัลดีไฮด์ของสมการเส้นตรง ($y = 0.0665x + 0.0037$) ดังแสดงในภาคผนวกที่ 17 หลังผ่านการคุณซับด้วยสภาวะที่เหมาะสมโดยวิธีแบบแบตช์ พบว่า ไก่โตชานจากเปลือกถุงสามารถคุณซับฟอร์มัลดีไฮด์จากจุดเก็บน้ำทั้ง 2 จุดได้เท่ากับร้อยละ 90.02 และ 95.47 ตามลำดับ ดังแสดงในตารางที่ 14

ตารางที่ 14 การคุณซับฟอร์มัลดีไฮด์ในน้ำทึบจากท่อจุด 1 (G970) และ จุด 2 (F1801A) ด้วยไก่โตชานจากเปลือกถุง โดยการทำลองแบบแบตช์

จุดเก็บน้ำเสีย	ปริมาณฟอร์มัลดีไฮด์ (มิลลิกรัมต่อลิตร)		ร้อยละการคุณซับ
	ก่อนคุณซับ	หลังคุณซับ	
จุดที่ 1 ในท่อ (G970)	13.00	1.30	90.02
จุดที่ 2 ในบ่อ (F1801A)	4.30	0.19	95.47

นอกจากนี้ผลการวิเคราะห์คุณภาพน้ำหลังทำการทดลองการคุณซับฟอร์มัลดีไฮด์ด้วยไก่โตชานจากเปลือกถุงในสภาวะที่เหมาะสมที่ศึกษาได้ด้วยวิธีแบบแบตช์หลังการคุณซับด้วยไก่โตชานจากเปลือกถุง พบว่า ทำให้น้ำทึบมีสภาพความเป็นกรดดูลง และค่าของแข็งแurenium (SS), ของแข็งทั้งหมดที่ละลายน้ำ (TDS), ซีโอดี ไขมันและน้ำมัน มีปริมาณลดลงอีกด้วย ดังตารางที่ 15

ตารางที่ 15 คุณภาพน้ำเสียจากการคุณซับฟอร์มัลดีไฮด์ในน้ำทึบจากท่อจุด 1 (G970) และ จุด 2 (F1801A) หลังการคุณซับด้วยไก่โตชานจากเปลือกถุงโดยทำการทดลองแบบแบตช์

พารามิเตอร์	จุดที่ 1 (G970)			จุดที่ 2 (F1801A)		
	ก่อน	หลัง	ร้อยละ	ก่อน	หลัง	ร้อยละ
	คุณซับ	คุณซับ	การคุณซับ	คุณซับ	คุณซับ	การคุณซับ
pH	5.80	6.81	-	6.70	6.94	-
TDS (mg/l)	532	304	42.85	407	295	27.51
SS (mg/l)	55	13	76.36	49	11	77.55
COD (mg/l)	960	320	66.66	960	192	80.00
Oil&Grease	1.98	0.0017	99.91	1.64	0.0021	99.92

2) ไอโคไซด์เชิงพาณิชย์

จากการทดลองในข้อที่ 7.3 โดยใช้ไอโคไซด์เชิงพาณิชย์ปริมาณ 3 กรัม และน้ำเสียจากจุด 1 (G970) และ จุด 2 (F1801A) ปริมาตรจุดละ 100 มิลลิลิตร ลงในภาชนะปกรวบขนาด 250 มิลลิลิตร ปรับสภาพที่เหมาะสมที่ได้จากการทดลองแบบตัวอย่าง ได้ผลการทดลองดังนี้

ผลการทดลองปริมาณฟอร์มัลดีไฮด์ที่จุดเก็บน้ำที่ 1 (G970) และจุดเก็บน้ำที่ 2 (F1801A) มีปริมาณฟอร์มัลดีไฮด์ก่อนดูดซับเท่ากับ 13.0 และ 4.30 มิลลิกรัมต่อลิตร ตามลำดับ โดยเทียบกับกราฟมาตรฐานฟอร์มัลดีไฮด์ ($y = 0.0665x + 0.0037$) ดังแสดงในภาคผนวกที่ 17 หลังผ่านการดูดซับด้วยสภาวะที่เหมาะสมโดยวิธีแบบตัวอย่าง พบว่า ไอโคไซด์เชิงพาณิชย์สามารถดูดซับฟอร์มัลดีไฮด์จากจุดเก็บน้ำทั้ง 2 จุดได้เท่ากับร้อยละ 93.49 และ 97.80 ตามลำดับ ดังแสดงในตารางที่ 16

ตารางที่ 16 การดูดซับฟอร์มัลดีไฮด์ในน้ำทึบจากห่อจุด 1 (G970) และ จุด 2 (F1801A) จังหวัดระยองด้วยไอโคไซด์เชิงพาณิชย์ โดยทำการทดลองแบบตัวอย่าง

จุดเก็บน้ำเสีย	ปริมาณฟอร์มัลดีไฮด์ (มิลลิกรัมต่อลิตร)		ร้อยละการดูดซับ
	ก่อนดูดซับ	หลังดูดซับ	
จุดที่ 1 ในห่อ (G970)	13.00	0.85	93.49
จุดที่ 2 ในบ่อ (F1801A)	4.30	0.09	97.80

นอกจากนี้ผลการวิเคราะห์คุณภาพน้ำหลังทำการทดลองการดูดซับฟอร์มัลดีไฮด์ด้วยไอโคไซด์เชิงพาณิชย์ในสภาวะที่เหมาะสมที่ศึกษาได้ด้วยวิธีแบบตัวอย่าง หลังการดูดซับด้วยไอโคไซด์เชิงพาณิชย์พบว่า ทำให้น้ำทึบมีสภาพความเป็นกรดลดลง และค่าของแข็งแขวนลอย (SS), ของแข็งทึบหมุดที่ละลายน้ำ (TDS), ซีโอดี ไขมันและน้ำมัน มีปริมาณลดลงอีกด้วย ดังตารางที่ 17

ตารางที่ 17 คุณภาพน้ำเสียจากการคัดซับฟอร์มัลดีไฮด์ในน้ำทิ้งจากท่อจุด 1 (G970) และ จุด 2 (F1801A) หลังการคัดซับด้วยไกโตชานเชิงพาณิชย์ โดยทำการทดลองแบบแบบตช์

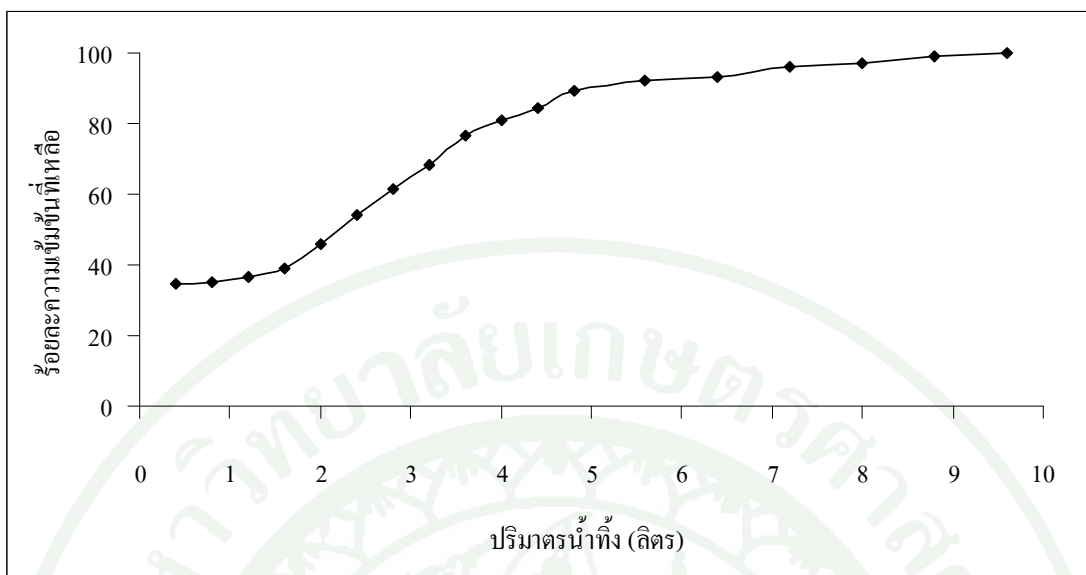
พารามิเตอร์	จุดที่ 1 (G970)			จุดที่ 2 (F1801A)		
	ก่อน	หลัง	ร้อยละ	ก่อน	หลัง	ร้อยละการ
	คุณซับ	คุณซับ	การคุณซับ	คุณซับ	คุณซับ	คุณซับ
pH	5.80	7.12	-	6.70	7.25	-
TDS (mg/l)	532	292	45.11	407	283	30.46
SS (mg/l)	55	12	78.18	49	10	79.59
COD (mg/l)	960	320	66.66	960	224	76.66
Oil&Grease	1.98	0.0023	99.88	1.64	0.0028	99.82

9. ศึกษาคุณภาพน้ำทิ้งจากจุด 1 (G970) และ จุด 2 (F1801A) บริษัท ทีโอซี ไกลคอล จำกัด ด้วยไกโตชาน จากเปลือกถุงและไกโตชานเชิงพาณิชย์ โดยทำการทดลองแบบคลอสัมบ์ต่อเนื่องด้วยชุดเครื่องกรองประดิษฐ์

1) ไกโตชานจากเปลือกถุง

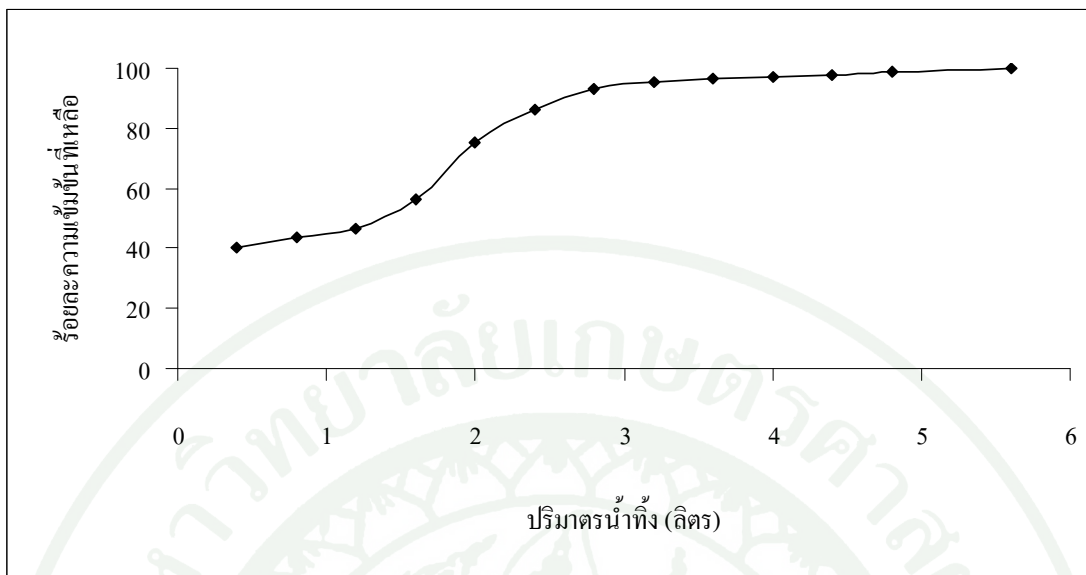
ทดลองโดยใช้น้ำทิ้งจากบริษัท ทีโอซี ไกลคอล จำกัด 2 จุด กึ่ง จุดเก็บที่ 1 ในท่อ (G970) และ จุดเก็บที่ 2 ในบ่อ (F1801A) ปล่อยไหลผ่านชุดเครื่องกรองประดิษฐ์ที่บรรจุไกโตชานจากเปลือกถุง ปริมาณ 60 กรัม ที่อัตราการไหล 80 มิลลิลิตรต่อนาที ซึ่งเป็นอัตราการไหลที่มีประสิทธิภาพการคัดซับฟอร์มัลดีไฮด์ที่ดีที่สุด จากนั้นเก็บน้ำทิ้งที่ผ่านการคัดซับทุกๆ 5 นาที ได้มีผลการทดลองดังนี้

จากผลการทดลอง พบร่วมน้ำทิ้งที่จุดเก็บที่ 1 ในท่อ (G970) ที่บรรจุไกโตชานจากเปลือกถุง ประสิทธิภาพการคัดซับฟอร์มัลดีไฮด์จะมีค่าลดลงเมื่ออัตราการไหลเพิ่มขึ้น โดยไกโตชานจากเปลือกถุง เริ่มหมดสภาพเมื่อปล่อยให้สารละลายฟอร์มัลดีไฮด์ไหลผ่านไปที่ปริมาตร 1.60 ลิตร ด้วยอัตราเร็ว 80 มิลลิลิตรต่อนาที และหมดสภาพการคัดซับฟอร์มัลดีไฮด์เมื่อปริมาตรสารละลายฟอร์มัลดีไฮด์ไหลผ่านเท่ากับ 4.80 ลิตร ดังภาพที่ 44



ภาพที่ 44 ความสัมพันธ์ระหว่างร้อยละความเข้มข้นฟอร์มัลดีไฮด์ในน้ำทึ้งจากบริษัท ทีไอซี ไกลคอล จำกัด ที่จุดเก็บที่ 1 ในท่อ (G970) กับปริมาตรน้ำทึ้งหลังการดูดซับด้วยไกโคตชานจากเปลือกถุงแบบคลอดันต์ต่อเนื่อง

ผลการทดลอง พบว่า น้ำทึ้งที่จุดเก็บที่ 2 ในท่อ (F1801A) ที่บรรจุไกโคตชานจากเปลือกถุง ประสิทธิภาพการดูดซับฟอร์มัลดีไฮด์จะมีค่าลดลงเมื่ออัตราการไหลเพิ่มขึ้น โดยไกโคตชานจากเปลือกถุงเริ่มหมดสภาพเมื่อปล่อยให้สารละลายฟอร์มัลดีไฮด์ไหลผ่านไปที่ปริมาตร 1.20 ลิตร ด้วยอัตราเร็ว 80 มิลลิลิตรต่อนาที และหมดสภาพการดูดซับฟอร์มัลดีไฮด์เมื่อปริมาตรสารละลายฟอร์มัลดีไฮด์ไหลผ่านเท่ากับ 2.80 ลิตร ดังภาพที่ 45

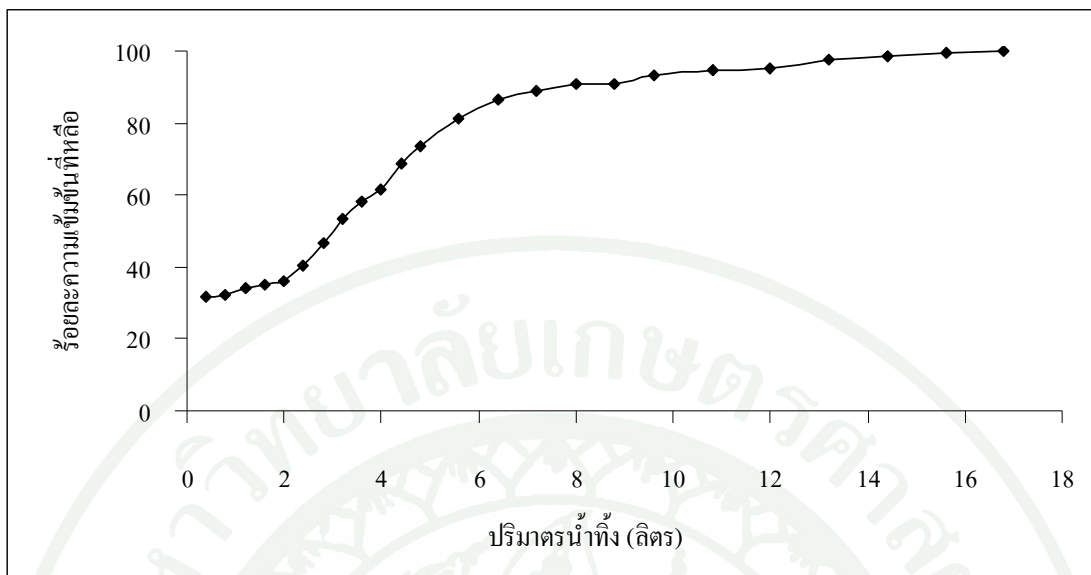


ภาพที่ 45 ความสัมพันธ์ระหว่างร้อยละความเข้มข้นฟอร์มัลดีไฮด์ในน้ำทึ้งจากบริษัท ทีโอซี ไกลคอล จำกัด ที่จุดเก็บที่ 2 ในท่อ (F1801A) กับปริมาตรน้ำทึ้งหลังการดูดซับด้วยไคโตซานจากเปลือกถุงแบบคลุมนต่อเนื่อง

2) ไคโตซานเชิงพาณิชย์

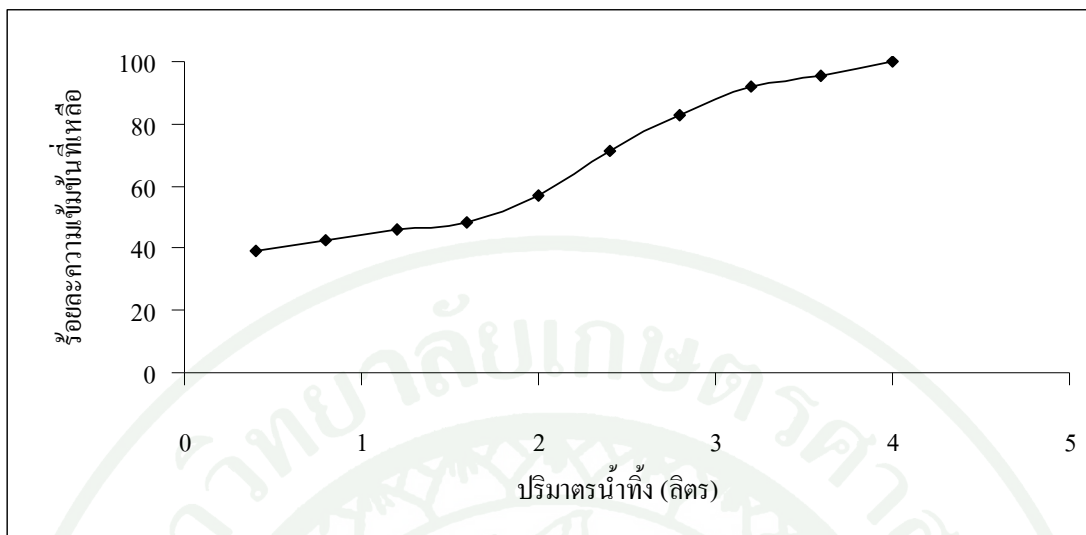
ทดลองโดยใช้น้ำทึ้งจากบริษัท ทีโอซี ไกลคอล จำกัด 2 จุด คือ จุดเก็บที่ 1 ในท่อ (G970) และจุดเก็บที่ 2 ในบ่อ (F1801A) ปล่อยไหลผ่านชุดเครื่องกรองประดิษฐ์ที่บรรจุไคโตซานเชิงพาณิชย์ ปริมาณ 60 กรัม ที่อัตราการไหล 80 มิลลิลิตรต่อนาที ซึ่งเป็นอัตราการไหลที่มีประสิทธิภาพการดูดซับฟอร์มัลดีไฮด์ที่ดีที่สุด จากนั้นเก็บน้ำทึ้งที่ผ่านการดูดซับทุกๆ 5 นาที ได้มีผลการทดลองดังนี้

จากผลการทดลอง พบร่วมน้ำทึ้งที่จุดเก็บที่ 1 ในท่อ (G970) ที่บรรจุไคโตซานเชิงพาณิชย์ ประสิทธิภาพการดูดซับฟอร์มัลดีไฮด์จะมีค่าลดลงเมื่ออัตราการไหลเพิ่มขึ้น โดยไคโตซานเชิงพาณิชย์เริ่มหมดสภาพเมื่อปล่อยให้สารละลายน้ำฟอร์มัลดีไฮด์ไหลผ่านไปที่ปริมาตร 2.00 ลิตร ด้วยอัตราเร็ว 80 มิลลิลิตรต่อนาทีและหมดสภาพการดูดซับฟอร์มัลดีไฮด์เมื่อปริมาตรสารละลายน้ำฟอร์มัลดีไฮด์ไหลผ่านเท่ากับ 8.00 ลิตร ดังภาพที่ 46



ภาพที่ 46 ความสัมพันธ์ระหว่างร้อยละความชื้นที่หล่อในน้ำทิ้งจากบริษัท ทีโอซี ไกลคอล จำกัด ที่จุดเก็บที่ 1 ในท่อ (G970) กับปริมาตรน้ำทิ้งหลังการดูดซับด้วยไกโคตชานเชิงพาณิชย์แบบคลุมน์ต่อเนื่อง

ผลการทดลอง พบว่า น้ำทิ้งที่จุดเก็บที่ 2 ในท่อ (F1801A) ที่บรรจุไกโคตชานเชิงพาณิชย์ ประสิทธิภาพการดูดซับฟอร์มัลดีไฮด์จะมีค่าลดลงเมื่ออัตราการไหลเพิ่มขึ้น โดยไกโคตชานเชิงพาณิชย์เริ่มหมดสภาพเมื่อปล่อยให้สารละลายฟอร์มัลดีไฮด์ไหลผ่านไปที่ปริมาตร 1.60 ลิตร ด้วยอัตราเร็ว 80 มิลลิลิตรต่อนาที และหมดสภาพการดูดซับฟอร์มัลดีไฮด์เมื่อปริมาตรสารละลายฟอร์มัลดีไฮด์ไหลผ่านเท่ากับ 3.20 ลิตร ดังภาพที่ 47



ภาพที่ 47 ความสัมพันธ์ระหว่างร้อยละความเข้มข้นฟอร์มอลดีไฮด์ในน้ำทิ้งจากบริษัท ทีโอซี ไกลคอล จำกัด ที่จุดเก็บที่ 2 ในท่อ (F1801A) กับปริมาณน้ำทิ้งหลังการดูดซับด้วยไคโตซานเชิงพาณิชย์แบบ คลอดันน์ต่อเนื่อง

10. ศึกษาการเปลี่ยนแปลงค่าดัชนีชี้วัดคุณภาพน้ำโดยใช้ไคโตซานจากเปลือกถุงและไคโตซานเชิงพาณิชย์

พารามิเตอร์ที่ทำการศึกษามีดังนี้ พีเอช ของแข็งทั้งหมดที่ละลายน้ำ ของแข็งแขวนลอย ซีโอดี ไขมันและน้ำมัน

1) ไคโตซานจากเปลือกถุง

จากการทดลองโดยใช้น้ำทิ้งจากจุดที่ 1 (G970) และ จุด 2 (F1801A) ให้ไหลผ่านชุดเครื่องกรอง ประดิษฐ์ที่ภายในระบบทริกเจบราจุ ไคโตซานจากเปลือกถุงปริมาณ 60 กรัม แปรผันอัตราการไหลที่ 80 มลลิลิตรต่อนาที เก็บตัวอย่างน้ำทิ้งที่ผ่านการดูดซับทุก 5 นาที ซึ่งวัดพารามิเตอร์ที่ทำการศึกษาได้ดังตารางที่ 18

ตารางที่ 18 คุณภาพน้ำทิ้งจากบริษัท ทีโอซี ไกลคอล จำกัด หลังการดูดซับด้วยไกโตกานจากเปลือกถุง โดยทำการทดลองแบบคอลัมน์ต่อเนื่องที่อัตราการไหล 80 มิลลิลิตรต่อนาที

พารามิเตอร์	จุดเก็บน้ำทิ้ง					
	จุดเก็บที่ 1 ในท่อ (G970)			จุดเก็บที่ 2 ในบ่อ (F1801A)		
	ก่อน ดูดซับ	หลัง ดูดซับ	ร้อยละ การดูดซับ	ก่อน ดูดซับ	หลัง ดูดซับ	ร้อยละ การดูดซับ
pH	5.80	7.57	-	8.93	6.83	-
TDS (mg/l)	532	279	47.55	407	254	37.59
SS (mg/l)	55	14	74.54	49	12	75.51
COD (mg/l)	960	320	66.66	960	192	80.00
Oil&Grease	1.98	0.0069	99.65	1.64	0.0015	99.90

จากการวิเคราะห์คุณภาพน้ำทิ้งจากบริษัท ทีโอซี ไกลคอล จำกัด หลังการดูดซับด้วยไกโตกานจากเปลือกถุง โดยทำการทดลองแบบคอลัมน์ต่อเนื่องที่อัตราการไหล 80 มิลลิลิตรต่อนาที พบว่า จุดเก็บที่ 1 ในท่อ (G970) และจุดเก็บที่ 2 ในบ่อ (F1801A) น้ำทิ้งมีสภาพความเป็นกรดด่าง และเพิ่มขึ้นตามลำดับ และค่าของแข็งแขวนลอย (SS), ของแข็งทั้งหมดที่ละลายน้ำ (TDS), ซีโอดี ไบมันและน้ำมัน มีปริมาณลดลง

2) ไกโตกานเชิงพาณิชย์

จากการทดลองโดยใช้น้ำทิ้งจากจุดที่ 1 (G970) และ จุด 2 (F1801A) ให้ไหลผ่านชุดเครื่องกรองประดิษฐ์ที่ภายในระบบทอกการกริดเจ็บรaru ไกโตกานจากเปลือกถุงปริมาณ 60 กรัม แปรผันอัตราการไหลที่ 80 มิลลิลิตรต่อนาที เก็บตัวอย่างน้ำทิ้งที่ผ่านการดูดซับทุก 5 นาที ซึ่งวัดพารามิเตอร์ที่ทำการศึกษาได้ดังตารางที่ 19

ตารางที่ 19 คุณภาพน้ำทิ้งจากบริษัท ทีโอซี ไกลคอล จำกัด หลังการคุ้ดซับด้วยไกโตกานเชิงพาณิชย์ โดยทำการทดลองแบบคอลัมน์ต่อเนื่องที่อัตราการไหล 80 มิลลิตรต่อนาที

พารามิเตอร์	จุดเก็บน้ำทิ้ง					
	จุดเก็บที่ 1 ในท่อ (G970)			จุดเก็บที่ 2 ในบ่อ (F1801A)		
	ก่อน	หลัง	ร้อยละ	ก่อน	หลัง	ร้อยละ
	คุณภาพ	คุณภาพ	การคุ้ดซับ	คุณภาพ	คุณภาพ	การคุ้ดซับ
pH	5.80	7.42	-	8.93	6.93	-
TDS (mg/l)	532	286	46.24	407	274	32.67
SS (mg/l)	55	13	76.36	49	11	77.55
COD (mg/l)	960	320	66.66	960	224	76.66
Oil&Grease	1.98	0.0024	99.87	1.64	0.0030	99.81

จากตารางที่ 19 ผลการวิเคราะห์คุณภาพน้ำทิ้งจากบริษัท ทีโอซี ไกลคอล จำกัด หลังการคุ้ดซับด้วยไกโตกานเชิงพาณิชย์ โดยทำการทดลองแบบคอลัมน์ต่อเนื่องที่อัตราการไหล 80 มิลลิตรต่อนาที พบว่า จุดเก็บที่ 1 ในท่อ (G970) และจุดเก็บที่ 2 ในบ่อ (F1801A) น้ำทิ้งมีสภาพความเป็นกรดด่าง และเพิ่มขึ้นตามลำดับ และค่าของแข็งแปรวนถอย (SS), ของแข็งทั้งหมดที่ละลายน้ำ (TDS), ซีไอดี ไขมันและน้ำมัน มีปริมาณลดลง

สรุปและข้อเสนอแนะ

สรุป

จากการศึกษาสภาวะที่เหมาะสมในการดูดซับฟอร์มัลดีไฮด์ในสารละลายน้ำตราชานฟอร์มัลดีไฮด์ ด้วยไก่โตชานจากเปลือกถุงและไก่โตชานเชิงพาณิชย์ โดยวิธีแบบแบบต์ช์ และแบบวิธีการ ให้ผลต่อเนื่อง ด้วยชุดเครื่องกรองประดิษฐ์ สามารถสรุปผลการทดลองได้ดังนี้

จากการศึกษาการดูดซับฟอร์มัลดีไฮด์ด้วยไก่โตชานจากเปลือกถุงปริมาณ 5 กรัม ด้วยวิธีแบบแบบต์ช์ พบว่า ไก่โตชานจากเปลือกถุงสามารถดูดซับฟอร์มัลดีไฮด์ในสารละลายน้ำตราชานฟอร์มัลดีไฮด์เข้มข้น 10 มิลลิกรัมต่อลิตร ได้ร้อยละ 48.34 โดยสภาวะที่เหมาะสมคือ พีอีช 3-9 ความเร็วรอบการหมุน 50 รอบต่อนาที ระยะเวลาเบี่ยงฯ 10 นาที ระยะเวลาเข้าสู่สภาวะสมดุล 10 นาที สำหรับไก่โตชานเชิงพาณิชย์ปริมาณ 3 กรัม สามารถดูดซับฟอร์มัลดีไฮด์ในสารละลายน้ำตราชานฟอร์มัลดีไฮด์เข้มข้น 20 มิลลิกรัมต่อลิตร ได้ร้อยละ 53.10 ด้วยวิธีแบบแบบต์ช์ โดยสภาวะที่เหมาะสมคือ พีอีช 3-8 ความเร็วรอบการหมุน 150 รอบต่อนาที ระยะเวลาเบี่ยงฯ 60 นาที ระยะเวลาเข้าสู่สภาวะสมดุล 30 นาที จากไอโซเทอร์มการดูดซับของไก่โตชานทั้งสองชนิด พบว่า ไก่โตชานจากเปลือกถุง และไก่โตชานเชิงพาณิชย์มีกลไกการดูดซับสอดคล้องกับไอโซเทอร์มของแหล่งเมียร์ เมื่อทำการทดลองแบบการ ให้ผลต่อเนื่องที่อัตราการ ให้ผล 80, 120 และ 160 มิลลิลิตรต่อนาที พบว่า ที่อัตราการ ให้ผล 80 มิลลิลิตรต่อนาที ไก่โตชานทั้งสองชนิดมีประสิทธิภาพการดูดซับสูงกว่าที่อัตราการ ให้ผล 120 และ 160 มิลลิลิตรต่อนาทีตามลำดับ โดยที่อัตราการ ให้ผล 80 มิลลิลิตรต่อนาที ไก่โตชานจากเปลือกถุงและไก่โตชานเชิงพาณิชย์เริ่มหมดสภาพเมื่อผ่านสารละลายน้ำตราชานฟอร์มัลดีไฮด์ เท่ากับ 2.40 และ 3.20 ลิตรตามลำดับ และหมดสภาพการดูดซับที่ปริมาตรเท่ากับ 8.80 และ 9.60 ลิตรตามลำดับ การฟื้นฟูสภาพไก่โตชานจากเปลือกถุงและไก่โตชานเชิงพาณิชย์หลังผ่านการใช้งานแล้ว พบว่า ไก่โตชานทั้งสองชนิดมีประสิทธิภาพการดูดซับฟอร์มัลดีไฮด์ลดลงตามจำนวนครั้งของการฟื้นฟูสภาพ และอายุการใช้งานของไก่โตชานในการดูดซับฟอร์มัลดีไฮด์จะมีอายุการใช้งานลดลง เมื่อจำนวนครั้งการใช้งานมากขึ้น โดยการใช้งานไก่โตชานจากเปลือกถุงและไก่โตชานเชิงพาณิชย์ในการดูดซับฟอร์มัลดีไฮด์ 8 ครั้ง และ 11 ครั้ง ตามลำดับ จะมีประสิทธิภาพการดูดซับฟอร์มัลดีไฮด์ลดลงครึ่งหนึ่งจากประสิทธิภาพการดูดซับฟอร์มัลดีไฮด์ครั้งแรก คือ สามารถดูดซับฟอร์มัลดีไฮด์ได้ร้อยละ 24.77 และ 26.24 ตามลำดับ ส่วนการทดลองด้วยวิธีการ ให้ผลแบบต่อเนื่องในน้ำทึบของบริษัท ทีไอซี ไกลคอล จำกัด พบว่า ไก่โตชานจากเปลือกถุงสามารถดูดซับฟอร์มัลดีไฮด์ในน้ำทึบที่จุกเก็บน้ำที่ 1 (G970) และจุกเก็บน้ำที่ 2 (F1801A) ได้โดยน้ำทึบหงส์สองจุกเริ่มหมดสภาพที่ปริมาตรน้ำทึบเท่ากับ 1.60 และ 1.20 ลิตรตามลำดับ และหมดสภาพที่ปริมาตร 9.60 และ 5.60 ลิตรตามลำดับ สำหรับไก่โตชานเชิงพาณิชย์สามารถดูดซับฟอร์มัลดีไฮด์ในน้ำทึบที่จุกเก็บน้ำที่ 1 (G970) และจุกเก็บน้ำที่ 2 (F1801A) ได้โดยเริ่มหมดสภาพที่ปริมาตรน้ำทึบเท่ากับ 2.00 และ 1.60 ลิตรตามลำดับ และหมดสภาพที่ปริมาตร 16.80 และ 4.00 ลิตรตามลำดับ

ค้านคุณภาพน้ำทิ้งจากบริษัท ทีโอดี ไกลคอล จำกัด หลังการดูดซับด้วยไก่โต查นจากเปลือกหุ้ง และไก่โต查นเชิงพาณิชย์ พบว่า นำ้ำทิ้งมีสภาพความเป็นกรดลดลง และเพิ่มน้ำตาลตามลำดับ และค่าของแข็ง แหนล oxy (SS), ของแข็งทั้งหมดที่ละลายน้ำ (TDS), ซีโอดี ไขมันและน้ำมัน มีปริมาณลดลง

ข้อเสนอแนะ

จากการทดลองในครั้งนี้ ทำให้ทราบข้อมูลบางอย่างเพื่อนำไปปรับปรุงงานทดลองครั้งต่อไป จึงเสนอแนะ ไว้ที่นี่เพื่อเป็นประโยชน์สำหรับผู้สนใจ ดังนี้

1. ควรมีการศึกษาวัสดุดูดซับข่าวพชนิดอื่น เช่น เปลือกหอย เปลือกหุ้ง กระดองหมึก เพื่อเปรียบเทียบ ประสิทธิภาพในการดูดซับฟอร์มัลเดอร์
2. ควรมีการศึกษารักษณะทางกายภาพ และทางเคมีของไก่โต查นทั้งสองชนิด ทึ้งก่อนและหลัง การใช้งาน
3. ควรมีการศึกษาประสิทธิภาพของไก่โต查นทั้งสองชนิด ในการบำบัดพารามิเตอร์ที่วัดคุณภาพน้ำ ตัวอื่นๆ

เอกสารและสิ่งอ้างอิง

กรรมควบคุมมลพิษ. 2541. ฟอร์มลัดดีไซด์. พิมพ์ครั้งที่ 2. กองจัดการสารอันตรายและการของเสีย
กรรมควบคุมมลพิษ กระทรวงวิทยาศาสตร์ เทคโนโลยีและสิ่งแวดล้อม, กรุงเทพฯ.

นิพนธ์ ตั้งคณาธุรักษ์ และคณิตา ตั้งคณาธุรักษ์. 2550. หลักการการตรวจวิเคราะห์คุณภาพน้ำทางเคมี.
สำนักพิมพ์มหาวิทยาลัยเกษตรศาสตร์, กรุงเทพฯ.

พัฒันท์ วงศ์วิวัฒน์. 2545. การสกัดไกคิน-ไกโตกานจากเปลือกหอย. มหาวิทยาลัยเกษตรศาสตร์,
กรุงเทพฯ.

ศิรินภา ชลศรันนท์. 2544. การสกัดไกโตกานจากเปลือกหอย. ปัญหาพิเศษปริญญาตรี, มหาวิทยาลัย
เกษตรศาสตร์.

ศุภยาลักษณ์ สร้อยสุริยา. 2544. เสื่อירภาพของแผ่นฟิล์มไกคิน-ไกโตกานสำหรับใช้เป็นวัสดุทดแทน
ผิวนังชั่วคราว. วิทยานิพนธ์ปริญญาโท, มหาวิทยาลัยเชียงใหม่.

สุภาวดี น้อยน้ำใส และคณะ. 2550. การปรับปรุงประสิทธิภาพการคุ้งซับของกากระgon โรงบำบัดน้ำ
เพื่อคุ้งซับสีธรรมชาติในน้ำ. เอกสารประชุมวิชาการ ดำเนินงานสิ่งแวดล้อมและวัสดุ ครั้งที่ 1.
มหาวิทยาลัยเทคโนโลยีพระจอมเกล้าธนบุรี, กรุงเทพฯ.

สุวลี จันทร์กระจ่าง. 2542. สารไกคินและไกโตกานผลิตภัณฑ์จากธรรมชาติ และการประยุกต์ใช้
ประโยชน์. การสัมมนาวิชาการเรื่อง ความร่วมมือของภาครัฐและเอกชนในการพัฒนาผลิต
และการใช้สารไกคินแบบครบวงจร.

Ahmad, A.L., S. Sumathi and B.H. Hameed. 2005. Residual oil and suspended solid removal using
natural adsorbentschitosan, bentonite and activated carbon: A comparative study. **Water
Research.** 39 : 2483-2494.

Chen, C-Y, C-C Chen and Y-C Chung. 2007. Removal of phthalate esters by β -cyclodextrin-linked
chitosan bead. **Bioresourse Technology.** 98 : 2578-2583.

Clark, R.M. and B.W. Lykins. 1989. **Granular Activated Carbon: Design Operation and Cost.** Lewis Publ., Michigan.

Chen, C-M and T-Y Shieh,. **Complications of free radial forearm flap transfers for head and neck reconstruction.** Oral Surg Oral Med 99(6) : 671-6, 2005.

Fagnani E., C.B. Melios, L. Pezza and H.R. Pezza. 2003. Chromotropic acid_ formaldehyde reaction in strongly acidic media. The role of dissolved oxygen and replacement of concentrated sulphuric acid. **Talanta.** 60 : 171-176.

Maron, S.H. and C.F. Prutton 1961. **Principle of Physical Chemical.** 3rd ed. Macmillan, Co. New York.

Okuyama, K., K. Noguchi, M. Kanenari, T. Egawa, and K. Ogawa. 2000. Structural density of chitosan and its complexes. **Carbohydrate Polymers.** 41 : 237-247.

Qiang Yu, Shubo Deng and Gang Yu. 2007. Selective removal of perfluoroctane sulfonate from aqueous solution using chitosan-based molecularly imprinted polymer adsorbents. **Bioresource Technology.** 98 : 2578-2583.

Salman M., J. Anwar, W.U. Zaman, M.U. Shafique and S.M. Hussian. 2008. Synthesis and characterization of formaldehyde by catalytic oxidation of methanol. **Journal of Scientific Research.** 36 (2): 195-201.

Sunstorm, D.W. and H.B. Klei. 1979. **Wastewater treatment.** Department of chemical engineering the university of Connecticut. Washington, D.C. (Mimeographed).

World Health Organization. 2002. **Formaldehyde.** Concise International Chemical Assessment Document 40. Geneva, Switzerland.

Yanhua Xie, Shiyu Li, Fei Wang and Guangli Liu. 2009. Removal of perchlorate from aqueous solution using protonated cross-linked chitosan. **Chemical Engineering Journal.** 156 : 56-63.



สิงห์สีที่ ๔ มหาวิทยาลัยเกษตรศาสตร์

ตารางผนวกที่ 1 ความสัมพันธ์ระหว่างร้อยละการดูดซับสารละลายน้ำมาตรฐานฟอร์มัลดีไฮด์ของไก่โตชานจากเปลือกกุ้งและค่าพีอีอช

ค่าพีอีอช	ความเข้มข้นที่เหลือ (มิลลิกรัมต่อลิตร)			ค่าเฉลี่ย	S.D.	ร้อยละของ การดูดซับ
	ครั้งที่ 1	ครั้งที่ 2	ครั้งที่ 3			
3	6.37	6.37	6.37	6.37	0.00	48.34
4	6.37	6.37	6.37	6.37	0.00	48.34
5	6.37	6.37	6.37	6.37	0.00	48.34
6	6.37	6.37	6.37	6.37	0.00	48.34
7	6.37	6.37	6.37	6.37	0.00	48.34
8	6.37	6.37	6.37	6.37	0.00	48.34
9	6.37	6.37	6.37	6.37	0.00	48.34

ตารางผนวกที่ 2 ความสัมพันธ์ระหว่างร้อยละการดูดซับสารละลายน้ำมาตรฐานฟอร์มัลดีไฮด์ของไก่โตชานเชิงพาณิชย์และค่าพีอีอช

ค่าพีอีอช	ความเข้มข้นที่เหลือ (มิลลิกรัมต่อลิตร)			ค่าเฉลี่ย	S.D.	ร้อยละของ การดูดซับ
	ครั้งที่ 1	ครั้งที่ 2	ครั้งที่ 3			
3	5.520	6.371	5.520	5.804	2.06	54.059
4	5.520	6.371	5.520	5.804	2.06	54.059
5	5.520	6.371	5.520	5.804	2.06	54.059
6	5.520	6.371	5.520	5.804	2.06	54.059
7	5.520	6.371	5.520	5.804	2.06	54.059
8	5.520	6.371	5.520	5.804	2.06	54.059
9	6.087	6.939	6.087	6.371	1.88	49.554

ตารางผนวกที่ 3 ความสัมพันธ์ระหว่างร้อยละการดูดซับฟอร์มัลเดียมีดของไก่โต婵จากเปลือกถุงและความเร็วของกระบวนการเขย่า

ความเร็วของ (นาที)	ความเข้มข้นที่เหลือ			ค่าเฉลี่ย	S.D.	ร้อยละของ การดูดซับ			
	(มิลลิกรัม/ลิตร)								
	ครั้งที่ 1	ครั้งที่ 2	ครั้งที่ 3						
0	7.22	7.22	7.22	7.22	0.00	41.44			
50	6.37	6.37	6.37	6.37	0.00	48.34			
100	6.37	6.37	6.37	6.37	0.00	48.34			
150	6.37	6.37	6.37	6.37	0.00	48.34			
200	6.37	6.37	6.37	6.37	0.00	48.34			

ตารางผนวกที่ 4 ความสัมพันธ์ระหว่างร้อยละการดูดซับฟอร์มัลเดียมีดของไก่โต婵เชิงพาณิชย์และความเร็วของกระบวนการเขย่า

ความเร็วของ (นาที)	ความเข้มข้นที่เหลือ			ค่าเฉลี่ย	S.D.	ร้อยละของ การดูดซับ			
	(มิลลิกรัม/ลิตร)								
	ครั้งที่ 1	ครั้งที่ 2	ครั้งที่ 3						
0	8.72	9.18	8.99	8.972	0.23	32.30			
50	6.83	7.35	7.48	7.223	0.34	45.22			
100	6.37	6.37	6.37	6.371	0.00	51.68			
150	6.28	6.06	5.91	6.087	0.18	53.83			
200	6.37	6.37	6.37	6.371	0.00	51.68			

ตารางผนวกที่ 5 ความสัมพันธ์ระหว่างร้อยละของการดูดซับฟอร์มัลดีไฮด์ของไก่โตชา南จากเปลือกถุงและระยะเวลาเบย่า

ระยะเวลา เบย่า (นาที)	ความเข้มข้นที่เหลือ			ค่าเฉลี่ย	S.D.	ร้อยละของ การดูดซับ			
	(มิลลิกรัมต่อลิตร)								
	ครั้งที่ 1	ครั้งที่ 2	ครั้งที่ 3						
10	6.37	6.37	6.37	6.37	0.00	48.34			
30	6.37	6.37	6.37	6.37	0.00	48.34			
60	6.58	6.58	6.80	6.65	0.12	46.04			
90	7.22	7.22	7.22	7.22	0.00	41.44			
120	7.22	7.22	7.22	7.22	0.00	41.44			

ตารางผนวกที่ 6 ความสัมพันธ์ระหว่างร้อยละของการดูดซับฟอร์มัลดีไฮด์ของไก่โตชา南เชิงพาณิชย์และระยะเวลาเบย่า

ระยะเวลา เบย่า (นาที)	ความเข้มข้นที่เหลือ			ค่าเฉลี่ย	S.D.	ร้อยละของ การดูดซับ			
	(มิลลิกรัมต่อลิตร)								
	ครั้งที่ 1	ครั้งที่ 2	ครั้งที่ 3						
10	6.95	6.95	6.95	6.95	0.00	50.43			
30	6.52	6.01	6.47	6.33	0.28	54.85			
60	5.76	6.15	6.15	6.02	0.22	57.06			
90	5.76	6.15	6.15	6.02	0.22	57.06			
120	5.76	6.15	6.15	6.02	0.22	57.06			

ตารางผนวกที่ 7 ความสัมพันธ์ระหว่างร้อยละการดูดซับฟอร์มัลดีไฮด์ของไก่โตชานจากเปลือกถุงและระยะเวลาเข้าสู่ภาวะสมดุล

ระยะเวลาเข้าสู่ สภาวะสมดุล (นาที)	ความเข้มข้นที่เหลือ			ค่าเฉลี่ย	S.D.	ร้อยละของ การดูดซับ			
	(มิลลิกรัมต่อลิตร)								
	ครั้งที่ 1	ครั้งที่ 2	ครั้งที่ 3						
10	6.37	6.37	6.37	6.37	0.00	48.34			
30	6.54	6.54	7.17	6.75	0.36	45.27			
60	6.85	7.34	6.61	6.93	0.37	43.74			
90	7.04	7.04	7.04	7.04	0.00	42.97			
120	7.04	7.04	7.04	7.04	0.00	42.97			

ตารางผนวกที่ 8 ความสัมพันธ์ระหว่างร้อยละการดูดซับฟอร์มัลดีไฮด์ของไก่โตชานเชิงพาณิชย์และระยะเวลาเข้าสู่ภาวะสมดุล

ระยะเวลาเข้าสู่ สภาวะสมดุล (นาที)	ความเข้มข้นที่เหลือ			ค่าเฉลี่ย	S.D.	ร้อยละของ การดูดซับ			
	(มิลลิกรัมต่อลิตร)								
	ครั้งที่ 1	ครั้งที่ 2	ครั้งที่ 3						
10	6.19	6.53	6.38	6.37	0.16	48.34			
30	5.46	5.46	5.63	5.52	0.10	55.25			
60	5.75	6.04	6.04	5.945	0.16	51.80			
90	5.75	6.04	6.04	5.945	0.16	51.80			
120	5.75	6.04	6.04	5.945	0.16	51.80			

**ตารางผนวกที่ 9 ความสัมพันธ์ระหว่างร้อยละของการดูดซับฟอร์มัลดีไฮด์ของไก่โตชาณจากเปลือกถุงและ
ความเข้มข้นของฟอร์มัลดีไฮด์**

ความเข้มข้น (มิลลิกรัม/ลิตร)	ความเข้มข้นที่เหลือ			ค่าเฉลี่ย	S.D.	ร้อยละของ การดูดซับ			
	(มิลลิกรัมต่อลิตร)								
	ครั้งที่ 1	ครั้งที่ 2	ครั้งที่ 3						
10	6.37	6.37	6.37	6.37	0.00	48.34			
20	10.80	10.80	10.28	10.63	0.30	47.59			
30	16.62	16.40	16.74	16.59	0.16	40.02			
40	21.22	21.18	20.99	21.13	0.12	37.15			
50	25.71	25.25	25.91	25.96	0.33	34.42			

**ตารางผนวกที่ 10 ความสัมพันธ์ระหว่างร้อยละของการดูดซับฟอร์มัลดีไฮด์ของไก่โตชาณเชิงพาณิชย์และ
ความเข้มข้นของฟอร์มัลดีไฮด์**

ความเข้มข้น (มิลลิกรัม/ลิตร)	ความเข้มข้นที่เหลือ			ค่าเฉลี่ย	S.D.	ร้อยละของ การดูดซับ			
	(มิลลิกรัมต่อลิตร)								
	ครั้งที่ 1	ครั้งที่ 2	ครั้งที่ 3						
10	5.63	5.58	5.32	5.51	0.16	51.93			
20	8.95	8.86	8.95	8.92	0.05	55.37			
30	12.25	12.59	12.14	12.33	0.23	54.00			
40	16.66	16.32	16.79	16.59	0.24	49.38			
50	19.14	19.14	19.14	19.14	0.00	47.08			

**ตารางผนวกที่ 11 ความสัมพันธ์ระหว่างร้อยละการดูดซับชับฟอร์มัลดีไฮด์ของไก่โตชาณจากเปลือกถุง
และปริมาณไก่โตชาณ**

ปริมาณไก่โตชาณ (กรัม)	ความเข้มข้นที่เหลือ			ค่าเฉลี่ย	S.D.	ร้อยละของ การดูดซับ			
	(มิลลิกรัมต่อลิตร)								
	ครั้งที่ 1	ครั้งที่ 2	ครั้งที่ 3						
1	9.63	9.99	9.70	9.78	0.18	20.72			
2	9.15	8.80	8.82	8.92	0.19	27.62			
3	8.27	8.27	8.52	8.36	0.14	32.23			
4	7.22	7.22	7.22	7.22	0.00	41.44			
5	6.37	6.37	6.37	6.37	0.00	48.34			
6	6.33	5.42	5.65	5.80	0.47	52.95			
7	5.42	5.70	5.42	5.52	0.15	55.25			

**ตารางผนวกที่ 12 ความสัมพันธ์ระหว่างร้อยละการดูดซับชับฟอร์มัลดีไฮด์ของไก่โตชาณเชิงพาณิชย์
และปริมาณไก่โตชาณ**

ปริมาณไก่โตชาณ (กรัม)	ความเข้มข้นที่เหลือ			ค่าเฉลี่ย	S.D.	ร้อยละของ การดูดซับ			
	(มิลลิกรัมต่อลิตร)								
	ครั้งที่ 1	ครั้งที่ 2	ครั้งที่ 3						
1	8.457	8.726	8.785	8.656	0.17	29.81			
2	6.67	6.67	6.67	6.67	0.00	45.90			
3	5.924	5.482	5.715	5.707	0.22	53.72			
4	4.759	4.759	4.954	4.824	0.11	60.88			
5	3.957	4.284	4.349	4.200	0.21	65.95			

ตารางผนวกที่ 13 ไอโซเทอร์มการดูดซับของไคโตกานจากเปลือกถุง

ปริมาณไคโตกาน (กรัม)	Co	C	V (l)	q	1/q	1/C	log q	log C
1	10	8.062	0.1	0.19	5.161	0.124	-0.713	0.906
2	10	6.927	0.1	0.15	6.508	0.144	-0.813	0.841
3	10	6.075	0.1	0.13	7.643	0.165	-0.883	0.784
4	10	5.223	0.1	0.12	8.374	0.191	-0.923	0.718
5	10	4.750	0.1	0.11	9.524	0.211	-0.979	0.677
6	10	4.087	0.1	0.10	10.148	0.245	-1.006	0.611
7	10	3.804	0.1	0.09	11.297	0.263	-1.053	0.580

ตารางผนวกที่ 14 ไอโซเทอร์มการดูดซับของไคโตกานเชิงพาณิชย์

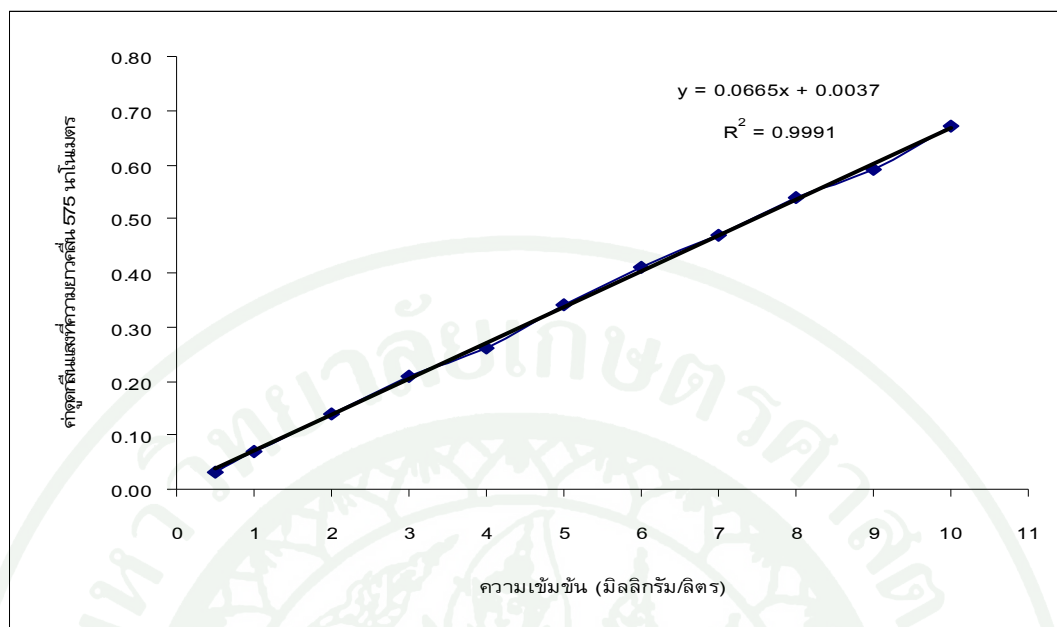
ปริมาณไคโตกาน (กรัม)	Co	C	V (l)	q	1/q	1/C	log q	log C
1	20	15.268	0.1	0.465	2.148	0.065	-0.332	1.183
2	20	12.420	0.1	0.375	2.666	0.080	-0.425	1.094
3	20	10.062	0.1	0.329	3.042	0.099	-0.483	1.002
4	20	8.501	0.1	0.286	3.502	0.117	-0.544	0.929
5	20	7.412	0.1	0.250	3.997	0.134	-0.601	0.869

**ตารางผนวกที่ 15 การดูดซับฟอร์มัลดีไฮด์ในน้ำทึบบริษัท ทีโอซี ไกลคอล จำกัด จังหวัดระยองด้วยไกโตโซน
จากเปลือกถุง**

จุดเก็บน้ำเสีย	ปริมาณฟอร์มัลดีไฮด์ (มิลลิกรัมต่อลิตร)						ร้อยละ การดูดซับ	
	ก่อนดูดซับ	หลังดูดซับ			เฉลี่ย	S.D.		
		ครั้งที่ 1	ครั้งที่ 2	ครั้งที่ 3				
จุดที่ 1 (G970)	13.00	1.36	1.28	1.26	1.30	0.05	90.02	
จุดที่ 2 (F1801A)	4.30	0.11	0.08	0.08	0.19	0.01	95.47	

**ตารางผนวกที่ 16 การดูดซับฟอร์มัลดีไฮด์ในน้ำทึบบริษัท ทีโอซี ไกลคอล จำกัด จังหวัดระยองด้วยไกโตโซน
เชิงพาณิชย์**

จุดเก็บน้ำเสีย	ปริมาณฟอร์มัลดีไฮด์ (มิลลิกรัมต่อลิตร)						ร้อยละ การดูดซับ	
	ก่อนดูดซับ	หลังดูดซับ			เฉลี่ย	S.D.		
		ครั้งที่ 1	ครั้งที่ 2	ครั้งที่ 3				
จุดที่ 1 (G970)	13.00	0.9	0.8	0.85	0.85	0.05	93.49	
จุดที่ 2 (F1801A)	4.30	0.09	0.09	0.09	0.09	0.00	97.80	



ภาพพนวกที่ 1 กราฟมาตรฐานของสารละลายน้ำมันดีไอค์ที่ระดับความเข้มข้น 0.5 – 10 มิลลิกรัมต่อลิตร

ตารางผนวกที่ 18 ความสัมพันธ์ระหว่างร้อยละความเข้มข้นฟอร์มัลติไออีด์ในน้ำทึ้งจากบริษัท ทีโอซี ไกลคอล จำกัด ณ จุดเก็บน้ำที่ 1 (G970) และจุดเก็บที่ 2 ในท่อ (F1801A) กำบprimatrน้ำทึ้งหลัง การถูกดูดซับด้วยไกโตชานจากเปลือกถุง และไกโตชานเชิงพาณิชย์แบบคลุมน์ต่อเนื่อง

เวลา (นาที)	ปริมาตรน้ำ (ลิตร)	ร้อยละความเข้มข้นที่เหลือ			
		ไกโตชานจากเปลือกถุง		ไกโตชานเชิงพาณิชย์	
		จุดที่ 1 (G970)	จุดที่ 2 (F1801A)	จุดที่ 1 (G970)	จุดที่ 2 (F1801A)
5	0.40	34.79	40.48	31.84	39.17
10	0.80	35.31	43.45	32.15	42.79
15	1.20	36.76	46.41	34.09	46.10
20	1.60	39.07	56.07	35.32	48.21
25	2.00	45.68	75.38	36.05	57.07
30	2.40	54.27	86.03	40.60	71.38
35	2.80	61.43	90.03	46.50	83.03
40	3.20	68.43	90.69	53.23	91.69
45	3.60	70.73	95.69	57.96	95.34
50	4.00	75.03	97.01	61.40	100.00
55	4.40	78.47	97.77	64.56	-
60	4.80	81.06	98.65	67.56	-
70	5.60	87.21	100.00	72.14	-
80	6.40	91.21	-	76.44	-
90	7.20	93.65	-	79.89	-
100	8.00	96.30	-	82.64	-
110	8.80	98.83	-	86.04	-
120	9.60	100.00	-	88.36	-
135	10.80	-	-	91.51	-
150	12.00	-	-	94.37	-
165	13.20	-	-	97.58	-
180	14.40	-	-	98.63	-
195	15.60	-	-	99.28	-
210	16.80	-	-	100.00	-

ประวัติการศึกษา และการทำงาน

ชื่อ – นามสกุล	นางสาวสิริพร เกยมโขตพัฒน์
วัน เดือน ปี ที่เกิด	วันที่ 6 พฤษภาคม 2528
สถานที่เกิด	โรงพยาบาลเจ้าพระยาอภัยภูเบศร จ.ปราจีนบุรี
ประวัติการศึกษา	วิทยาศาสตรบัณฑิต (เทคโนโลยีทางทะเล) มหาวิทยาลัยมหิดล วิทยาเขตสารสนเทศจันทบุรี
ตำแหน่งหน้าที่การงานปัจจุบัน	-
สถานที่ทำงานปัจจุบัน	-
ผลงานเด่นและ/หรือรางวัลทางวิชาการ	-
ทุนการศึกษาที่ได้รับ	บริษัท ทีโอซี ไกลคอล จำกัด ผ่านโครงการศึกษาวิจัย และพัฒนาสิ่งแวดล้อมแหล่งผลิตเพื่อความยั่งยืน พระราชดำริ